

ΠΟΛΥΤΕΧΝΕΙΟ ΚΡΗΤΗΣ
ΣΧΟΛΗ ΜΗΧΑΝΙΚΩΝ ΟΡΥΚΤΩΝ ΠΟΡΩΝ
ΜΕΤΑΠΤΥΧΙΑΚΟ ΠΡΟΓΡΑΜΜΑ
”ΓΕΩΤΕΧΝΟΛΟΓΙΑ ΚΑΙ ΠΕΡΙΒΑΛΛΟΝ”



ΜΕΤΑΠΤΥΧΙΑΚΗ ΕΡΓΑΣΙΑ
**ΠΡΟΣΟΜΟΙΩΣΗ ΣΥΣΤΗΜΑΤΟΣ
ΓΕΩΕΝΑΛΛΑΚΤΩΝ ΣΕ ΠΡΑΓΜΑΤΙΚΕΣ
ΣΥΝΘΗΚΕΣ ΓΙΑ ΘΕΡΜΑΝΣΗ-ΨΥΞΗ ΚΤΗΡΙΟΥ
ΓΡΑΦΕΙΩΝ**

ΑΝΔΡΕΑΣ Ν. ΚΟΥΤΕΛΙΔΑΚΗΣ

ΑΡΧΙΚΗ ΕΞΕΤΑΣΤΙΚΗ ΕΠΙΤΡΟΠΗ ΑΠΟ ΑΡΧΗ ΕΩΣ 26/03/2021

Επιβλέπων: Καθηγητής **Εμμανουήλ Μανούτσογλου**

Αν. Καθηγητής **Εμμανουήλ Μαθιουδάκης**

Δρ. **Κωνσταντίνος Καρύτσας**

ΤΕΛΙΚΗ ΕΞΕΤΑΣΤΙΚΗ ΕΠΙΤΡΟΠΗ

Επιβλέπων: Καθηγητής **Εμμανουήλ Μανούτσογλου**

Δρ. **Κωνσταντίνος Καρύτσας**

Δρ. **Νικόλαος Σπανουδάκης**

Αφιερώνω τη μεταπτυχιακή μου εργασία στη μνήμη του αγαπημένου μου Καθηγητή και φίλου Εμμανουήλ Μαθιουδάκη

Ο Καθηγητής Μαθιουδάκης, ο δικός μου Μανώλης ήταν ο άνθρωπος, ο οποίος πίστεψε στις δυνατότητές μου και με στήριξε με οποιοδήποτε τρόπο τόσο σε επίπεδο προσωπικό όσο και στη μόρφωσή μου και τη γενικότερη εξέλιξή μου ως άνθρωπο. Ήταν, είναι και είναι μέσα στην καρδιά μου για πάντα με τα υποστηρικτικά του λόγια «ΔΕΝ ΥΠΑΡΧΕΙ ΚΑΤΙ ΠΟΥ ΝΑ ΜΗ ΛΥΝΕΤΑΙ», «ΟΛΑ ΜΠΟΡΟΥΜΕ ΝΑ ΤΑ ΦΤΙΑΞΟΥΜΕ», «ΠΑΝΤΑ ΝΑ ΧΑΜΟΓΕΛΑΣ, ΝΑ ΕΙΣΑΙ Η ΧΑΡΑ ΤΗΣ ΖΩΗΣ», «ΝΑ ΑΓΑΠΑΣ ΤΟΥΣ ΓΟΝΕΙΣ ΣΟΥ, ΝΑ ΜΗΝ ΤΟΥΣ ΣΤΕΝΑΧΩΡΕΙΣ», «ΝΑ ΠΙΣΤΕΥΕΙΣ ΣΤΙΣ ΔΥΝΑΜΕΙΣ ΣΟΥ», «ΝΑ ΠΡΟΣΦΕΡΕΙΣ ΟΠΟΥ ΜΠΟΡΕΙΣ», «ΝΑ ΚΑΝΕΙΣ ΣΤΗ ΖΩΗ ΣΟΥ ΑΥΤΟ ΠΟΥ ΑΓΑΠΑΣ». Εκείνο που με ανακουφίζει είναι το γεγονός ότι όσο ζούσε είχα τη δυνατότητα να του εκφράσω την απέραντη ευγνωμοσύνη που ένιωθα για εκείνον. Χαρακτηριστικά, του είχα πει: «ΑΓΑΛΜΑ ΝΑ ΣΟΥ ΧΤΙΣΩ ΣΤΗΝ ΠΥΛΗ ΤΟΥ ΠΟΛΥΤΕΧΝΕΙΟΥ, ΝΟΙΩΘΩ ΟΤΙ ΔΕΝ ΦΤΑΝΕΙ ΓΙΑ ΟΛΑ ΟΣΑ ΜΟΥ ΕΧΕΙΣ ΠΡΟΣΦΕΡΕΙ ΣΤΗ ΖΩΗ ΜΟΥ!».

**Αν είχε δύναμη η ψυχή να βγάλει την κραυγή της,
Θα σχίζανε Μανώλη μου η τα βουνά της Κρήτης !**

**Δεν έχω λόγια να εκφραστώ, να πω πόσο λυπάμαι,
Καλόκαρδο και γελαστό, έτσι θα σε θυμάμαι !**

Ευχαριστίες

Θα ήθελα να ευχαριστήσω τον καθηγητή Εμμανουήλ Μαθιουδάκη ο οποίος δεν βρίσκεται στην ζωή, για την αμέριστη βοήθεια που μου παρείχε τόσο σε επιστημονικό όσο και ψυχολογικό επίπεδο καθ' όλη την διάρκεια εκπόνησης της εργασίας.

Επίσης θα ήθελα να ευχαριστήσω τον Επιβλέποντα της μεταπτυχιακής διπλωματικής εργασίας, Καθηγητή Εμμανουήλ Μανούτσογλου για την καθοδήγηση που μου παρείχε στην επιστημονική περιοχή της Γεωθερμίας σε όλη τη διάρκεια εκπόνησης της εργασίας.

Ιδιαίτερα θέλω να ευχαριστήσω τα μέλη της Εξεταστικής Επιτροπής Δρ. Κωνσταντίνο Καρύτσα και Δρ. Νικόλαο Σπανουδάκη για την επιστημονική καθοδήγηση και τη πολύτιμη βοήθεια που μου παρείχαν κατά τη διάρκεια της ερευνητικής διαδικασίας καθώς και τον κύριο Δημήτριο Μενδρινό για την βοήθεια που μου παρείχε για την ολοκλήρωση της εργασίας.

Τέλος, ευχαριστώ τα μέλη της οικογένειας μου, χωρίς την υποστήριξη των οποίων δεν θα μπορούσα να ολοκληρώσω το συγκεκριμένο Μεταπτυχιακό Πρόγραμμα Σπουδών.

Περίληψη

Ένας σημαντικός παράγοντας για τον άρτιο σχεδιασμό και την επιτυχή εγκατάσταση ενός συστήματος αβαθούς γεωθερμίας αποτελεί η αξιόπιστη προσομοίωση του συστήματος μαζί με τη διεξαγωγή της δοκιμής θερμικής απόκρισης εδάφους. Αντικείμενο της παρούσας μεταπυχιακής εργασίας αποτελεί η μοντελοποίηση, παραμετροποίηση και υλοποίηση προσομοιώσεων συστημάτων αβαθούς γεωθερμίας χρησιμοποιώντας το λογισμικό ανοικτού κώδικα OpenGeoSys. Το λογισμικό αυτό επιτρέπει την προσομοίωση της λειτουργίας συστημάτων αβαθούς γεωθερμίας από τους μηχανικούς εφαρμόζοντας σύγχρονες αριθμητικές μεθόδους επίλυσης προβλημάτων αρχικών και συνοριακών τιμών, όπως αυτές έχουν υλοποιηθεί σε σύγχρονες μαθηματικές βιβλιοθήκες. Επίσης η διεξαγωγή των επιστημονικών υπολογισμών των αριθμητικών μεθόδων μπορεί να υλοποιηθεί στα πλέον σύγχρονα υπολογιστικά περιβάλλοντα.

Η μεταπυχιακή εργασία αποτελείται από τα παρακάτω τέσσερα κεφάλαια:

Στο πρώτο κεφάλαιο, παρουσιάζονται οι βασικές έννοιες της γεωθερμίας καθώς και των συστημάτων αβαθούς γεωθερμίας. Επίσης συνοπτικά περιγράφεται η λειτουργία των αντλιών θερμότητας και ιδιαίτερα των γεωθερμικών αντλιών.

Το δεύτερο κεφάλαιο αναφέρεται στο λογισμικό OpenGeoSys για την προσομοίωση της λειτουργίας συστημάτων αβαθούς γεωθερμίας. Περιγράφεται η διαδικασία εισαγωγής του προβλήματος διάδοσης θερμότητας κατά τη λειτουργία του γήινου εναλλάκτη θερμότητας καθώς και του συνολικού δικτύου συστήματος αβαθούς γεωθερμίας.

Στο τρίτο κεφάλαιο παρουσιάζεται η μοντελοποίηση και η διαδικασία προσομοίωσης της δοκιμής θερμικής απόκρισης ενός συστήματος αβαθούς γεωθερμίας για την προσέγγιση

των θερμικών παραμέτρων του εδάφους με την χρήση του λογισμικού OpenGeoSys. Στη συνέχεια περιγράφεται το σύστημα αβαθούς γεωθερμίας του ΚΑΠΕ, του οποίου προσομοιώθηκε η δοκιμή θερμικής απόκρισης των γεωεναλλακτών του καθώς και η συνολική διαδικασία ψύξης θέρμανσης του συστήματος.

Τέλος, στο τέταρτο κεφάλαιο γίνεται αναφορά στα συμπεράσματα που προέκυψαν από τη χρήση του λογισμικού OpenGeoSys για την προσομοίωση της δοκιμής θερμικής απόκρισης και της λειτουργίας συστημάτων αβαθούς γεωθερμίας.

Περιεχόμενα

Ευχαριστίες	iii
Περίληψη	v
Κατάλογος Σχημάτων	ix
1 Γεωθερμία	1
1.1 Κατηγορίες γεωθερμικών συστημάτων	2
1.2 Συστήματα αβαθούς γεωθερμίας	2
1.3 Χαρακτηριστικά συστημάτων αβαθούς γεωθερμίας	3
1.4 Αντλίες θερμότητας	13
2 Λογισμικό OpenGeoSys	19
2.1 Εισαγωγή στη χρήση του λογισμικού OpenGeoSys	19
2.2 Παραμετροποίηση για την προσομοίωση της λειτουργίας γεωεναλλακτών. .	20
2.2.1 Προσομοίωση διάδοσης θερμότητας με την χρήση γήινων εναλλακτών . .	20
2.2.2 Προσομοίωση διάδοσης θερμότητας με την χρήση συστοιχίας γήινων εναλ-	
λακτών	
	27
3 Προσομοίωση δοκιμής θερμικής απόκρισης γήινων εναλλακτών θερμότη-	
τας (TRT)	33
3.1 Προσομοίωση δοκιμής θερμικής απόκρισης και υπολογισμός θερμικών	
παραμέτρων του εδάφους	33

3.1.1 Δοκιμή θερμικής απόκρισης (TRT) γεωεναλλάκτη τύπου 1U	38
3.1.2 Δοκιμή θερμικής απόκρισης (TRT) γεωεναλλάκτη τύπου 2U	42
3.1.3 Δοκιμή θερμικής απόκρισης (TRT) γεωεναλλάκτη ομοαξονικού τύπου . .	46
3.1.4 Δοκιμή θερμικής απόκρισης (TRT) γεωεναλλάκτη ελικοειδούς τύπου . .	50
3.2 Προσομοίωση συστήματος γεωθερμίας σε πραγματικές συνθήκες	54
3.2.1 Σύστημα γεωθερμίας σε λειτουργία ψύξης - Θέρμανσης	60
4 Συμπεράσματα	65
Βιβλιογραφία	67
Α' Προσομοίωση σε λειτουργία θέρμανσης	71
Β' Προσομοίωση σε λειτουργία ψύξης	83
Γ' Προσομοίωση δοκιμής θερμικής απόκρισης γεωεναλλάκτη τύπου 1U	95
Δ' Προσομοίωση δοκιμής θερμικής απόκρισης γεωεναλλάκτη τύπου 2U	113
Ε' Προσομοίωση δοκιμής θερμικής απόκρισης γεωεναλλάκτη ομοαξονικού τύπου	129
· Προσομοίωση δοκιμής θερμικής απόκρισης γεωεναλλάκτη ελικοειδούς τύπου	143

Κατάλογος Σχημάτων

1.1 Συστήματα ανοιχτού βρόχου [24].	5
1.2 Συστήματα κλειστού βρόχου [24].	6
1.3 Γεωεναλλάκτης τύπου 1U [4].	8
1.4 Γεωεναλλάκτης τύπου 2U [4].	9
1.5 Γεωεναλλάκτης ομοαξονικού τύπου [4].	9
1.6 Γεωεναλλάκτης τύπου ελικοειδούς [4].	10
1.7 Βασικά εξαρτήματα αντλίας θερμότητας.	14
1.8 Γεωθερμική αντλία θερμότητας [24].	17
2.1 Παράμετροι εισόδου OpenGeoSys.	22
2.2 Διαστάσεις γεώτρησης στο OpenGeoSys	23
2.3 Διατομές των ειδών των γεωεναλλακτών [1].	24
2.4 Ιδιότητες σωλήνων OpenGeoSys	24
2.5 Ορισμός μοντέλου στο OpenGeoSys με χρήση TemperatureCurveConstantFlow .	26
2.6 Ορισμός θερμικών ιδιοτήτων του ενέματος στο OpenGeoSys	26
2.7 Ορισμός θερμικών ιδιοτήτων ψυκτικού στο OpenGeoSys	27
2.8 Λειτουργία PipeNetwork στη διαδικασία HeatTransportBHE	28
2.9 Μοντέλο δικτύου αγωγών στο TESPy	29
2.10 Ορισμός μεταβλητών του δικτύου.	29
2.11 Ορισμός στοιχείων δικτύου.	29
2.12 Παραμετροποίηση στοιχείων.	30

2.13 Διασυνδέσεις αγωγών.	31
2.14 Χαρακτηριστικά ρευστού και θερμοκρασία εκροής	32
3.1 Διάταξη εξοπλισμού δοκιμής θερμικής απόκρισης (TRT) [25].	34
3.2 Γεωεναλλάκτης τύπου 1U σχέδιο ΚΑΠΕ [4].	38
3.3 Αρχείο εισόδου για την δημιουργία των πεπερασμένων στοιχείων στο πρόγραμμα BHE SETUP TOOL.	39
3.4 Γεωμετρία γεωεναλλάκτη τύπου 1U (DataExplorer).	39
3.5 Διακρητοποίηση γεωεναλλάκτη τύπου 1U (DataExplorer).	40
3.6 Διάγραμμα θερμοκρασίας εισόδου-εξόδου σε συνάρτηση με τον χρόνο γεωεναλ- λάκτη τύπου 1U	40
3.7 Διάγραμμα μέσης θερμοκρασίας σε συνάρτηση με τον χρόνο σε λογαριθμική κλίμακα γεωεναλλάκτη τύπου 1U	41
3.8 Γεωεναλλάκτης τύπου 2U σχέδιο ΚΑΠΕ [4].	42
3.9 Αρχείο εισόδου για την δημιουργία των πεπερασμένων στοιχείων στο πρόγραμμα BHE SETUP TOOL.	43
3.10 Γεωμετρία γεωεναλλάκτη τύπου 2U (DataExplorer).	43
3.11 Διακρητοποίηση γεωεναλλάκτη τύπου 2U (DataExplorer).	44
3.12 Διάγραμμα θερμοκρασίας εισόδου-εξόδου σε συνάρτηση με τον χρόνο γεωεναλ- λάκτη τύπου 2U.	44
3.13 Διάγραμμα μέσης θερμοκρασίας σε συνάρτηση με τον χρόνο σε λογαριθμική κλίμακα γεωεναλλάκτη τύπου 2U.	45
3.14 Γεωεναλλάκτης ομοαξονικού τύπου σχέδιο ΚΑΠΕ [4].	46
3.15 Αρχείο εισόδου για την δημιουργία των πεπερασμένων στοιχείων στο πρόγραμμα BHE SETUP TOOL.	47
3.16 Γεωμετρία γεωεναλλάκτη ομοαξονικού τύπου (DataExplorer).	47
3.17 Διακρητοποίηση γεωεναλλάκτη ομοαξονικού τύπου (DataExplorer).	48

3.18 Διάγραμμα θερμοκρασίας εισόδου-εξόδου σε συνάρτηση με τον χρόνο γεωεναλλάκτη ομοαξονικού τύπου.	48
3.19 Διάγραμμα μέσης θερμοκρασίας σε συνάρτηση με τον χρόνο σε λογαριθμική κλίμακα γεωεναλλάκτη ομοαξονικού τύπου	49
3.20 Γεωεναλλάκτης ελικοειδούς τύπου στο ΚΑΠΕ [4].	50
3.21 Αρχείο εισόδου για την δημιουργία των πεπερασμένων στοιχείων στο πρόγραμμα BHE SETUP TOOL.	51
3.22 Γεωμετρία γεωεναλλάκτη τύπου ελικοειδούς (DataExplorer).	51
3.23 Διακρητοποίηση γεωεναλλάκτη ελικοειδούς τύπου (DataExplorer).	52
3.24 Διάγραμμα θερμοκρασίας εισόδου-εξόδου σε συνάρτηση με τον χρόνο γεωεναλλάκτη ελικοειδούς τύπου.	52
3.25 Διάγραμμα μέσης θερμοκρασίας σε συνάρτηση με τον χρόνο σε λογαριθμική κλίμακα γεωεναλλάκτη ελικοειδούς τύπου	53
3.26 Συστήμα γεωεναλλακτών κάτοψη - σχέδιο ΚΑΠΕ [4].	55
3.27 Συστήμα γεωεναλλακτών σχέδιο ΚΑΠΕ [4].	56
3.28 Αρχείο εισόδου για την δημιουργία των πεπερασμένων στοιχείων στο πρόγραμμα BHE SETUP TOOL.	57
3.29 Γεωμετρία συστήματος γεωεναλλακτών (DataExplorer).	57
3.30 Διακρητοποίηση συστήματος γεωεναλλακτών (DataExplorer).	58
3.31 Χαρακτηριστική καμπύλη φυγοκεντρικής αντλίας συστήματος ΚΑΠΕ [13].	60
3.32 Σύστημα γεωθερμικής αντλίας θερμότητας σύμφωνα με το OpenGeoSys [13]	61
3.33 Σύστημα σε λειτουργία ψύξης πραγματικές τιμές θερμοκρασιών.	62
3.34 Σύστημα σε λειτουργία ψύξης προσομοιωμένες τιμές θερμοκρασιών (OpenGeoSys) .	63
3.35 Σύστημα σε λειτουργία θέρμανσης πραγματικές τιμές θερμοκρασιών.	63
3.36 Σύστημα σε λειτουργία θέρμανσης προσομοιωμένες τιμές θερμοκρασιών (OpenGeoSys)	64

Κεφάλαιο 1

Γεωθερμία

Γεωθερμία ή γεωθερμική ενέργεια ορίζεται ως η θερμότητα η οποία προέρχεται από το υπέδαφος. Η ενέργεια αυτή περιλαμβάνεται σε φυσικούς ατμούς, σε επιφανειακά ή υπόγεια θερμά νερά και σε θερμά ξηρά πετρώματα.

Ανάλογα με το θερμοκρασιακό της εύρος η γεωθερμία διακρίνεται στις παρακάτω κατηγορίες [2] :

- Υψηλής ενθαλπίας (θερμοκρασία $T > 150^{\circ}C$), η οποία χρησιμοποιείται κυρίως για ηλεκτροπαραγωγή.
- Μέσης ενθαλπίας (θερμοκρασία $80^{\circ}C \leq T \leq 150^{\circ}C$), όπου συχνά γίνεται χρήση της σε εφαρμογές θέρμανσης ή ξήρανσης ξυλείας και αγροτικών προϊόντων. Επίσης είναι δυνατή η παραγωγή ηλεκτρικής ενέργειας με τη χρήση κλειστού κυκλώματος με φρέον, το οποίο διαθέτει χαμηλό σημείο ζέσεως.
- Χαμηλής ενθαλπίας (θερμοκρασία $30^{\circ}C \leq T \leq 80^{\circ}C$), όπου χρησιμοποιείται για εφαρμογές θέρμανσης (χώρων, θερμοκηπίων), ιχθυοκαλλιεργειών και για τη παραγωγή γλυκού νερού.

1.1 Κατηγορίες γεωθερμικών συστημάτων

Τα συστήματα τα οποία περικλείουν γεωθερμική ενέργεια μπορούν να διακριθούν στις παρακάτω πέντε κατηγορίες [3].

1. Υδροθερμικά : Τα υδροθερμικά συστήματα τα οποία ανήκουν σε δύο βασικές κατηγορίες.
 - Συναγωγής : Περατοί σχηματισμοί με φυσική κυκλοφορία ρευστών.
 - Αγωγής : Μη περατοί σχηματισμοί με μεγάλο πορώδες και περατότητα.
2. Θερμά ξηρά πετρώματα : Μη περατοί σχηματισμοί πετρωμάτων χωρίς φυσική κυκλοφορία ρευστών.
3. Γεωπεπιεσμένα : Έγκλειστα υδροφόρα στρώματα υπό μεγάλη πίεση, παρουσία υδρογονανθράκων.
4. Μαγματικά : Θερμοκρασίας ($T > 500^{\circ}C$) σε μερικά χιλιόμετρα βάθους λόγω μαγματικών διεισδύσεων.
5. Αβαθής γεωθερμία : Από βάθος 1m έως 400m (αναλόγως τον ορισμό της εθνικής νομοθεσίας κάθε χώρας), με ή χωρίς νερό και θερμοκρασίας ($T < 40^{\circ}C$).

1.2 Συστήματα αβαθούς γεωθερμίας

Οι ρηχοί γεωθερμικοί πόροι αποτελούν μία σημαντική και διαρκή πηγή ενέργειας. Μετά τα 15 – 20 μέτρα βάθους τα πάντα ονομάζονται γεωθερμικά. Το εύρος της θερμοκρασίας εξαρτάται από την επίγεια ροή θερμότητας και την τιμή της θερμικής αγωγιμότητας του υπεδάφους της κάθε περιοχής .

Τα ρηχά γεωθερμικά συστήματα βασίζονται κυρίως στη χρήση χαμηλών ή μέτριων θερμοκρασιών για θέρμανση-ψύξη. Αυτές οι θερμοκρασίες απαντώνται στα ανώτερα γεωλογικά στρώματα και βρίσκονται στο ίδιο θερμοκρασιακό επίπεδο με την επήσια μέση

θερμοκρασία του εξωτερικού χώρου. Η χρήση αυτών των θερμοκρασιών στο γεωθερμικό σύστημα αναφέρεται σε άμεση χρήση, κυρίως ως πηγή θερμότητας. Μπορεί επίσης να χρησιμοποιηθεί άμεσα προσφέροντας άνεση σε διεργασίες ψύξης, ειδικά σε ψυχρότερες κλιματικές ζώνες.

Γενικότερα ως συστήματα αβαθούς γεωθερμίας χαρακτηρίζονται τα συστήματα, τα οποία δεν επιδιώκουν τις υψηλότερες θερμοκρασίες που βρίσκονται συνήθως σε μεγαλύτερο βάθος, αλλά εφαρμόζουν τεχνικές λύσεις για την αξιοποίηση των σχετικά χαμηλών θερμοκρασιών που προσφέρονται σε βάθη άνω των 100 μέτρων ή και περισσότερων του φλοιού της Γης. Για την αβαθή γεωθερμία η αδιατάρακτη θερμοκρασία εδάφους που αποτελεί τη βάση της εξαγωγής ή της έγχυσης θερμότητας, η οποία κυμαίνεται μεταξύ $2^{\circ}C < T < 20^{\circ}C$ ανάλογα με την κλιματική κατάσταση της περιοχής και το βάθος της γεώτρησης. Για την αξιοποίηση των σταθερά χαμηλών θερμοκρασιών του εδάφους υπάρχουν δύο τρόποι :

- Αύξηση ή μείωση της θερμοκρασίας της γεωθερμικής θερμότητας σε επίπεδο ικανοποιητικό για την αξιοποίηση με τη χρήση γεωθερμικής αντλίας θερμότητας.
- Υπόγεια αποθήκευση θερμικής ενέργειας.

1.3 Χαρακτηριστικά συστημάτων αβαθούς γεωθερμίας

Τα γεωθερμικά συστήματα αβαθούς γεωθερμίας αποτελούνται από τα παρακάτω βασικά μέρη [1]:

Σύστημα γείωσης

Τα σύστημα γείωσης συνδέει την αντλία θερμότητας με το υπέδαφος και επιτρέπει την εξαγωγή θερμότητας από το έδαφος ή την έγχυση θερμότητας σε αυτό. Τα συστήματα αυτά διακρίνονται σε ανοιχτού ή κλειστού τύπου. Για την επιλογή του κατάλληλου συστήματος πρέπει να ληφθούν υπόψη διάφοροι καθοριστικοί παράγοντες, όπως η γεωλογία και υδρογεωλογία του υπεδάφους (π.χ. η επαρκής διαπερατότητα είναι απαραίτητη για τα

ανοιχτού τύπου συστήματα), τη διαθέσιμη περιοχή (π.χ τα οριζόντια κλειστού τύπου συστήματα απαιτούν συγκεκριμένη περιοχή για τοποθέτηση), την ύπαρξη πιθανών πηγών θερμότητας, και η ζήτηση σε θέρμανση και ψύξη του κτηρίου. Κατά την φάση του σχεδιασμού ενός συστήματος, απαιτούνται ακριβή δεδομένα για τις βασικές παραμέτρους, έτσι ώστε να σχεδιαστεί το πιο αποδοτικό σύστημα με το χαμηλότερο δυνατό κόστος.

Για την μεταφορά θερμότητας από και προς το έδαφος σε αυτά τα συστήματα περιλαμβάνονται τα ακόλουθα :

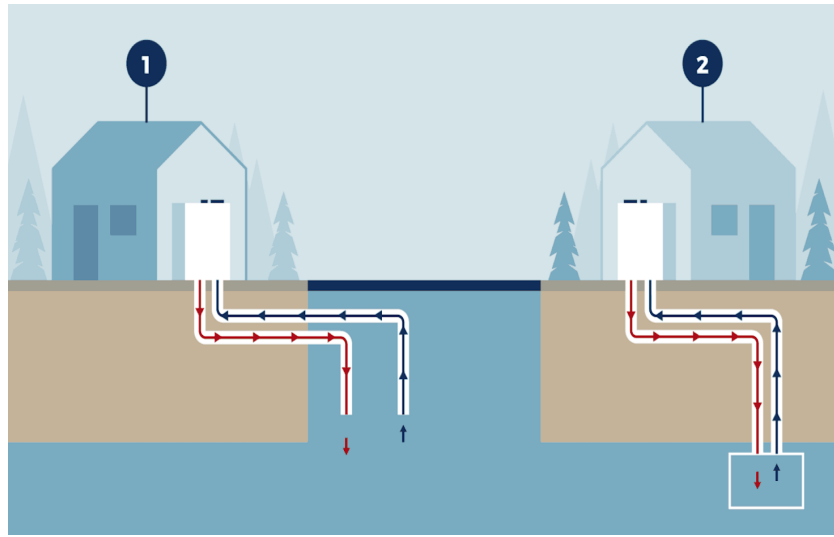
- Οριζόντιοι εναλλάκτες θερμότητας εδάφους σε βάθος $1.2 - 2.0m$ οριζόντια τοποθετημένοι.
- Γεωεναλλάκτες σε βάθος $10 - 250m$ κατακόρυφα τοποθετημένοι.
- Ενεργειακή συστάδα σε βάθος $5 - 45m$ κατακόρυφης πολλαπλής τοποθέτησης.
- Πηγάδια υπόγειου νερού.
- Νερό από ορυχεία και σήραγγες.

Τα συστήματα της αθαθούς γεωθερμίας (σχήμα 1.1), [24] , [6], που χρησιμοποιούν εναλλάκτη θερμότητας στο έδαφος ονομάζονται κλειστού βρόχου. Ενώ, εκείνα που παράγουν νερό από το έδαφος και χρησιμοποιούν εναλλάκτη θερμότητας (π.χ εξατμιστής) στην επιφάνεια ονομάζονται ανοικτού βρόχου.

Συστήματα Ανοιχτού βρόχου

Κύριο τεχνικό χαρακτηριστικό των ανοιχτών συστημάτων είναι τα φρεάτια υπόγειων υδάτων, για την εξαγωγή ή την έγχυση νερού από και προς τα στρώματα που φέρουν νερό στο υπέδαφος (υδροφορείς). Στις περισσότερες περιπτώσεις, απαιτούνται δύο γεωτρήσεις μία για την εξαγωγή των υπόγειων υδάτων και μία για την επανεισαγωγή τους.

Με τα ανοιχτά συστήματα, μία ισχυρή πηγή θερμότητας, μπορεί να αξιοποιηθεί με συγκριτικά χαμηλό κόστος. Αξίζει να σημειωθεί ότι τα φρεάτια των υπόγειων υδάτων



Σχήμα 1.1: Συστήματα ανοιχτού βρόχου [24].

απαιτούν συντήρηση και τα ανοιχτά συστήματα περιορίζονται σε τοποθεσίες με κατάλληλους υδροφορείς. Οι κύριες απαιτήσεις είναι:

- Επαρκής διαπερατότητα ώστε να επιτυγχάνεται η παραγωγή της επιθυμητής ποσότητας υπόγειων υδάτων με μικρή απορρόφηση.
- Καλή χημικοί σύσταση των υπόγειων υδάτων (π.χ χαμηλή περιεκτικότητα σε σίδηρο (Fe) , για την αποφυγή προβλημάτων όπως αποφράξεις και διαθρώσεις).

Τα συστήματα ανοιχτού βρόχου διακρίνονται στις εξής κατηγορίες:

1. Επιφανειακά νερά (π.χ λίμνες, θάλασσες, ποτάμια) τα οποία έχουν τα παρακάτω χαρακτηριστικά :

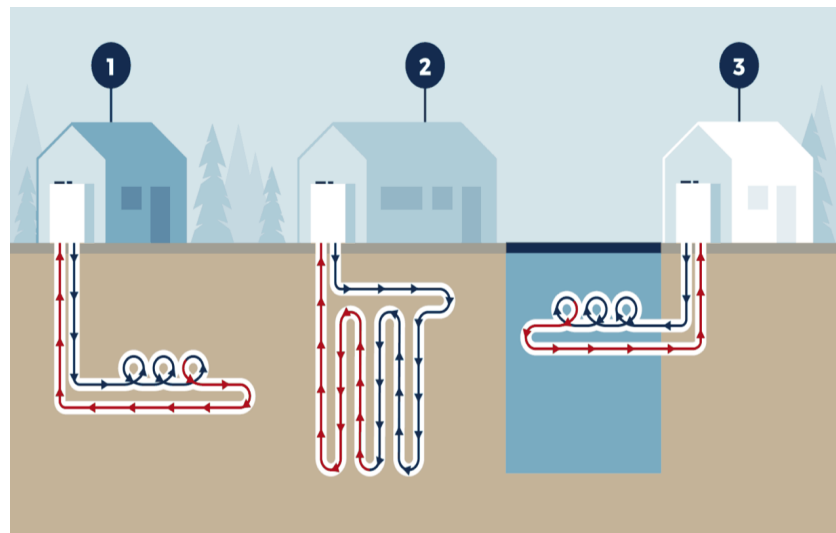
- Είναι εύκολα στην εγκατάσταση.
- Έχουν χαμηλό κόστος.
- Απαιτούν λιγότερη εκσκαφή.
- Είναι επιρρεπείς σε ρύπανση και διάθρωση.
- Δεν είναι πάντα σταθερή η θερμοκρασία του νερού.

2. Πηγάδια τα οποία έχουν τα εξής χαρακτηριστικά :

- Υψηλό κόστος.
- Απαιτούν περισσότερη εκσκαφή ή γεώτρηση.
- Η θερμοκρασία του νερού διατηρείται σταθερή.

Συστήματα Κλειστού βρόχου

Στα κλειστά συστήματα [24], (σχήμα 1.2) οι εναλλάκτες θερμότητας τοποθετούνται υπογείως (είτε σε κάθετη, οριζόντια ή πλάγια διεύθυνση), και ένα μέσο μεταφοράς θερμότητας (π.χ νερό) που κυκλοφορεί μέσα στους εναλλάκτες θερμότητας μεταφέρει θερμότητα από το έδαφος προς την αντλία θερμότητας ή αντιστρόφων [8] .



Σχήμα 1.2: Συστήματα κλειστού βρόχου [24].

Τα κλειστού βρόχου συστήματα διακρίνονται στις παρακάτω κατηγορίες:

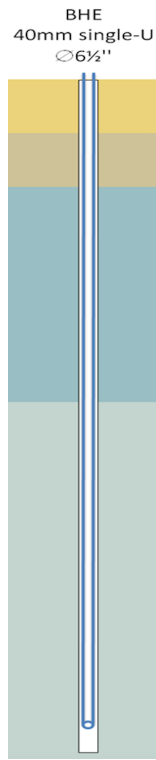
1. Οριζόντια συστήματα κλειστού βρόχου

Τα κλειστού τύπου οριζόντια συστήματα είναι ευκολότερα στην εγκατάσταση καθώς και ελεύθερα ως προς την επιλέξιμη γεωμετρία τους (ακόμα και περίπλοκες γεωμετρίες), αναπτύσσονται σε βάθος τουλάχιστον $1.5m$ κάτω από την επιφάνεια της Γης και η σύνδεση τους γίνεται, είτε παράλληλα, είτε σε σειρά ή και σε σπειροειδής διάταξη (slinky ή Svec). Η μεγαλύτερη απόδοση των οριζόντιων συστημάτων επιτυγχάνεται σε λεπτόκοκκα εδάφη με υψηλή περιεκτικότητα σε νερό, όπως τα αργιλικά και θα πρέπει να αποφεύγεται η εγκατάσταση τους σε εδάφη χονδρόκοκκα (π.χ χαλίκια) .

2. Κατακόρυφα κλειστού βρόχου συστήματα

Αυτού του τύπου τα συστήματα εφαρμόζονται σε μονοκατοικίες, αποτελούνται από μία ή περισσότερες γεωτρήσεις στις οποίες είναι εγκατεστημένοι οι γεωεναλλάκτες. Οι γεωτρήσεις συνήθως εκτίνονται σε βάθος έως τα $200m$ και μπορούν να διατηρηθούν σχεδόν σε κάθε τύπου εδάφους. Ο γεωεναλλάκτης συνδέεται με την αντλία θερμότητας, όπου με την κυκλοφορία του ψυκτικού (π.χ νερό) η θερμότητα εξάγεται από το περιβάλλον της γεώτρησης και μεταφέρεται στην αντλία θερμότητας από την οποία κατανέμεται στο κτήριο θερμότητα με υψηλότερη τιμή θερμοκρασίας. Οι βασικές κατηγορίες γεωεναλλακτών είναι :

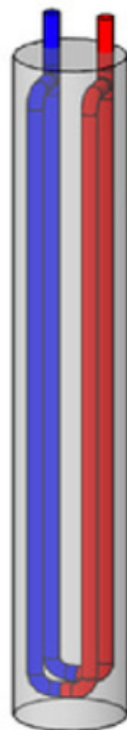
- **Τύπος U** (σχήμα 1.3, 1.4), [4] : αποτελείται από ένα ζεύγος ίσων σωλήνων, οι οποίοι συνδέονται με 180^0 στροφή στο κάτω μέρος. Σε μία γεώτρηση μπορούν να εγκατασταθούν ένας ή και δύο σωλήνες τύπου U . Το πλεονέκτημα του σωλήνα τύπου U είναι το χαμηλό κόστος του υλικού από το οποίο κατασκευάζεται, με αποτέλεσμα οι διπλοί σωλήνες τύπου U να αποτελούν τους πιο συχνά εγκατεστημένους γεωεναλλάκτες στην Ευρώπη.



Σχήμα 1.3: Γεωεναλλάκτης τύπου 1U [4].

- **Ομοαξονικός** (σχήμα 1.5), [4]: Συναντώνται είτε ως συνδυασμός δύο σωλήνων διαφορετικής διαμέτρου είτε με περίπλοκες διαμορφώσεις.
- **Ελικοειδής** (σχήμα 1.6), [4]: σπειροειδούς σχήματος σωλήνες μεγάλης διαμέτρου.
- **Ενεργειακές συστάδες** : Τρεις ή και περισσότεροι σωλήνες τύπου U ή δύο και περισσότερες τύπου ελικοειδούς .

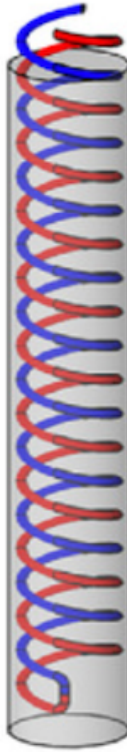
Για τον σχεδιασμό των γεωεναλλακτών έχει αναπτυχθεί μεγάλος αριθμός μεθόδων σχεδίασης [7], είτε αριθμητικές, είτε αναλυτικές για την επιλογή του μεγέθους τους και την βελτιστοποίηση της θέσης τους. Τα υπό δοκιμή μοντέλα θερμικής απόκρισης, η επεξεργασία των θερμικών φορτίων των κτηρίων, η εξέταση των θερμικών παρεμβολών και άλλες επιλογές όπου έχουν διαφορετική πολυπλοκότητα και διαφέρουν μεταξύ τους. Παρακάτω παρουσιάζονται οι βασικότερες μέθοδοι κάθετου σχεδιασμού γεωεναλλακτών :



Σχήμα 1.4: Γεωεναλλάκτης τύπου 2U [4].



Σχήμα 1.5: Γεωεναλλάκτης ομοαξονικού τύπου [4].



Σχήμα 1.6: Γεωεναλλάκτης τύπου ελικοειδούς [4].

(a) **Μέθοδος IGSHPA :** Η μέθοδος IGSHPA αποτελεί την πιο συχνά χρησιμοποιούμενη μέθοδο διαστασιολόγησης των γεωεναλλακτών. Υπολογίζει το μήκος των γεωεναλλακτών που απαιτείται για την θέρμανση και την ψύξη φορτίων εφαρμόζοντας τις εξισώσεις

$$L_h = \frac{Q_h \cdot (R_p + R_s \cdot F_n)}{T_o - T_L} \cdot \frac{COP_h - 1}{COP_h}, \quad (1.1)$$

$$L_c = \frac{Q_c \cdot (R_p + R_s \cdot F_c)}{T_H - T_o} \cdot \frac{COP_c + 1}{COP_c}, \quad (1.2)$$

- 'Οπου ο δείκτης h αναφέρεται στη λειτουργία θέρμανσης, ενώ ο δείκτης c στη λειτουργία της ψύξης.
- L : Το απαιτούμενο μήκος σχεδίασης σε μέτρα (m).
- Q : Το θερμικό φορτίο σχεδιασμού ή η συνολική χωρητικότητα της μονάδας για στην εισερχόμενη θερμοκρασία του υγρού μετρημένο σε (Watt).
- F : Το κλάσμα λειτουργίας .

- COP : Συντελεστής απόδοσης.
- R_s : Συντελεστής θερμικής αντίστασης εδάφους (Km/W) .
- R_p : Συντελεστής θερμικής αντίστασης σωλήνα (Km/W) .
- T_L, T_H : Αναφέρονται στην καθορισμένη ελάχιστη και μέγιστη θερμοκρασία εισόδου του υγρού στην αντλίας θερμότητας $T_{in,hp}$ ($^{\circ}C$) .

(β) **Μέθοδος ASHRAE** : Το εγχειρίδιο της μεθόδου ASHRAE περιλαμβάνει μία εξίσωση σχεδιασμού γεωναλλακτών θερμότητας κατάλληλη για γρήγορους υπολογισμούς. Αυτή είναι

$$L_h = \frac{Q_a \cdot R_{sa} + Q_h \cdot (R_b + PLF_m \cdot R_{sm} + F_{sc} \cdot R_{sd})}{T_0 - T_p - \frac{T_{in(hp)} + T_{out(hp)}}{2}} \cdot \frac{COP_h - 1}{COP_h}, \quad (1.3)$$

$$L_c = \frac{Q_a \cdot R_{sa} + Q_c \cdot (R_b + PLF_m \cdot R_{sm} + F_{sc} \cdot R_{sd})}{\frac{T_{in(hp)} + T_{out(hp)}}{2} - T_0 - T_p} \cdot \frac{COP_h + 1}{COP_h}, \quad (1.4)$$

- Q_a : Ετήσια μέση μεταφορά θερμικού φορτίου στο έδαφος (Watt).
- PLF_m : Συντελεστής μερικού θερμικού φορτίου για τον μήνα σχεδιασμού.
- COP : Συντελεστής απόδοσης.
- R_{sa}, R_{sm}, R_{sd} : Αναφέρονται στην αποτελεσματική θερμική αντίσταση του εδάφους στην διάρκεια του έτους , του μήνα και του μέγιστου ημερήσιου αντίστοιχα (Km/W).
- F_{sc} : Παράγοντας απώλειας θερμότητας βραχυκυκλώματος .
- R_p : Συντελεστής θερμικής αντίστασης σωλήνα (Km/W) .
- T_p : Είναι η θερμοκρασιακή απώλεια λόγω παρεμβολών από γειτονικές γεωτρήσεις ($^{\circ}C$) .

(γ) **Μέθοδος FLSCC** : Με την υπέρθεση λύσεων για πολλαπλές γεωτρήσεις, μπορεί να εφαρμοστεί η μέθοδος FLSCC-based- g -function κάνοντας χρήση συναρτήσεων χρονικού βήματος και θερμότητας. Η μέθοδος FLSCC προσεγγίζει

τη θερμοκρασία εισόδου στην αντλία θερμότητας $T_{in(hp)}$ (ανάλογα και τη θερμοκρασία εξόδου της $T_{out(hp)}$) χρησιμοποιώντας το ισοζύγιο θερμότητας

$$T_{in(hp)} = \sum_{i=1}^n \frac{(q_i - q_{i-1})}{2\pi k_s} \cdot g_c\left(\frac{t_n - t_{n-1}}{t_{ss}}, \frac{r_b}{H}, \frac{B}{H}\right) + q_i R_b + \bar{T}_0 - \frac{q_i H N_b}{2\dot{m} C_f} \quad (1.5)$$

- q : Ο ρυθμός μεταφοράς θερμότητας ανά μονάδα μήκους (W/m).
- g_c : Η τιμή της g -function συνάρτησης στο καθορισμένο σημείο.
- t : Χρόνος (sec).
- B : Απόσταση μεταξύ γεωτρήσεων (m) .
- r_b : Ακτίνα γεώτρησης (m) .
- H : Βάθος γεώτρησης (m) .
- \bar{T}_0 : Μέση τιμή αδιατάρακτης θερμοκρασίας εδάφους ($^{\circ}C$) .
- R_b : Θερμική αντίσταση γεώτρησης (mK/W).
- $t_{ss} = \frac{H^2}{9\alpha_s}$: Χρονικό όριο σταθερής κατάστασης (sec).
- α_s : Συντελεστής θερμικής διάχυσης εδάφους (m^2/sec).
- k_s : Θερμική αγωγιμότητα εδάφους (W/mK).
- N_b : Ο αριθμός των γεωτρήσεων .
- \dot{m} : Ρυθμός ροής μάζας (kg/sec) .
- C_f : Ειδική θερμοχωρητικότητα του υγρού (J/kgK) .

Η μέθοδος αυτή καθορίζει ένα μήκος γεώτρησης υποθέτοντας μία τυχαία αρχική τιμή. Στη συνέχεια η μέγιστη και η ελάχιστη θερμοκρασία εισόδου του υγρού στην αντλία θερμότητας μπορεί να υπολογιστεί και να συγκριθεί με τους περιορισμούς του σχεδιασμού μέχρι να επιτευχθεί η απαιτούμενη ακρίβεια.

3. Κλειστού βρόχου συστήματα εντός επιφανειακών υδάτων.

Τα συστήματα κλειστού τύπου εντός επιφανειακών υδάτων μπορούν να τοποθετηθούν σε περιπτώσεις όπου το κτήριο βρίσκεται κοντά σε (πισίνα, ποτάμι, λίμνη κ.α). Αποτελεί μία αρκετά συμφέρουσα επιλογή ως προς το κόστος κατασκευής.

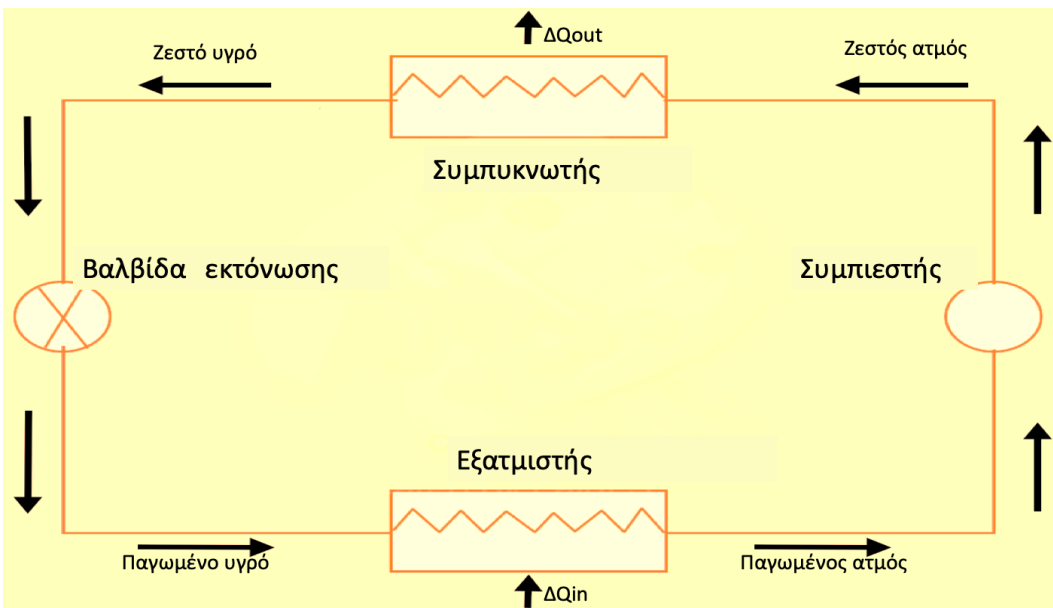
1.4 Αντλίες θερμότητας

Αντλία θερμότητας είναι μία συσκευή, η οποία διαθέτει την ικανότητα να μεταφέρει θερμότητα από ένα μέσο χαμηλής θερμοκρασίας σε ένα άλλο υψηλότερης. Αυτό υλοποιείται με την απορρόφηση θερμότητας από μία πηγή χαμηλής θερμοκρασίας (π.χ εξωτερικός αέρας, υπόγειο ή επιφανειακό νερό κ.α) και τη μεταφορά αυτής της θερμότητας σε ένα μέσο με υψηλότερη θερμοκρασία, όπως τον αέρα ή το νερό, το οποίο και χρησιμεύει στην θέρμανση ενός χώρου.

Τα κύρια μέρη της αντλίας θερμότητας είναι τα παρακάτω (σχήμα 1.7):

1. Εξατμιστής : Δέχεται θερμότητα από το έδαφος η οποία διοχετεύεται στο σύστημα μέσω του υγρού το οποίο εξατμίζεται.
2. Συμπιεστής : Συμπιέζει το αέριο αυξάνοντας τη θερμοκρασία του.
3. Συμπυκνωτής : Μεταφέρει θερμότητα στο κύκλωμα θέρμανσης με συμπύκνωση του συμπιεσμένου υγρού.
4. Βαλβίδα εκτόνωσης : Διαστέλλει το συμπυκνωμένο υγρό σε χαμηλότερη πίεση.

Τα τέσσερα παραπάνω εξαρτήματα συνδέονται σε κλειστό κύκλωμα, και το υγρό το οποίο ρέει μέσα σε αυτό είναι συνήθως μία οργανική ένωση με χαμηλή θερμοκρασία βρασμού (π.χ τετραφθοροαιθάνιο CH₂FCF₃).



Σχήμα 1.7: Βασικά εξαρτήματα αντλίας θερμότητας.

Ο συντελεστής απόδοσης μίας αντλίας θερμότητας διακρίνεται αναλόγως την λειτουργία της σε θέρμανση ή ψύξη ως εξής :

- COP (Coefficient Of Performance): Ο συντελεστής απόδοσης χρησιμοποιείται για να εκφράσει την απόδοση ενός συστήματος κατά την διεργασία της θέρμανσης και ο υπολογίζεται ως εξής :

$$COP = \text{Παραγόμενη θερμότητα} / \text{Ενέργεια που καταναλώνεται}$$

- EER (Energy Efficiency Rating): Ο βαθμός ενεργειακής απόδοσης χρησιμοποιείται για να εκφράσει την απόδοση ενός συστήματος κατά την διεργασία της ψύξης και ο υπολογίζεται ως εξής :

$$EER = \text{Απαιτούμενη ενέργεια για ψύξη} / \text{Ενέργεια που εφαρμόζεται} \quad \text{ή } EER = COP * 3.412$$

Κατηγορίες αντλιών θερμότητας

Οι αντλίες θερμότητας αναλόγως την πηγή που τις τροφοδοτεί και τον τρόπο με τον οποίο διοχετεύουν την θερμότητα διακρίνονται στις παρακάτω βασικές κατηγορίες όπου το πρώτο μέρος αντιστοιχεί στην πηγή και το δεύτερο στον τρόπο διοχέτευσης :

- Αέρος-Νερού
- Αέρος-Αέρος
- Νερού-Νερού
- Νερού -Αέρος

Αναλόγως το είδος εγκατάστασης του συστήματος διακρίνονται στις εξής κατηγορίες :

1. Αντλία θερμότητας πηγής αέρος

Σε αυτή την κατηγορία η θερμότητα εξάγεται από τον ατμοσφαιρικό αέρα, ο οποίος εισέρχεται στον εναλλάκτη θερμότητας. Η θερμοκρασία της πηγής εξαρτάται σε μεγάλο βαθμό από την θερμοκρασία περιβάλλοντος και διαφέρει σε όλη τη διάρκεια του έτους αναλόγως την γεωγραφική θέση της εγκατάστασης.

2. Αντλία θερμότητας πηγής νερού

Αυτού του τύπου οι αντλίες θερμότητας χωρίζονται σε δύο υποκατηγορίες :

- Κλειστού τύπου : Κλειστό σύστημα σωληνώσεων πληρωμένο με νερό ή και αντιψυκτικό διάλυμα, το οποίο έχει βυθιστεί σε ποτάμι, λίμνη ή θάλασσα.
- Ανοιχτού τύπου : Το νερό εξάγεται από ένα υπόγειο υδροφόρο και διοχετεύεται μέσω της αντλίας θερμότητας (σε μερικές περιπτώσεις κρίνεται αναγκαία η χρήση προστατευτικού εναλλάκτη θερμότητας νερού -νερού).

3. Αντλία θερμότητας βρόχου νερού

Το σύστημα αυτό χρησιμοποιεί κλειστό βρόχο νερού για παροχή θέρμανσης ή ψύξης σε ένα κτήριο. Ο βρόχος χρησιμοποιεί διάφορους τρόπους για να θερμανθεί ή να ψυχθεί.

4. Αντλία θερμότητας εξάτμισης αέρα

Οι αντλίες θερμότητας εξάτμισης αέρα αντιπροσωπεύουν αυτές του είδους αέροσ-νερού. Γίνεται ανάκτηση θερμότητας από τον αέρα εξάτμισης κατά την διάρκεια της θέρμανσης χώρου ή ζεστού νερού, πριν την απομάκρυνση του αέρα στην ατμόσφαιρα.

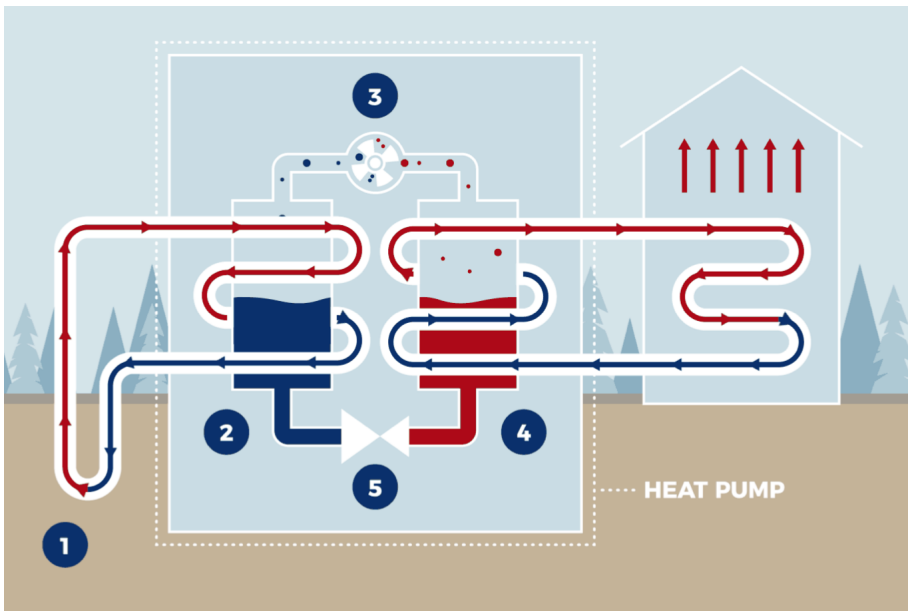
5. Αντλία θερμότητας πηγής εδάφους ή Γεωθερμική αντλία θερμότητας (ΓΑΘ)

Τα συστήματα αντλιών θερμότητας εδάφους (ΓΑΘ) (σχήμα 1.8), [24] παρέχουν θέρμανση και ψύξη χώρου καθώς και τη δυνατότητα παροχής ζεστών νερών χρήσης. Η τεχνολογία τους χρησιμοποιεί μια εσωτερική μονάδα αντλίας θερμότητας και ένα βρόχο γείωσης ανταλλαγής θερμότητας στο υπέδαφος για την μεταφορά θερμικής ενέργειας μεταξύ του εδάφους και του κτηρίου, ενώ κατά την λειτουργία σε ψύξη τα συστήματα μεταφέρουν θερμική ενέργεια, από το κτήριο στο έδαφος.

Υπάρχουν διάφοροι τύποι σχεδιασμού και εγκατάστασης του βρόχου γείωσης στο υπέδαφος οι οποίοι παρατίθενται παρακάτω :

- **Συστήματα κλειστού βρόχου** : Χρησιμοποιούν ένα βρόχο εδάφους (συνήθως κατασκευασμένο από σωλήνες πολυαιθυλενίου ή PVC), μέσω τον οποίον κυκλοφορεί το ψυκτικό για να επιτευχθεί η ανταλλαγή θερμότητας με την πηγή (έδαφος ή τα υπόγεια ύδατα).
- **Συστήματα ανοιχτού βρόχου** : Τα συστήματα ανοιχτού βρόχου κυκλοφορούν νερό για εξαγωγή θερμότητας καθώς και για απόρριψη απευθείας από τοπικές πηγές υπόγειων υδάτων.
- **Συστήματα απευθείας ανταλλαγής** : Τα απευθείας ανταλλαγής συστήματα χρησιμοποιούν ένα ψυκτικό μέσο, το οποίο ρέει διαμέσου ενός χάλκινου σωλήνα αντί ενός τυπικού βρόχου γείωσης.

Τα πλεονεκτήματα των γεωθερμικών αντλιών θερμότητας είναι :



Σχήμα 1.8: Γεωθερμική αντλία θερμότητας [24].

- Μείωση εκτεθειμένου εξωτερικού εξοπλισμού.
 - Προσφέρουν μεγαλύτερη άνεση σε θέρμανση και ψύξη.
 - Μείωση κατανάλωσης σε ορυκτά καύσιμα (εκπομπές αέριων του θερμοκηπίου).
 - Προσφέρουν την δυνατότητα για ζεστό νερό χρήσης.
 - Μεγάλη διάρκεια ζωής.
 - Μεγαλύτερη απόδοση από μία απλή αντλία θερμότητας.
 - Μείωση σε κατανάλωση φρέσκου νερού (πύργος ψύξης).
1. Το νερό στον βρόχο εδάφους συλλέγει θερμότητα από το έδαφος.
 2. Το ψυκτικό απορροφά θερμότητα από τον βρόχο γείωσης και την εξατμίζει.
 3. Ο συμπιεστής συμπιέζει το ψυκτικό σε υγρό θερμαίνοντας το.
 4. Η θερμότητα από το συμπιεσμένο ψυκτικό μεταφέρεται στον αέρα.
 5. Το ψυκτικό αποσυμπιέζεται για να αναθερμανθεί.

Κεφάλαιο 2

Λογισμικό OpenGeoSys

2.1 Εισαγωγή στη χρήση του λογισμικού OpenGeoSys

Το ανοικτού κώδικα λογισμικό OpenGeoSys υλοποιεί αριθμητικές μεθόδους για τη προσομοίωση θερμο-υδρο-μηχανο-χημικές διαδικασίες σε πορώδη και ρωγμώδη μέσα. Το λογισμικό OpenGeoSys εφαρμόζεται στις επιστημονικές περιοχές της περιφερειακής, της μολυσματικής και της παράκτιας υδρολογίας, των βασικών και γεωθερμικών ενεργειακών συστημάτων, της γεωτεχνικής μηχανικής, της αποθήκευσης ενέργειας, της δέσμευσης/αποθήκευσης διοξειδίου του άνθρακα (CO₂) και της διαχείρισης και διάθεσης πυρηνικών αποβλήτων. Η εφαρμογή του λογισμικού OpenGeoSys για την προσομοίωση ενός συστήματος αβαθούς γεωθερμίας περιλαμβάνει τα παρακάτω στάδια :

- Εισαγωγή δεδομένων γεωμετρίας του προβλήματος.
- Εισαγωγή τεχνικών χαρακτηριστικών του συστήματος και επιλογή των αριθμητικών μεθόδων προσομοίωσης.
- Επεξεργασία των αποτελεσμάτων της προσομοίωσης του συστήματος.

Στην έκτη έκδοση του λογισμικού είναι απαραίτητη η εισαγωγή της γεωμετρίας και της πληροφορίας διακριτοποίησης του προβλήματος με την εισαγωγή δύο βασικών αρχείων. Το πρώτο αρχείο γεωμετρίας είναι τύπου *.gml* και το δεύτερο είναι τύπου *.vtu* και περιλαμβάνει την πληροφορία της διακριτοποίησης της περιοχής για την μέθοδο των πεπερασμένων στοιχείων. Τα αρχεία αυτά μπορεί να κατασκευαστούν με τη χρήση της εξειδικευμένης εφαρμογής BHE SETUP TOOL ή για παράδειγμα η οποία συνοδεύεται από το λογισμικό OpenGeoSys ή με τη χρήση γενικών εφαρμογών σχεδιασμού γεωμετρίας και διακριτοποίησης, όπως για παράδειγμα η εφαρμογή gmsh.

2.2 Παραμετροποίηση για την προσομοίωση της λειτουργίας γεωεναλλακτών.

2.2.1 Προσομοίωση διάδοσης θερμότητας με την χρήση γήινων εναλλακτών

Εισαγωγή

Οι γήινοι εναλλάκτες θερμότητας (ΓΕΘ) εφαρμόζονται σε συστήματα τα οποία χρησιμοποιούν αντλία θερμότητας εδάφους (GSHP) για την εκμετάλλευση της γεωθερμικής ενέργειας. Σήμερα υπάρχει πληθώρα λογισμικών προσομοίωσης με σκοπό την βέλτιστη αξιοποίηση της απόδοσης και του σχεδιασμού αυτών των συστημάτων. Το λογισμικό OpenGeoSys προσφέρει τη δυνατότητα της προσομοίωσης της διάδοσης της θερμότητας στο υπέδαιφος, η οποία μεταφέρεται μέσω των γεωεναλλακτών θερμότητας στο υπέδαιφος, καθώς και την συνολική απόδοση της λειτουργίας του συστήματος συμπεριλαμβανομένης και της αντλίας θερμότητας.

Μαθηματική μοντελοποίηση και επίλυση

Το λογισμικό OpenGeoSys εφαρμόζει την αριθμητική μέθοδο των ασυνεχών πεπερασμένων στοιχείων (DC FEM) για την αριθμητική επίλυση του χωρικού προβλήματος της διάδοσης θερμότητας στο υπέδαφος. Η συγκεκριμένη αριθμητική μέθοδος αρχικά προτάθηκε από τους [19] και επεκτάθηκε από τους [20] [21], ενώ εφαρμόστηκε στο λογισμικό OpenGeoSys από τον Shao et al. (2016) [22] [23]. Η μοντελοποίηση του προβλήματος βασίστηκε στις παρακάτω παραδοχές:

- Το υπέδαφος θεωρείται συνεχές πεδίο στις τρεις διαστάσεις, ενώ ο γεωναλλάκτης θερμότητας μοντελοποιήθηκε σε μία διάσταση ως μία συνεχή γραμμή.
- Η μεταφορά θερμότητας από διαφορετικούς γεωναλλάκτες προσομοιώνεται από το Capacity-Resistance-Model (CARM) σε αναλογία με τα ηλεκτρικά κυκλώματα.
- Στο υπέδαφος, τόσο η μεταφορά θερμότητας, όσο και η θερμική αγωγιμότητα, περιγράφονται από την εξίσωση διατήρησης θερμικής ενέργειας η οποία είναι :

$$H_s = \frac{\partial}{\partial t} [\epsilon \rho_f c_f + (1 - \epsilon) \rho_s c_s] T_s \nabla \cdot (\rho_f c_f \mathbf{v}_f T_s) \nabla \cdot (\Lambda_s \cdot \nabla T_s) \quad (2.1)$$

όπου

- Λ_s : Τανυστής της θερμικής και υδροδυναμικής διασποράς .
- H_s : 'Ορος της πηγής θερμότητας (sink term) .
- Σε κάθε σωλήνα εντός της γεώτρησης αναφέρεται μία εξίσωση για την προσομοίωση της θερμικής μεταφοράς στον αγωγό. Επίσης για κάθε ζώνη ενέματος που περιβάλει τον αγωγό της γεώτρησης προσομοιώνεται η θερμική αγωγιμότητα του.

Το βασικό αρχείο παραμετροποίησης ενός προβλήματος προσομοίωσης στο λογισμικό OpenGeoSys είναι της κατηγορίας *.prj* και είναι τύπου *xml*. Η δομή του αρχείου περιλαμβάνει τα παρακάτω πεδία :

Παράμετροι εισόδου

- **'name'** : Όνομα διαδικασίας HeatTransportBHE για προσομοίωση διάδοσης θερμότητας σε γεωεναλλάκτη.
- **'type'** : Τύπος διαδικασίας *HEAT – TRANSPORT – BHE*.
- **'integration order'** : Τάξη ολοκλήρωσης της αριθμητικής μεθόδου των πεπερασμένων στοιχείων.
- **'Process variables'** : Βασικές παράμετροι της διαδικασίας (π.χ temperature soil, temperature BHE).

Το σχήμα 2.1 παρουσιάζει ένα παράδειγμα των βασικών παραμέτρων εισόδου του βασικού αρχείου του λογισμικού OpenGeoSys.

Στη συνέχεια εισάγονται τα τεχνικά χαρακτηριστικά της γεώτρησης.

```
<name>HeatTransportBHE</name>
<type>HEAT_TRANSPORT_BHE</type>
<integration_order>2</integration_order>
<process_variables>
    <process_variable>temperature_soil</process_variable>
    <process_variable>temperature_BHE1</process_variable>
</process_variables>
```

Σχήμα 2.1: Παράμετροι εισόδου OpenGeoSys.

Γεώτρηση

Το βάθος και η διάμετρος της γεώτρησης εισάγονται σε μέτρα. Η εικόνα 2.2 εμφανίζει ένα παράδειγμα γεώτρησης διαμέτρου 0.16 μέτρων και βάθους 20 μέτρων. Στη συνέχεια εισάγεται ο τύπος των γεωεναλλακτών.

Ορισμός τύπου γεωεναλλάκτη

Στο λογισμικό OpenGeoSys μπορούν να εισαχθούν τέσσερις τύποι γήινων εναλλακτών θερμότητας. Αυτοί είναι:

```

<borehole>
  <length>20.0</length>
  <diameter>0.16</diameter>
</borehole>

```

Σχήμα 2.2: Διαστάσεις γεώτρησης στο OpenGeoSys .

1. $1U$: Ο γεωεναλλάλτης σε αυτή την περίπτωση διαθέτει ένα σωλήνα τύπου U .
2. $2U$: Ο γεωεναλλάλτης σε αυτή την περίπτωση διαθέτει ένα ζεύγος σωλήνων τύπου U .
3. CXA: Ομοαξονικού τύπου σωλήνας με δακτυλιοειδή γεωμετρία και είσοδο από τον εξωτερικό σωλήνα και έξοδο από τον εσωτερικό.
4. CXC: Ομοαξονικού τύπου σωλήνας αντίστροφης κατεύθυνση από αυτή του ομοαξονικού (CXA).

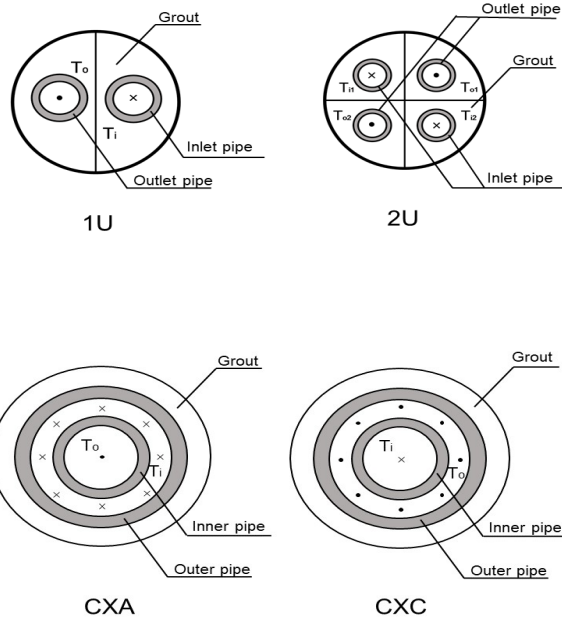
Το σχήμα 2.3,[1] εμφανίζει τα τέσσερα είδη των διαθέσιμων στο λογισμικό γεωεναλλακτών. Στη συνέχεια εισάγονται τα τεχνικά χαρακτηριστικά των γεωεναλλακτών.

Ιδιότητες σωλήνων

Σε αυτό το σημείο γίνεται εισαγωγή των ιδιοτήτων των σωλήνων του γεωεναλλάκτη όπου :

- Για τους ομοαξονικού τύπου γεωεναλλάκτες εισάγεται το μήκος της διαμήκους διασποράς.
- Για τους $1U, 2U$ τύπους γεωεναλλακτών εκτός από την διαμήκη διασπορά εισάγεται και η απόσταση μεταξύ των σωλήνων.

Στο σχήμα 2.4 παρουσιάζεται ένα παράδειγμα γεωεναλλάκτη τύπου $2U$, όπου οι σωλήνες εισόδου και εξόδου είναι κατασκευασμένοι από υψηλής πυκνότητας πολυαιθυλένιο HD-PE.



Σχήμα 2.3: Διατομές των ειδών των γεωεναλλακτών [1].

Στη συνέχεια εισάγεται το είδος του μοντέλου ροής και ελέγχου θερμότητας της προσομοίωσης.

```
<pipes>
  <inlet>
    <diameter> 0.0378</diameter>
    <wall_thickness>0.0029</wall_thickness>
    <wall_thermal_conductivity>0.42</wall_thermal_conductivity>
  </inlet>
  <outlet>
    <diameter>0.0378</diameter>
    <wall_thickness>0.0029</wall_thickness>
    <wall_thermal_conductivity>0.42</wall_thermal_conductivity>
  </outlet>
  <distance_between_pipes>0.053</distance_between_pipes>
  <longitudinal_dispersion_length>0.001</longitudinal_dispersion_length>
</pipes>
```

Σχήμα 2.4: Ιδιότητες σωλήνων OpenGeoSys .

Επιλογή μοντέλου ροής και ελέγχου θερμοκρασίας

Πέντε τύποι μοντέλων ροής και ελέγχου θερμοκρασίας παρέχονται στο OpenGeoSys, τα οποία παρουσιάζονται παρακάτω :

1. FixedPowerConstantFlow: Ο γεωεναλλάκτης έχει σταθερό θερμικό φορτίο και ο ρυθμός ροής του ψυκτικού μέσου στην γεώτρηση διατηρείται σταθερός. Σε αυτή την περίπτωση ορίζονται η τιμή της ισχύος και ο ρυθμός ροής του ρευστού.

2. FixedPowerFlowCurve: Ο γεωεναλλάκτης έχει σταθερό θερμικό φορτίο και ο ρυθμός ροής του ψυκτικού μέσου στην γεώτρηση ακολουθεί μία χρονικά εξαρτώμενη καμπύλη. Σε αυτή την περίπτωση ορίζονται η τιμή της ισχύος και η χρονικά εξαρτώμενη καμπύλη του ρυθμού ροής.
3. PowerCurveConstantFlow: Ο γεωεναλλάκτης έχει σταθερό ρυθμό ροής, ενώ η ισχύς ακολουθεί μία χρονικά εξαρτώμενη διακύμανση.
4. TemperatureCurveConstantFlow: Ο γεωεναλλάκτης έχει σταθερό ρυθμό ροής, ενώ η θερμοκρασία εισόδου του ρευστού ακολουθεί τιμές που ορίζονται από την χρονικά εξαρτώμενη καμπύλη.
5. TemperatureCurveFlowCurve: Στον γεωεναλλάκτη ο ρυθμός ροής, αλλά και οι τιμές της θερμοκρασίας, ακολουθούν τις αντίστοιχες χρονικά εξαρτώμενες διακυμάνσεις.

Έτσι

- Για εφαρμογές θέρμανσης η θερμική ενέργεια εξάγεται από το υπέδαφος οπότε η τιμή ισχύος έχει αρνητικό μέγεθος. Το αντίστροφο ισχύει για εφαρμογές ψύξης, όπου στο υπέδαφος διοχετεύεται η θερμική ενέργεια.
- Για όλες τις επιλογές ελέγχου ροής και θερμοκρασίας στο λογισμικό OpenGeoSys υπολογίζεται η θερμοκρασία εισόδου του κάθε γεωεναλλάκτη.
- Η συνοριακή συνθήκη της διαφορικής εξίσωσης που αναφέρεται στη θερμοκρασία εισόδου του σωλήνα κάθε γεωεναλλάκτη είναι τύπου Dirichlet.
- Ανάλογα με την επιλογή του ελέγχου ροής και θερμοκρασίας η θερμοκρασία εισόδης υπολογίζεται δυναμικά σε κάθε χρονικό βήμα και για κάθε επανάληψη, έτσι ώστε να ικανοποιούνται οι περιορισμοί των τεχνικών χαρακτηριστικών του προβλήματος.

Στό σχήμα 2.5 παρουσιάζεται ένα παράδειγμα εισαγωγής του μοντέλου TemperatureCurveConstantFlow:

Στη συνέχεια εισάγονται τα χαρακτηριστικά του ενέματος της γεώτρησης.

```
<flow_and_temperature_control>
  <type>TemperatureCurveConstantFlow</type>
  <flow_rate>2.0e-4</flow_rate>
  <temperature_curve>inflow_temperature</temperature_curve>
</flow_and_temperature_control>
```

Σχήμα 2.5: Ορισμός μοντέλου στο OpenGeoSys με χρήση TemperatureCurveConstantFlow .

Ένεμα

Οι θερμικές ιδιότητες του υλικού ενέματος εισάγονται σε αυτό το τμήμα του αρχείου με τον ακόλουθο τρόπο :

- Πυκνότητα
- Πορώδες του ενέματος
- Θερμοχωρητικότητα
- Θερμική αγωγιμότητα

Στό σχήμα 2.6 παρουσιάζεται η εισαγωγή των θερμικών ιδιοτήτων ενός παραδείγματος ενέματος γεώτρησης. Στο επόμενο τμήμα του αρχείου εισάγονται οι θερμικές ιδιότητες του ψυκτικού μέσου του συστήματος.

```
<grout>
  <density>2190.0</density>
  <porosity>0.0</porosity>
  <specific_heat_capacity>1735.1</specific_heat_capacity>
  <thermal_conductivity>0.73</thermal_conductivity>
</grout>
```

Σχήμα 2.6: Ορισμός θερμικών ιδιοτήτων του ενέματος στο OpenGeoSys .

Ψυκτικό

Οι θερμικές ιδιότητες του ψυκτικού υγρού του συστήματος εισάγονται ως εξής:

- Πυκνότητα
- Ιξώδες
- Ειδική θερμοχωρητικότητα
- Θερμική αγωγιμότητα
- Θερμοκρασία υγρού

Το σχήμα 2.7 εμφανίζει την εισαγωγή των θερμικών ιδιοτήτων ενός παραδείγματος ψυκτικού μέσου.

```
<refrigerant>
  <density>998</density>
  <viscosity>0.0011375 </viscosity>
  <specific_heat_capacity>4190</specific_heat_capacity>
  <thermal_conductivity>0.6</thermal_conductivity>
  <reference_temperature>22</reference_temperature>
</refrigerant>
```

Σχήμα 2.7: Ορισμός θερμικών ιδιοτήτων ψυκτικού στο OpenGeoSys .

2.2.2 Προσομοίωση διάδοσης θερμότητας με την χρήση συστοιχίας γήινων εναλλακτών

Σε μία συστοιχία γήινων εναλλακτών θερμότητας όλοι οι γεωεναλλάκτες συνδέονται μεταξύ τους μέσω ενός δικτύου αγωγών. Οι θερμοκρασίες του ψυκτικού μέσα σε κάθε γεωεναλλάκτη ελέγχονται από το δίκτυο. Επειδή υπάρχει εξισορρόπηση, των ποσοστών θερμικής εξαγωγής μεταξύ των γεωεναλλακτών εμφανίζονται φαινόμενα αλλαγής θερμικού φορτίου γεωεναλλακτών για μεγάλα χρονικά διαστήματα. Στο λογισμικό OpenGeoSys αυτή η διαδικασία μπορεί να προσομοιωθεί κάνοντας χρήση της λειτουργίας PipeNetwork στη διαδικασία HeatTransportBHE.

```

<flow_and_temperature_control>
  <type>TemperatureCurveConstantFlow</type>
  <flow_rate>0</flow_rate>
  <temperature_curve>inflow_temperature</temperature_curve>
</flow_and_temperature_control>

```

Σχήμα 2.8: Λειτουργία PipeNetwork στη διαδικασία HeatTransportBHE .

Στό σχήμα 2.8 παρουσιάζεται ένα παράδειγμα εισαγωγής του μοντέλου TemperatureCurveConstantFlow για συστοιχία γεωεναλλακτών:

Δημιουργία μοντέλου δικτύου αγωγών με το λογισμικό TESPy

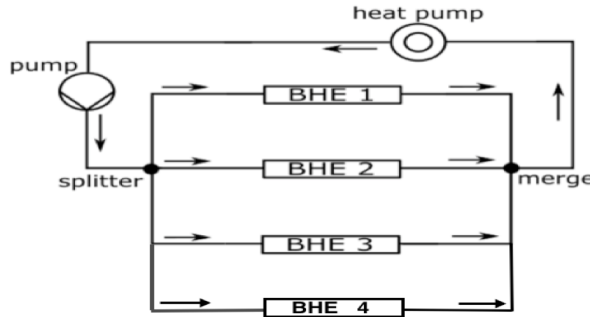
Το λογισμικό TESPy (Thermal Engineering Systems in Python) αποτελείται από μία βιβλιοθήκη διαδικασιών γραμμένες σε κώδικα Python για την προσομοίωση θερμικών διαδικασιών.

Ένα σύστημα αβαθούς γεωθερμίας αποτελείται από ένα δίκτυο αγωγών συνδεδεμένο με γεωεναλλάκτες θερμότητας, μία αντλία θερμότητας εδάφους (consumer), ένα διαχωριστή (spliter) για την κατανομή της ροής του υγρού της τροφοδοσίας και έναν διακλαδωτή (merge) για την επιστροφή της ροής.

Το σχήμα 2.9 παρουσιάζει σχηματικά ένα κλειστό σύστημα αβαθούς γεωθερμίας, το οποίο αποτελείται από μία συστοιχία γεωεναλλακτών. Στη συνέχεια περιγράφεται η παραμετροποίηση του αρχείου δεδομένων του λογισμικού TESPy μέσω του οποίου δημιουργούνται τα συμπληρωματικά αρχεία δεδομένων τα οποία αναφέρονται σε μία συστοιχία γεωεναλλακτών του προβλήματος .

Δημιουργία δικτύου αγωγών

Αρχικά εισάγεται η τοπολογία του δικτύου. Αποτελεί το κύριο μέρος του μοντέλου καθώς εισάγονται οι βασικοί παράμετροί του όπως το κυκλοφοριακό υγρό του συστήματος καθώς και τα επιμέρους χαρακτηριστικά του συστήματος. Στο σχήμα 2.10 εμφανίζεται ένα παράδειγμα κατασκευής δικτύου με χρήση νερού ως ψυκτικό μέσο. Οι μεταβλητές του δικτύου εισάγονται ως εξής:



Σχήμα 2.9: Μοντέλο δικτύου αγωγών στο TESPy

```
# Execute this file to generate TESPy network csv files
from tespy.networks import network
from tespy.connections import connection, ref
from tespy.components import source, sink, pump, splitter, merge, heat_exchanger_simple, cycle_closer
from tespy.tools import char_line, dc_cc
import numpy as np

# %% network
btes = network(fluids=['water'], T_unit='K', p_unit='bar', h_unit='kJ / kg')
```

Σχήμα 2.10: Ορισμός μεταβλητών του δικτύου.

Στοιχεία δικτύου

Σε αυτό το τμήμα του αρχείου εισάγονται τα διάφορα στοιχεία του δικτύου, όπως η ύπαρξη ανοικτού ή κλειστού κυκλώματος, κυκλοφοριτή, διακλαδωτή, αντλίας θερμότητας και το πλήθος των γεωεναλλακτών. Το σχήμα 2.11 εμφανίζει ένα παράδειγμα κλειστού συστήματος πέντε γεωεναλλακτών. Στη συνέχεια εισάγονται οι παράμετροι κάθε επιμέρους τμήματος του συστήματος.

```
# %% components
fc = cycle_closer('cycle closer')
pu = pump('pump')
sp = splitter('splitter', num_out=5)

# bhe:
bhe1 = heat_exchanger_simple('BHE1')
bhe2 = heat_exchanger_simple('BHE2')
bhe3 = heat_exchanger_simple('BHE3')
bhe4 = heat_exchanger_simple('BHE4')
bhe5 = heat_exchanger_simple('BHE5')

mg = merge('merge', num_in=5)
cons = heat_exchanger_simple('consumer')
```

Σχήμα 2.11: Ορισμός στοιχείων δικτύου.

Παραμετροποίηση στοιχείων

Στη συνέχεια εισάγονται οι παράμετροι κάθε επιμέρους τμήματος του συστήματος.

Στο στάδιο αυτό εισάγονται τα στοιχεία που απαιτούνται για την περιγραφή των χαρακτηριστικών κάθε τμήματος του συστήματος όπως το μήκος των γεωεναλλακτών, η διάμετρος τους, ο συντελεστής τραχύτητας, η ισχύς του συστήματος και η χαρακτηριστική καμπύλη της φυγοκεντρικής αντλίας (κυκλοφορητής). Το σχήμα 2.12 παρουσιάζει ένα παράδειγμα εισαγωγής δεδομένων παραμετροποίησης των βασικών στοιχείων του συστήματος. Στο επόμενο τμήμα του αρχείου εισάγεται ο τρόπος διασύνδεσης των αγωγών του συστήματος.

```
## components parameterization
# pump
# flow_char
# provide volumetric flow in m^3 / s
x =
    np.array([
        2.7778E-06, 5.83333E-05, 0.000113889, 0.000169444, 0.000222222, 0.000283333, 0.000336111, 0.000383333, 0.000422222, 0.000447222, 0.000505556,
        0.000558333, 0.000611111, 0.000669444, 0.000725, 0.000780556, 0.000836111, 0.000891667, 0.00095, 0.00102778, 0.001061111, 0.001119445, 0.001169445,
        0.001227778, 0.001280556, 0.001308333,])

# provide head in Pa
y =
    np.array([
        3.6081, 3.5672, 3.5058, 3.4854, 3.4445, 3.4036, 3.3628, 3.3014, 3.281, 3.2481, 3.1788, 3.1379, 3.0561, 2.8926, 2.7699, 2.6064, 2.4633, 2.3202, 2.1975,
        2.034, 1.8909, 1.6498, 1.5336, 1.3523, 1.1861, 1.0803,]) * 1e5

char = char_line(x=x, y=y)
pu.set_attr(flow_char=dc_cc(func=char, is_set=True))
pu.set_attr(eta_s=0.9)

# bhes
bhe1.set_attr(D=0.025, L=55, ks=0.00001)
bhe2.set_attr(D=0.032, L=100, ks=0.00001)
bhe3.set_attr(D=0.032, L=242, ks=0.00001)
bhe4.set_attr(D=0.032, L=242, ks=0.00001)
bhe5.set_attr(D=0.040, L=238, ks=0.00001)

# consumer
cons.set_attr(pr=0.32)
# consumer heat demand
cons.set_attr(Q=-19215) # W
```

Σχήμα 2.12: Παραμετροποίηση στοιχείων.

Διασυνδέσεις αγωγών.

Για κάθε αγωγό περιγράφεται η είσοδος και η έξοδός του. Έτσι η συνολική διασύνδεση αποτελείται από μία ακολουθία διασυνδέσεων όλων των αγωγών του συστήματος. Πιο συγκεκριμένα η ροή του ρευστού που ξεκινάει από την αντλία, στη συνέχεια διαχωρίζεται από τον διακλαδωτή σε πέντε κλάδους έναν για κάθε γεωεναλλάκτη. Ακολούθως η εκροή του υγρού από τους γεωεναλλάκτες συγχωνεύεται και οδηγείται στην αντλία θερμότητας. Η εικόνα 2.13 παρουσιάζει την παραμετροποίηση των διασυνδέσεων των αγωγών. Θα

πρέπει να σημειωθεί ότι οι ιδιότητες του ρευστού εντός της σύνδεσης παραμένουν σταθερές. Αυτό σημαίνει ότι όταν δύο στοιχεία συνδέονται μεταξύ τους, οι ιδιότητες του ρευστού, όπως για παράδειγμα ο ρυθμός ροής μάζας, η πίεση και η θερμοκρασία στην έξοδο του πρώτου στοιχείου θα είναι ίσες με αυτές στην είσοδο του δευτέρου στοιχείου.

```
# %% connections
fc_pu = connection(fc, 'out1', pu, 'in1')
pu_sp = connection(pu, 'out1', sp, 'in1')

sp_bhe1 = connection(sp, 'out1', bhe1, 'in1')
sp_bhe2 = connection(sp, 'out2', bhe2, 'in1')
sp_bhe3 = connection(sp, 'out3', bhe3, 'in1')
sp_bhe4 = connection(sp, 'out4', bhe4, 'in1')
sp_bhe5 = connection(sp, 'out5', bhe5, 'in1')

bhe1_mg = connection(bhe1, 'out1', mg, 'in1')
bhe2_mg = connection(bhe2, 'out1', mg, 'in2')
bhe3_mg = connection(bhe3, 'out1', mg, 'in3')
bhe4_mg = connection(bhe4, 'out1', mg, 'in4')
bhe5_mg = connection(bhe5, 'out1', mg, 'in5')

mg_cons = connection(mg, 'out1', cons, 'in1')
cons_fc = connection(cons, 'out1', fc, 'in1')

btes.add_conns(fc_pu, pu_sp, sp_bhe1, sp_bhe2, sp_bhe3, sp_bhe4, sp_bhe5, bhe1_mg, bhe2_mg,
bhe3_mg, bhe4_mg, bhe5_mg, mg_cons, cons_fc)
```

Σχήμα 2.13: Διασυνδέσεις αγωγών.

Για την υλοποίηση των υπολογισμών απαιτούνται συνοριακές συνθήκες όπως :

- Η πίεση εισροής να είναι σταθερή.
- Μία προσωρινή τιμή θερμοκρασίας εκροής σε κάθε γεωναλλάκτη.
- Η κατανάλωση θερμότητας στην αντλία θερμότητας να προέρχεται από τους πέντε γεωναλλάκτες.
- Ο κλειστός κύκλος διασφαλίζει ότι η πίεση και η ενθαλπία στην έξοδο της αντλίας θερμότητας είναι ίσες με αυτές στην είσοδο της.

Το σχήμα 2.14 εμφανίζει τα χαρακτηριστικά του ρευστού και τις θερμοκρασίες εκροής για κάθε γεωναλλάκτη για παράδειγμα χρήσης νερού πίεση μίας ατμόσφαιρας με θερμοκρασία εξόδου των πέντε γεωναλλακτών σε βαθμούς Kelvin.

```
## connection parametrization
# system inlet
fc_pu.set_attr(p=1, fluid={'water': 1})

# for BHEs:
# Tout:
bhe1_mg.set_attr(T=289.5)
bhe2_mg.set_attr(T=292)
bhe3_mg.set_attr(T=293)
bhe4_mg.set_attr(T=293)
bhe5_mg.set_attr(T=293)
```

Σχήμα 2.14: Χαρακτηριστικά ρευστού και θερμοκρασία εκροής .

Κεφάλαιο 3

Προσομοίωση δοκιμής θερμικής απόκρισης γήινων εναλλακτών θερμότητας (ΤΡΤ)

Για τον σχεδιασμό ενός συστήματος αβαθούς γεωθερμίας με χρήση γεωεναλλακτών θερμότητας, κρίνεται αναγκαία η γνώση των θερμικών ιδιοτήτων του εδάφους. Οι σημαντικότερες παράμετροι είναι η θερμική αγωγιμότητα και η μέση τιμή της αδιατάρακτης θερμοκρασίας του εδάφους. Αυτές οι παράμετροι είναι ειδικές για κάθε τοποθεσία και εξαρτώνται από διάφορους παράγοντες, όπως η γεωλογία, η επίδραση των υπόγειων υδάτων και η θερμοκρασία των επιφανειακών εδαφών (υψόμετρο πάνω από την επιφάνεια της θάλασσας). Επίσης ο συντελεστής θερμικής αντίστασης της γεώτρησης, ο οποίος περιγράφει την θερμική αντίσταση μεταξύ του τοιχώματος της γεώτρησης και του υγρού αποτελεί απαραίτητη παράμετρο στον σχεδιασμό των γεωεναλλακτών θερμότητας.

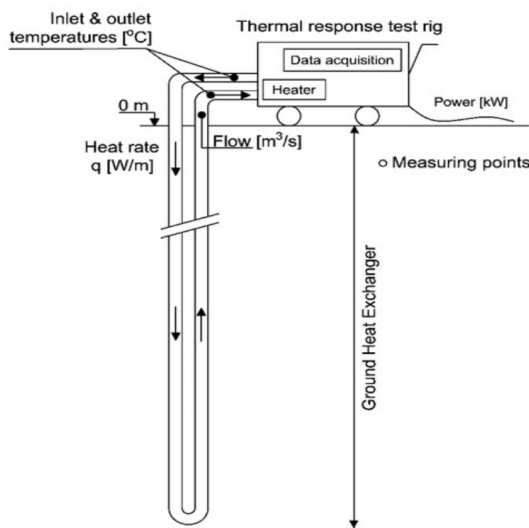
3.1 Προσομοίωση δοκιμής θερμικής απόκρισης και υπολογισμός θερμικών παραμέτρων του εδάφους

Η απευθείας δοκιμή θερμικής απόκρισης (ΤΡΤ) αντιπροσωπεύει μία μέθοδο αξιολόγησης των θερμικών ιδιοτήτων του υπεδάφους [5], οι οποίες είναι απαραίτητες για τον σχεδιασμό

συστημάτων αβαθούς γεωθερμίας με χρήση γεωεναλλακτών θερμότητας. Εναλλακτικά οι μετρήσεις της θερμικής αγωγιμότητας μπορούν να πραγματοποιηθούν σε ένα εργαστήριο σε ειδικά διαμορφωμένα δοκίμια ή και απευθείας με ανιχνευτές βελόνας, όταν η σκληρότητα του δείγματος το επιτρέπει. Όμως στο εργαστήριο η τιμή που μετράται διαφέρει από την πραγματική, καθώς οι συνθήκες, όπως ο κορεσμός και η θερμοκρασία που επικρατούν στο εργαστήριο, δεν αντιστοιχούν στις πραγματικές, και τέλος η μέτρηση δεν αντιπροσωπεύει το σύνολο των στρωμάτων του υπεδάφους.

Εξοπλισμός δοκιμής θερμικής απόκρισης

Υπάρχουν δύο τρόποι λειτουργίας [14] του εξοπλισμού στην δοκιμή θερμικής απόκρισης για την έκχυση ή την εκχύλιση θερμότητας από ή προς τον εξεταζόμενο γεωεναλλάκτη. Αυτό πραγματοποιείται με την κυκλοφορία ενός υγρού, μέσω της γεώτρησης το οποίο είναι θερμότερο κατά την διεργασία της έκχυσης και ψυχρότερο κατά την διεργασία της εκχύλισης από το έδαφος το οποίο το περιβάλει. Η εικόνα (3.1), [25] εμφανίζει μία κλασσική διάταξη εξοπλισμού (TRT).



Σχήμα 3.1: Διάταξη εξοπλισμού δοκιμής θερμικής απόκρισης (TRT) [25].

Αρχή λειτουργίας δοκιμής θερμικής απόκρισης

Αρχικά προσδιορίζεται η αδιατάρακτη θερμοκρασία του εδάφους, με την καταγραφή της θερμοκρασίας στην επιφάνεια της γεώτρησης ή με την αξιολόγηση της θερμοκρασίας του υγρού που κυκλοφορεί στον γεωεναλλάκτη πριν την ενεργοποίηση της ψύξης ή της θέρμανσης [9]. Με τον όρο θερμική απόκριση ορίζεται η μετρούμενη αλλαγή στην μέση θερμοκρασία των θερμοκρασιών εισόδου και εξόδου του υγρού στην πάροδο του χρόνου. Οι υπερτιθέμενες διακυμάνσεις της θερμοκρασίας συνήθως εξαρτώνται από την μεταβαλλόμενη θερμοκρασία του αέρα στο περιβάλλον ή τις αντίστοιχες διακυμάνσεις στην παροχή ισχύος στον ηλεκτρικό θερμαντήρα και στην αντλία κυκλοφορίας. Επομένως η θερμοκρασία του αέρα και η κατανάλωση ισχύος μετρώνται συχνά για να διαχωριστούν τέτοιους είδους διαταραχές κατά την αξιολόγηση. Αξίζει να σημειωθεί ότι αρκετοί εξοπλισμοί αντισταθμίζουν αυτές τις διακυμάνσεις χρησιμοποιώντας ένα χειριστήριο για να παρέχουν σταθερή ισχύ.

Η κατανομή της διαφοράς θερμοκρασίας ΔT μεταξύ της μέσης θερμοκρασίας του υγρού του γεωεναλλάκτη T_f και της θερμοκρασίας του τοιχώματος της γεώτρησης T_b μπορεί να μοντελοποιηθεί από την παρακάτω μαθηματική συνάρτηση ως προς την ακτίνα της γεώτρησης και το χρόνο [15] [16] :

$$\Delta T(r_b, t) = \frac{q}{4\pi\lambda} \int_{\frac{r_b^2}{4\alpha t}}^{\infty} \frac{e^{-\beta^2}}{\beta} d\beta = \frac{q}{4\pi\lambda} E_1 \left[\frac{r_b^2}{4\alpha t} \right] \quad (3.1)$$

όπου

- $\Delta T = T_f - T_b$ Διαφορά θερμοκρασίας.
- α : Θερμική διάχυση (m^2/sec).
- β : Σταθερά ολοκλήρωσης .
- t : Χρόνος (sec).
- λ : Θερμική αγωγιμότητα (W/mK).

- q : Ρυθμός έγχυσης θερμότητας (W/m).
- r_b : Ακτίνα γεώτρησης (m).

Η συνάρτηση E_1 στην παραπάνω σχέση μπορεί να προσεγγιστεί ως

$$E_1 \left[\frac{r_b^2}{4\alpha t} \right] = -\gamma - \ln \left[\frac{r_b^2}{4\alpha t} \right] - \sum_{n=1}^{\infty} (-1)^n \frac{\left(\frac{r_b^2}{4\alpha t} \right)^n}{n \cdot n!} \cong \ln \left[\frac{4\alpha t}{r_b^2} \right] - \gamma \quad (3.2)$$

όπου $\gamma = 0.5772$ η σταθερά Euler.

Το μέγιστο σφάλμα προσέγγισης της συνάρτησης E_1 θα είναι μικρότερο του 10% για τις χρονικές στιγμές t που ικανοποιούν τη σχέση $\frac{\alpha t}{r_b^2} \geq 5$ ενώ μικρότερο του 2.5% για αυτές με $\frac{\alpha t}{r_b^2} \geq 20$. Σφάλμα προσέγγισης μικρότερο του 10% είναι συνήθως αποδεκτό, οπότε επιλέγονται οι χρονικές στιγμές που ικανοποιούν τη σχέση [15]

$$\frac{\alpha t}{r_b^2} \geq 5 \quad (3.3)$$

με $\alpha = \frac{\lambda}{C_p}$ για C_p την ειδική θερμοχωρητικότητα εδάφους σε J/Km^3 .

Η θερμοκρασία του υγρού που ρέει στο εσωτερικό του γεωεναλλάκτη μπορεί να υπολογιστεί θεωρώντας ότι η γραμμική πηγή θερμότητας βρίσκεται στην ακτίνα της γεώτρησης και προσθέτοντας την επίδραση της θερμικής αντίστασης μεταξύ του τοιχώματος της γεώτρησης και του υγρού αυτού. Οπότε η θερμοκρασία του υγρού ως συνάρτηση του χρόνου μπορεί να περιγραφεί με την παρακάτω εξίσωση :

$$\Delta T(t) = T_f(t) - T_b(t) = R_b \cdot q \Rightarrow T_f(t) = \frac{q}{4\pi\lambda} \left[\ln\left(\frac{4\alpha t}{r_b^2}\right) - \gamma \right] + T_g + R_b \cdot q \quad (3.4)$$

όπου T_g η αδιατάρακτη θερμοκρασία εδάφους, R_b η θερμική αντίσταση μετρημένη σε $(K, m/W)$, για T_f τον αριθμητικό μέσο όρο των θερμοκρασιών εισόδου και εξόδου του υγρού του γεωεναλλάκτη, δηλαδή $T_f = \frac{T_{in} + T_{out}}{2}$.

Η παραπάνω εξίσωση μπορεί να γραφτεί σε γραμμική μορφή ως εξής :

$$T_f(t) = \frac{q}{4\pi\lambda} \cdot \ln(t) + q \left[\frac{1}{4\pi\lambda} \left(\ln\left(\frac{4\alpha}{r_b^2}\right) - \gamma \right) + R_b \right] + T_g \quad (3.5)$$

και ακόμα σε πιο απλή μορφή ως

$$T_f(t) = k \cdot \ln(t) + m. \quad (3.6)$$

Από το διάγραμμα του μέσου όρου θερμοκρασίας ως προς το λογάριθμο του χρόνου θα έχει κλίση

$$k = \frac{q}{4\pi\lambda} \Rightarrow \lambda = \frac{q}{4\pi k} \quad (3.7)$$

ενώ η παράμετρος

$$m = q \left[\frac{1}{4\pi\lambda} \left(\ln \left(\frac{4\alpha}{r_b^2} \right) - \gamma \right) + R_b \right] + T_g. \quad (3.8)$$

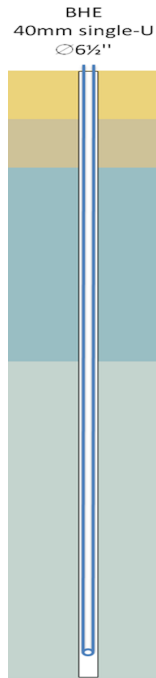
Η εξίσωση (3.6) της ευθείας της μέσης τιμής των θερμοκρασιών γεωναλλάκτη ως προς τον λογάριθμο του χρόνου εκτέλεσης του TRT μπορεί να κατασκευαστεί ως την ευθεία των ελαχίστων τεραγώνων [16] από το γράφημα των πειραματικών μετρήσεων των θερμοκρασιών γεωναλλάκτη ως προς τον λογάριθμο του χρόνου εκτέλεσης του TRT. Θα πρέπει να σημειωθεί ότι η κατασκευή της ευθείας των ελαχίστων τετραγώνων θα κατασκευαστεί με τη χρήση των δεδομένων που ικανοποιούν τη σχέση (3.3). Έτσι με την εύρεση της θερμικής αγωγιμότητας λ [17], ο υπολογισμός της θερμικής αντίστασης R_b μεταξύ του υγρού του γεωναλλάκτη και του τοιχώματος της γεώτρησης του θα δίνεται από την παρακάτω σχέση

$$R_b = \frac{T_f(t) - T_g}{q} - \frac{1}{4\pi\lambda} \left(\ln \left(\frac{4\alpha}{r_b^2} \right) - \gamma \right). \quad (3.9)$$

Οι τέσσερις διαφορετικού τύπου γήινοι εναλλάκτες θερμότητας οι οποίοι αποτελούν το σύστημα γεωναλλακτών στο ΚΑΠΕ, μελετήθηκαν ξεχωριστά για την προσομοίωση της δοκιμή θερμικής απόκρισης (TRT). Παρακάτω παρουσιάζονται τα αποτελέσματα το προσομοιώσεων που πραγματοποιήθηκαν για τον κάθε γεωναλλάκτη του συστήματος στο ΚΑΠΕ.

3.1.1 Δοκιμή θερμικής απόκρισης (TRT) γεωεναλλάκτη τύπου 1U

Ο γήινος εναλλάκτης θερμότητας τύπου 1U όπως φαίνεται στο σχήμα (3.2), [4] προσομοιώθηκε ακολουθώντας την παρακάτω διαδικασία [Παράρτημα Γ]:



Σχήμα 3.2: Γεωεναλλάκτης τύπου 1U σχέδιο ΚΑΠΕ [4].

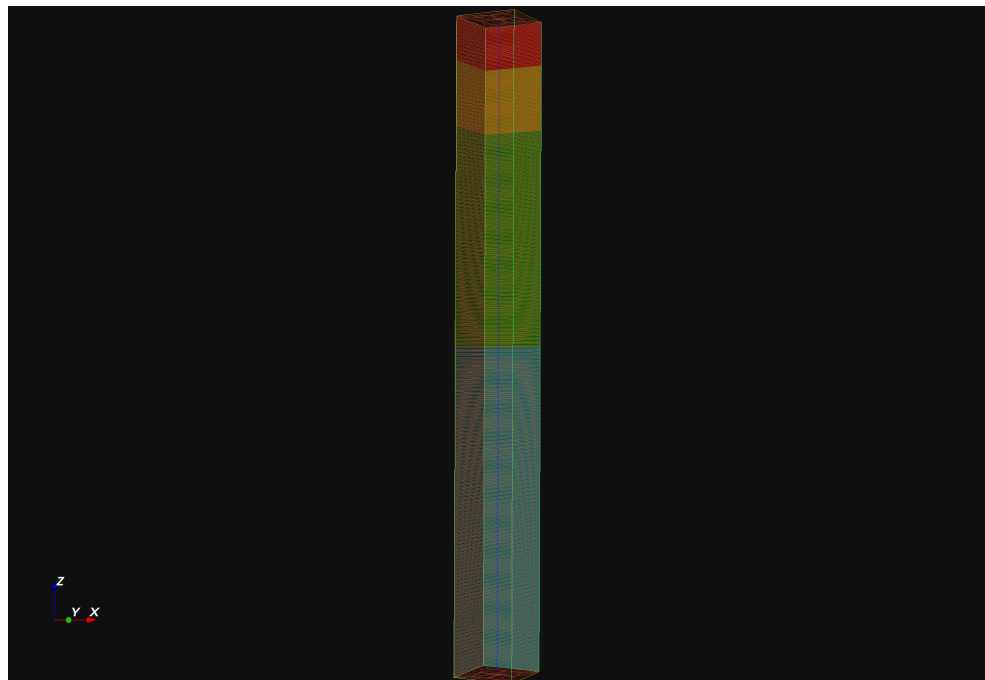
1. Δημιουργία πεπερασμένων στοιχείων με χρήση του προγράμματος (BHE SETUP TOOL) (σχήμα 3.3).
2. Δημιουργία γεωμετρίας και διακριτοποίησης γεωεναλλάκτη με χρήση του λογισμικού DataExplorer (σχήμα 3.4, 3.5).
3. Με χρήση του λογισμικού Matlab [18] κατασκευάστηκαν τα παρακάτω γραφήματα των σχημάτων 3.6 και 3.7 και δημιουργήθηκε το μοντέλο υπολογισμών θερμικών παραμέτρων του εδάφους, όπως περιγράφεται στην προηγούμενη παράγραφο (3.1).
4. Οι τιμές των θερμικών παραμέτρων του εδάφους από την προσομοίωση της δοκιμής θερμικής απόκρισης παρουσιάζονται στον επόμενο πίνακα.

```

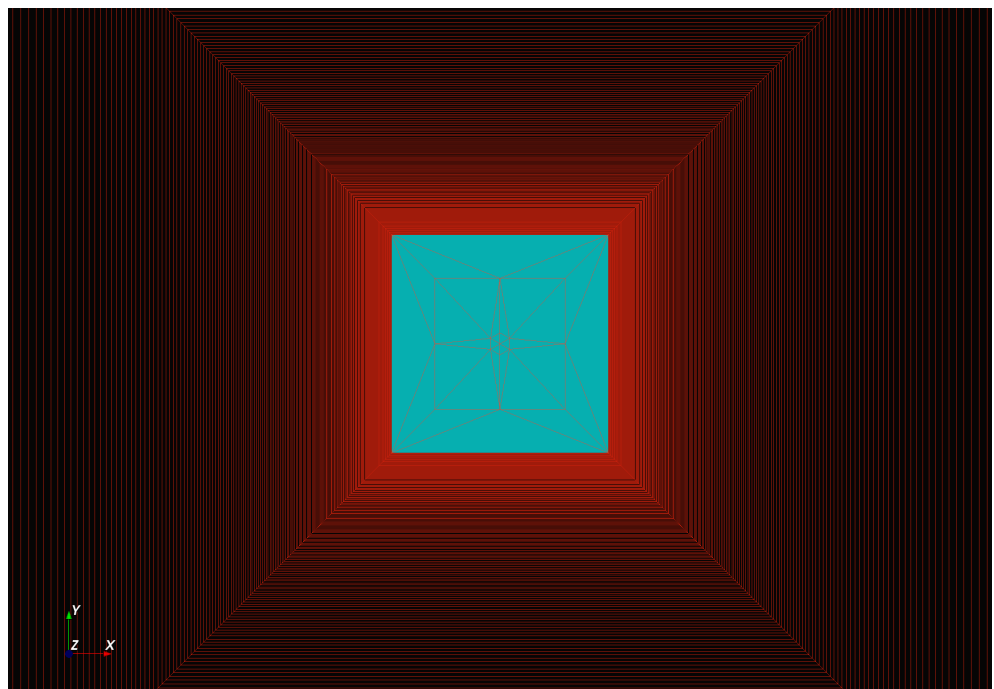
WIDTH 10
LENGTH 10
DEPTH 120
BOX 2 6 6
ELEM_SIZE 5 30
// material_group #_of_elements thickness_of_elements
LAYER 0 32 0.25
LAYER 1 48 0.25
LAYER 2 160 0.25
LAYER 3 240 0.25
// BHE# x      y      z_top z_bottom radius
BHE 0      0      5      0     -119    0.08255

```

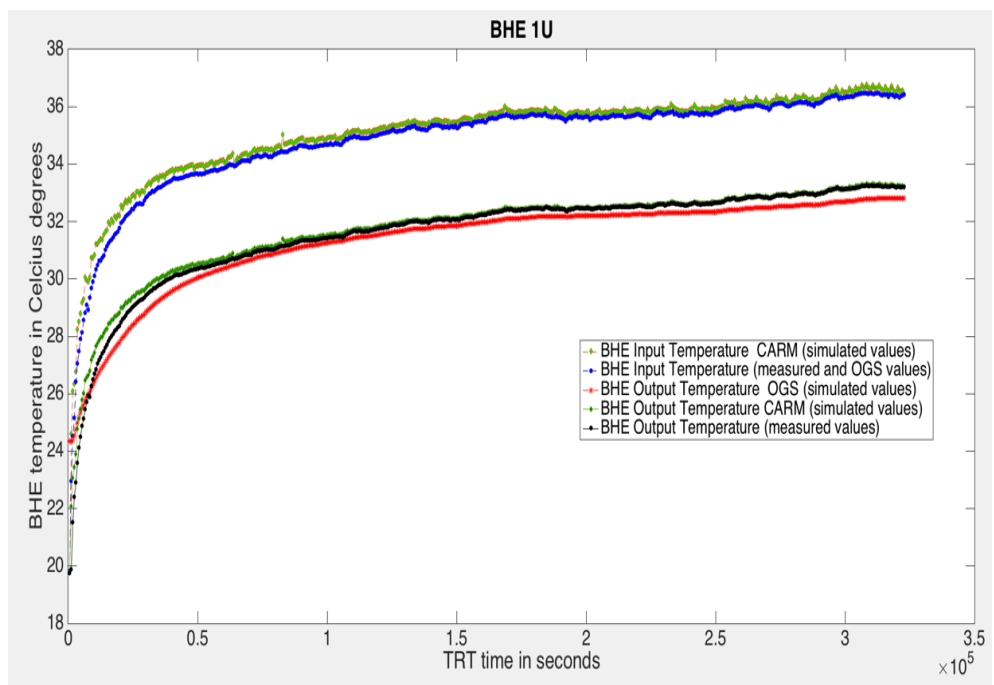
Σχήμα 3.3: Αρχείο εισόδου για την δημιουργία των πεπερασμένων στοιχείων στο πρόγραμμα BHE SETUP TOOL.



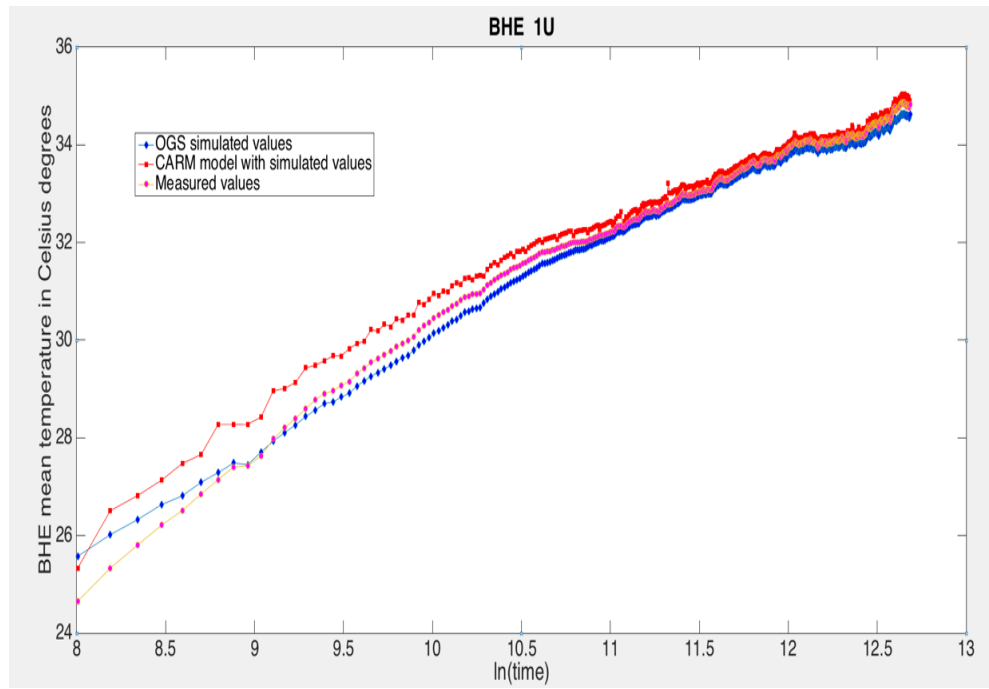
Σχήμα 3.4: Γεωμετρία γεωεναλλάκτη τύπου 1U (DataExplorer).



Σχήμα 3.5: Διακρητοποίηση γεωεναλλάκτη τύπου 1U (DataExplorer).



Σχήμα 3.6: Διάγραμμα θερμοκρασίας εισόδου-εξόδου σε συνάρτηση με τον χρόνο γεωεναλλάκτη τύπου 1U

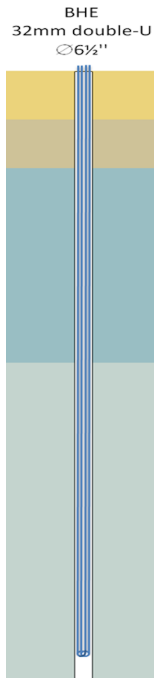


Σχήμα 3.7: Διάγραμμα μέσης θερμοκρασίας σε συνάρτηση με τον χρόνο σε λογαριθμική κλίμακα γεωεναλλάκτη τύπου 1U

Πίνακας θερμικών παραμέτρων εδάφους		
Γεωεναλλάκτης τύπου 1U	Θερμική αγωγιμότητα (W/mK)	Συντελεστής θερμικής αντίστασης (mK/W)
KAPE model with measured values	3.1960	0.1300
LS model with measured values	3.1500	0.1191
LS model with CARM simulated values	3.3407	0.1261
LS model with OpenGeoSys simulated values	3.1396	0.1160

3.1.2 Δοκιμή θερμικής απόκρισης (TRT) γεωεναλλάκτη τύπου 2U

Ο γήινος εναλλάκτης θερμότητας τύπου 2U όπως φαίνεται στο σχήμα (3.8), [4] προσομοιώθηκε ακολουθώντας την παρακάτω διαδικασία [Παράρτημα Δ] :



Σχήμα 3.8: Γεωεναλλάκτης τύπου 2U σχέδιο ΚΑΠΕ [4].

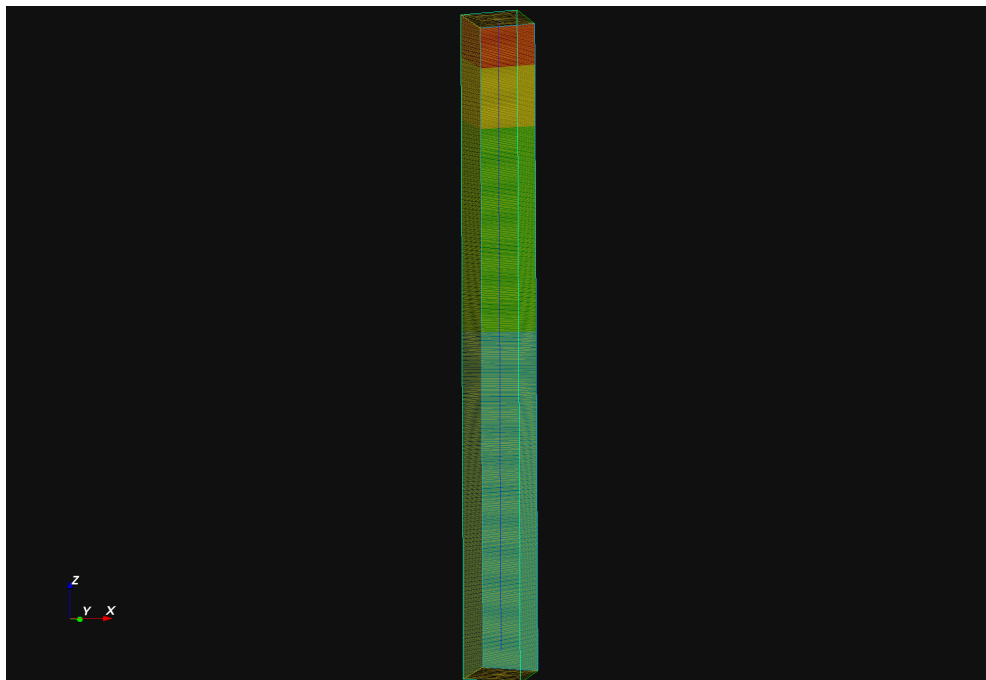
1. Δημιουργία πεπερασμένων στοιχείων με χρήση του προγράμματος (BHE SETUP TOOL) (σχήμα 3.9).
2. Δημιουργία γεωμετρίας και διακριτοποίησης γεωεναλλάκτη με χρήση του λογισμικού DataExplorer (σχήμα 3.10, 3.11).
3. Με χρήση του λογισμικού Matlab κατασκευάστηκαν τα παρακάτω γραφήματα των σχημάτων 3.12 και 3.13 και δημιουργήθηκε το μοντέλο υπολογισμών θερμικών παραμέτρων του εδάφους, όπως ορίζεται στην προηγούμενη παράγραφο (3.1).
4. Οι τιμές των θερμικών παραμέτρων του εδάφους από την προσομοίωση της δοκιμής θερμικής απόκρισης παρουσιάζονται στον επόμενο πίνακα.

```

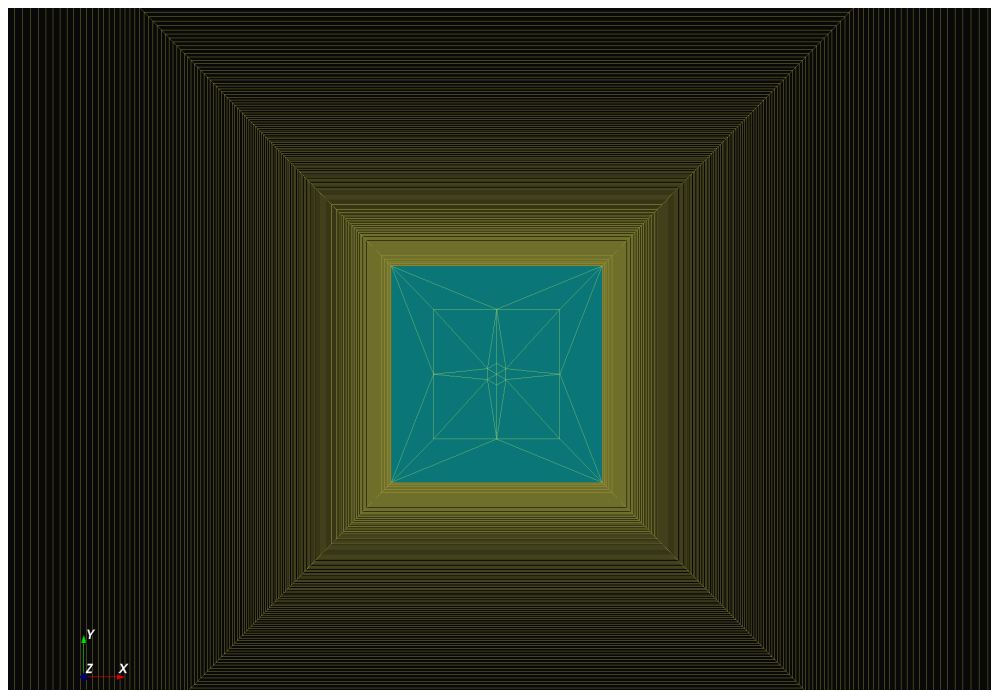
WIDTH 10
LENGTH 10
DEPTH 125.5
BOX 2 6 6
ELEM_SIZE 5 30
// material_group #_of_elements thickness_of_elements
LAYER 0 32 0.25
LAYER 1 48 0.25
LAYER 2 160 0.25
LAYER 3 262 0.25
// BHE# x y z_top z_bottom radius
BHE 0 0 5 0 -121 0.08255

```

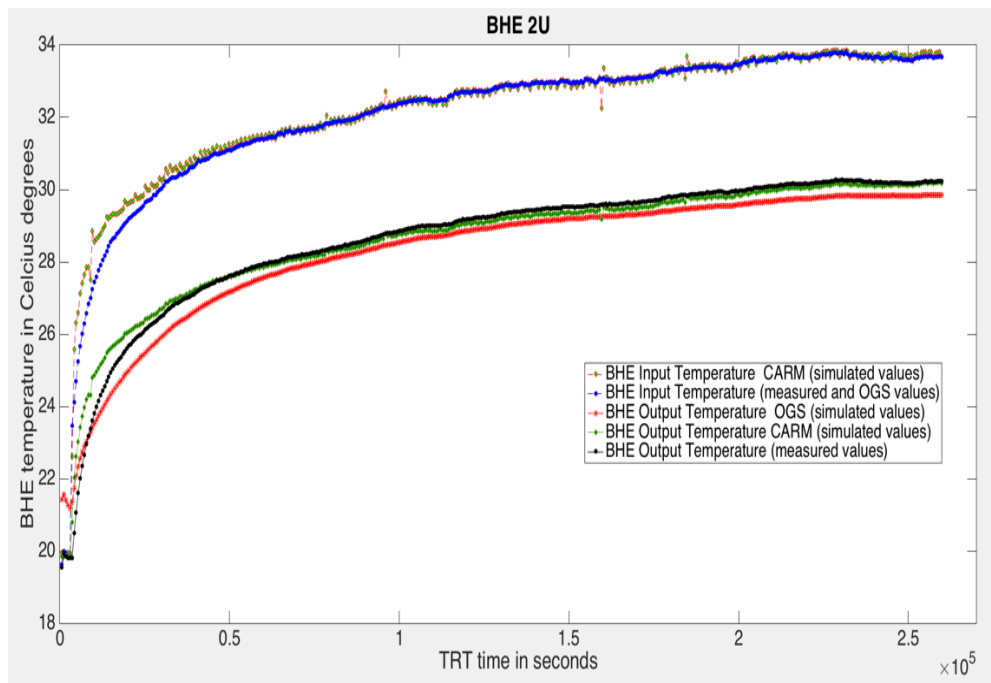
Σχήμα 3.9: Αρχείο εισόδου για την δημιουργία των πεπερασμένων στοιχείων στο πρόγραμμα BHE SETUP TOOL.



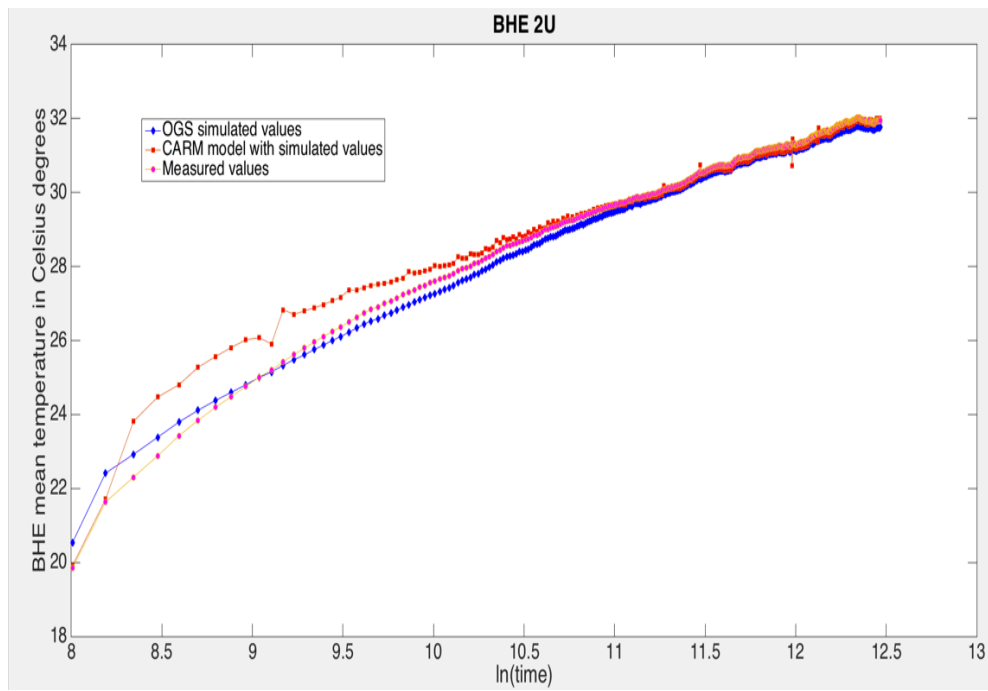
Σχήμα 3.10: Γεωμετρία γεωεναλλάκτη τύπου 2U (DataExplorer).



Σχήμα 3.11: Διακρητοποίηση γεωεναλλάκτη τύπου 2U (DataExplorer).



Σχήμα 3.12: Διάγραμμα Θερμοκρασίας εισόδου-εξόδου σε συνάρτηση με τον χρόνο γεωεναλλάκτη τύπου 2U.

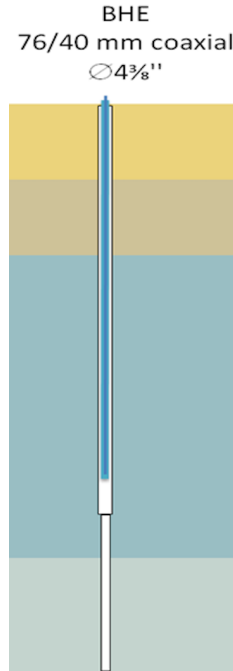


Σχήμα 3.13: Διάγραμμα μέσης θερμοκρασίας σε συνάρτηση με τον χρόνο σε λογαριθμική κλίμακα γεωεναλλάκτη τύπου 2U.

Πίνακας θερμικών παραμέτρων εδάφους (πραγματικότητας-προσομοίωσης)		
Γεωεναλλάκτης τύπου 2U	Θερμική αγωγιμότητα (W/mK)	Συντελεστής θερμικής αντίστασης (mK/W)
KAPIE model with measured values	2.9650	0.0730
LS model with measured values	2.8524	0.0588
LS model with CARM simulated values	2.9667	0.0615
LS model with OpenGeoSys simulated values	2.8229	0.0549

3.1.3 Δοκιμή θερμικής απόκρισης (TRT) γεωεναλλάκτη ομοαξονικού τύπου

Ο γήινος εναλλάκτης θερμότητας ομοαξονικού τύπου όπως φαίνεται στο σχήμα (3.14), [4] προσομοιώθηκε ακολουθώντας την παρακάτω διαδικασία [Παράρτημα Ε'] :



Σχήμα 3.14: Γεωεναλλάκτης ομοαξονικού τύπου σχέδιο ΚΑΠΕ [4].

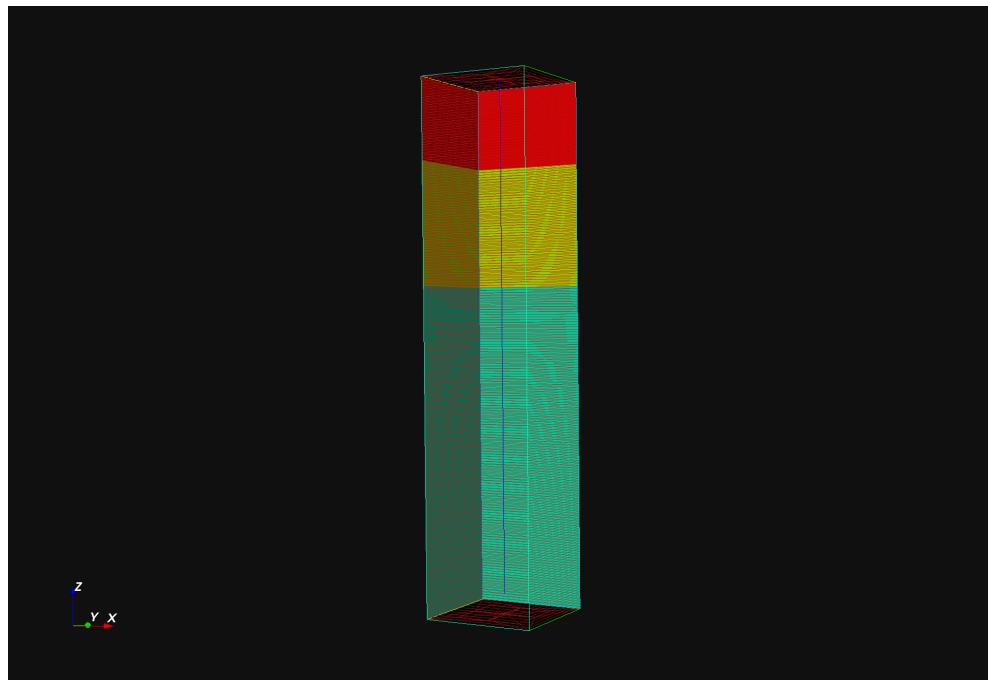
1. Δημιουργία πεπερασμένων στοιχείων με χρήση του προγράμματος (BHE SETUP TOOL) (σχήμα 3.15).
2. Δημιουργία γεωμετρίας και διακριτοποίησης γεωεναλλάκτη με χρήση του λογισμικού DataExplorer (σχήμα 3.16, 3.17).
3. Με χρήση του λογισμικού Matlab κατασκευάστηκαν τα παρακάτω γραφήματα των σχημάτων 3.18 και 3.19 και δημιουργήθηκε το μοντέλο υπολογισμών θερμικών παραμέτρων του εδάφους, όπως ορίζεται στην προηγούμενη παράγραφο (3.1).
4. Οι τιμές των θερμικών παραμέτρων του εδάφους από την προσομοίωση της δοκιμής θερμικής απόκρισης παρουσιάζονται στον επόμενο πίνακα.

```

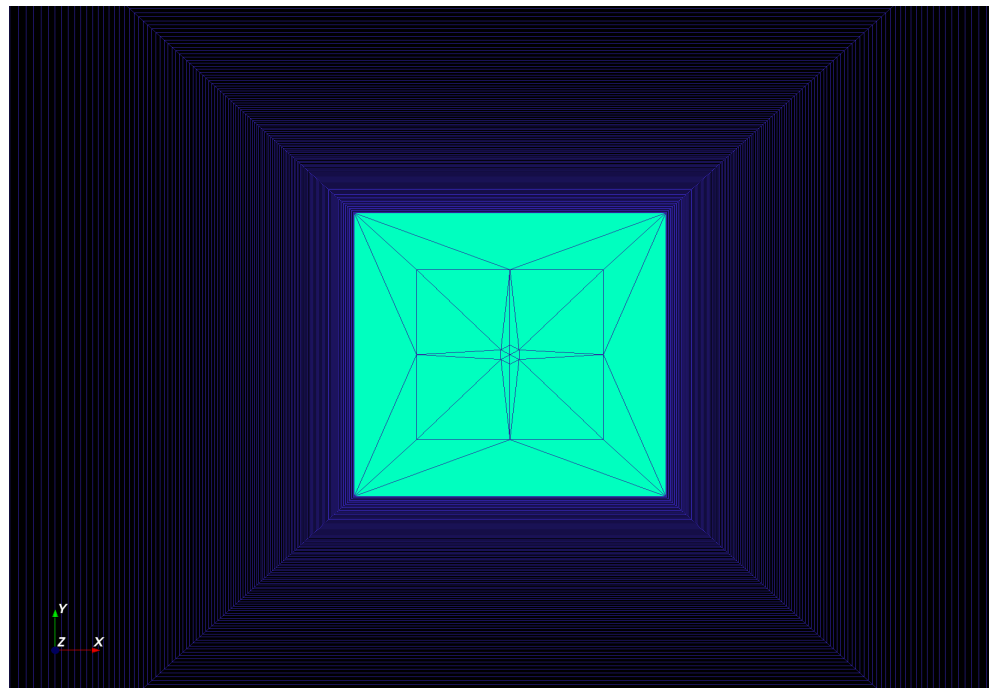
WIDTH 10
LENGTH 10
DEPTH 52
BOX 2 6 6
ELEM_SIZE 5 30
// material_group #_of_elements thickness_of_elements
LAYER 0 32 0.25
LAYER 1 48 0.25
LAYER 2 128 0.25
// BHE# x      y      z_top z_bottom radius
BHE 0      0      5     0    -50    0.055

```

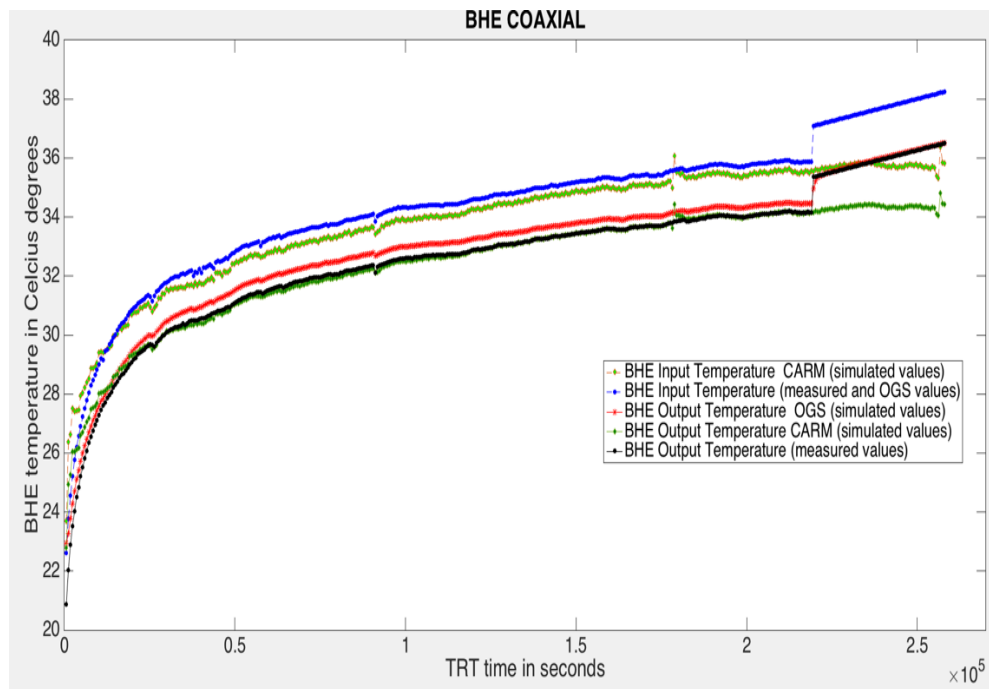
Σχήμα 3.15: Αρχείο εισόδου για την δημιουργία των πεπερασμένων στοιχείων στο πρόγραμμα BHE SETUP TOOL.



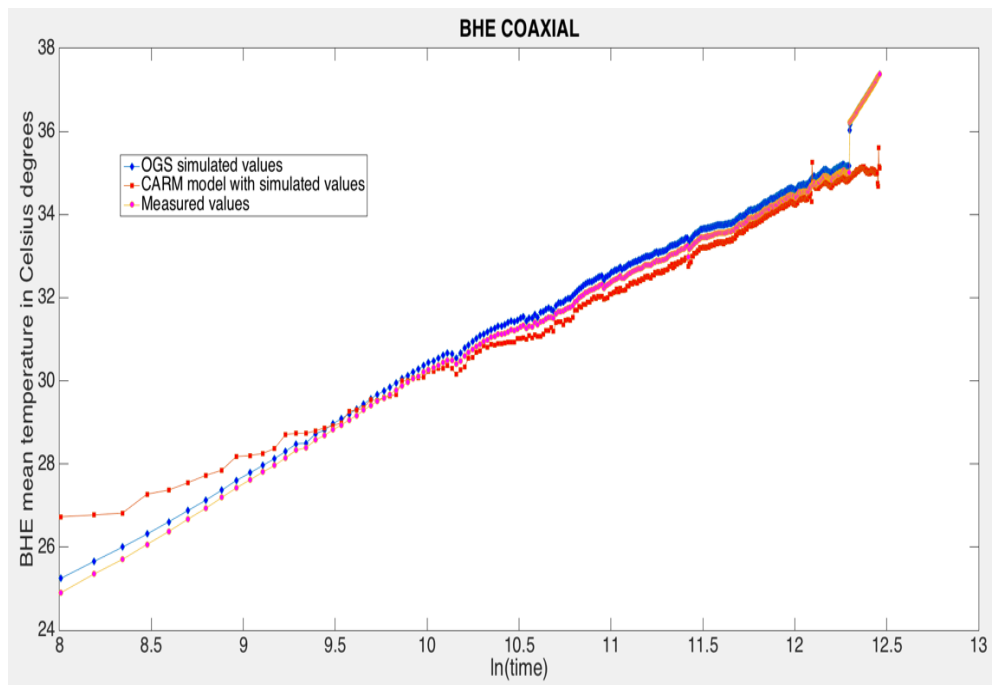
Σχήμα 3.16: Γεωμετρία γεωεναλλάκτη ομοαξονικού τύπου (DataExplorer).



Σχήμα 3.17: Διακρητοποίηση γεωεναλλάκτη ομοαξονικού τύπου (DataExplorer).



Σχήμα 3.18: Διάγραμμα Θερμοκρασίας εισόδου-εξόδου σε συνάρτηση με τον χρόνο γεωεναλλάκτη ομοαξονικού τύπου.

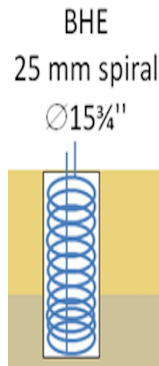


Σχήμα 3.19: Διάγραμμα μέσης θερμοκρασίας σε συνάρτηση με τον χρόνο σε λογαριθμική κλίμακα γεωεναλλάκτη ομοαξονικού τύπου

Πίνακας θερμικών παραμέτρων εδάφους (πραγματικότητας-προσομοίωσης)			
Γεωεναλλάκτης ομοαξονικού τύπου	Θερμική αγωγιμότητα (W/mK)	Συντελεστής θερμικής αντίστασης (mK/W)	
ΚΑΠΙΕ model with measured values	2.6430	0.0500	
LS model with measured values	2.4568	0.0378	
LS model with CARM simulated values	2.4298	0.0336	
LS model with OpenGeoSys simulated values	2.5482	0.0392	

3.1.4 Δοκιμή θερμικής απόκρισης (TRT) γεωεναλλάκτη ελικοειδούς τύπου

Ο γήινος εναλλάκτης θερμότητας τύπου ελικοειδούς όπως φαίνεται στο σχήμα (3.20), [4] προσομοιώθηκε σαν γεωεναλλάκτης τύπου 1U, καθώς το λογισμικό δεν έχει αναπτύξει κώδικα για αυτού του τύπου τον γεωεναλλάκτη με κάποιες παραδοχές και ακολουθώντας την παρακάτω διαδικασία [Παράρτημα ΣΤ'] :



Σχήμα 3.20: Γεωεναλλάκτης ελικοειδούς τύπου στο ΚΑΠΕ [4].

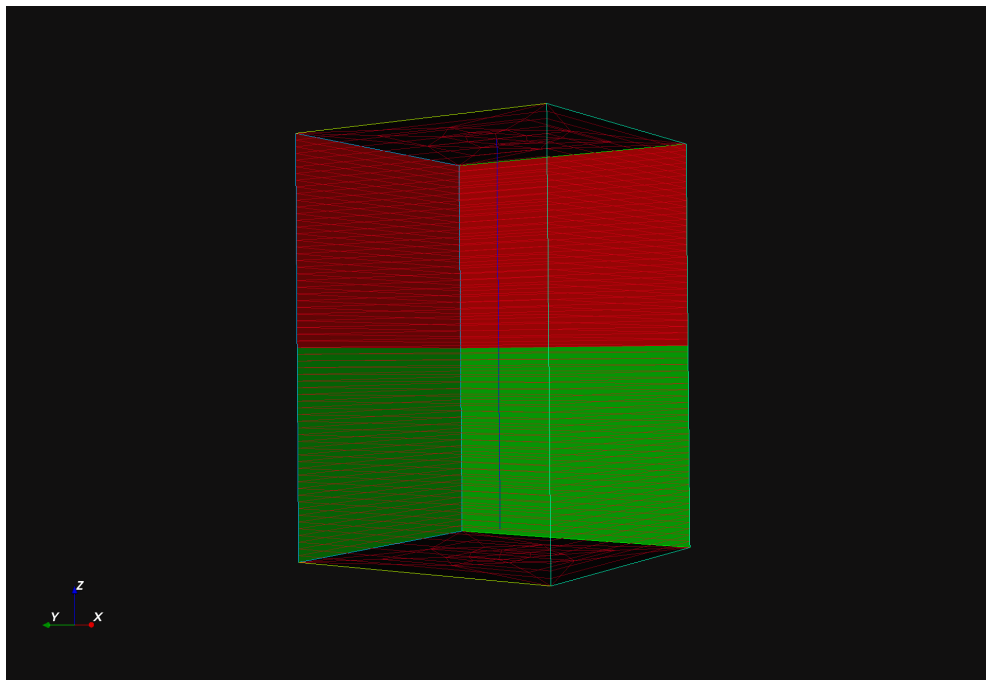
1. Δημιουργία πεπερασμένων στοιχείων με χρήση του προγράμματος (BHE SETUP TOOL) (σχήμα 3.21).
2. Δημιουργία γεωμετρίας και διακριτοποίησης γεωεναλλάκτη με χρήση του λογισμικού DataExplorer (σχήμα 3.22, 3.23).
3. Με χρήση του λογισμικού Matlab κατασκευάστηκαν τα παρακάτω γραφήματα των σχημάτων 3.24 και 3.25 και δημιουργήθηκε το μοντέλο υπολογισμών θερμικών παραμέτρων του εδάφους, όπως ορίζεται στην προηγούμενη παράγραφο (3.1).
4. Οι τιμές των θερμικών παραμέτρων του εδάφους από την προσομοίωση της δοκιμής θερμικής απόκρισης παρουσιάζονται στον επόμενο πίνακα.

```

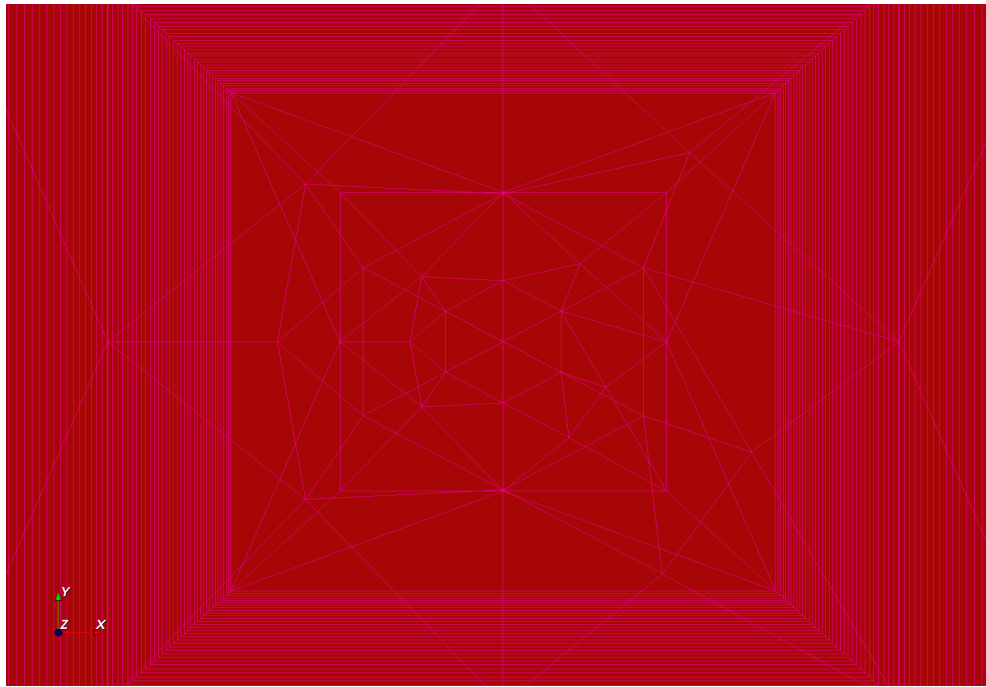
WIDTH 10
LENGTH 10
DEPTH 16
BOX 2 6 6
ELEM_SIZE 5 30
// material_group #_of_elements thickness_of_elements
LAYER 0 32 0.25
LAYER 1 32 0.25
// BHE# x      y      z_top z_bottom radius
BHE 0      0      5      0     -15    0.20

```

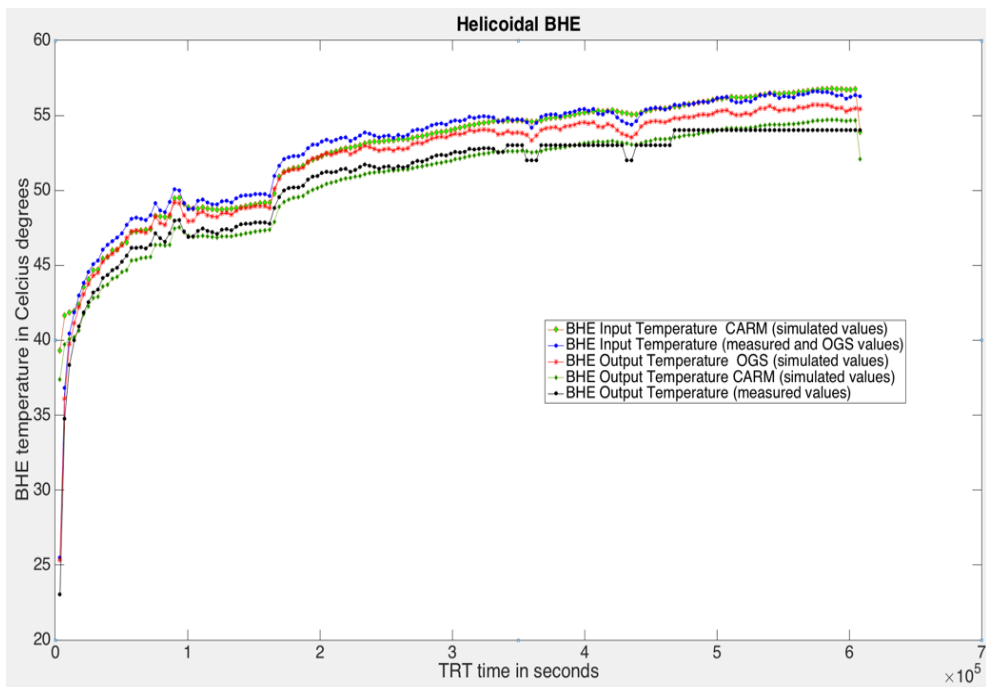
Σχήμα 3.21: Αρχείο εισόδου για την δημιουργία των πεπερασμένων στοιχείων στο πρόγραμμα BHE SETUP TOOL.



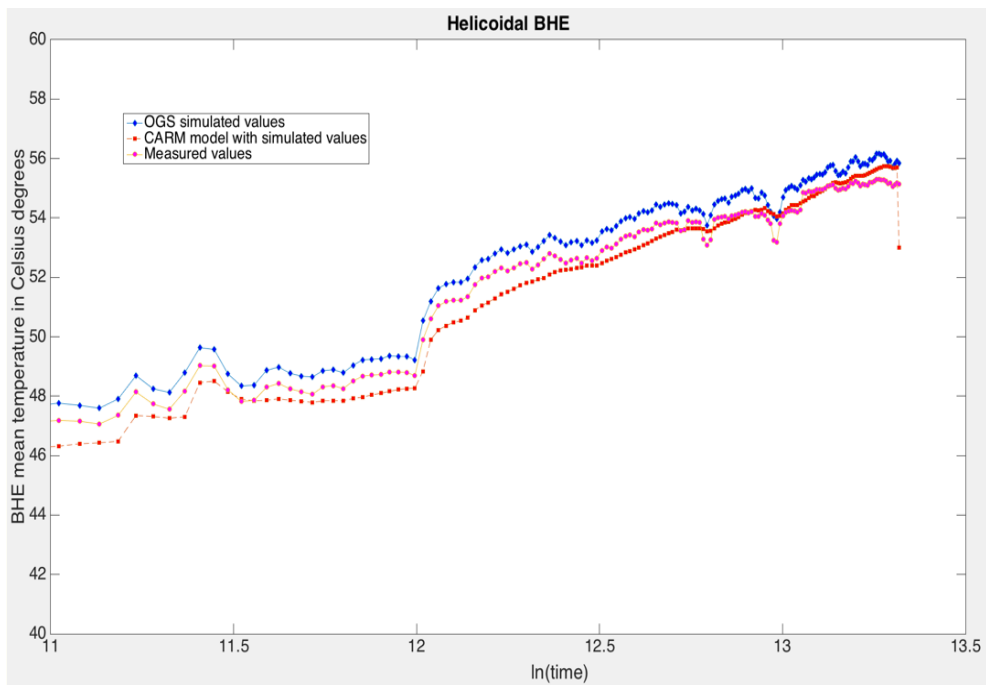
Σχήμα 3.22: Γεωμετρία γεωεναλλάκτη τύπου ελικοειδούς (DataExplorer).



Σχήμα 3.23: Διακριτοποίηση γεωεναλλάκτη ελικοειδούς τύπου (DataExplorer).



Σχήμα 3.24: Διάγραμμα Θερμοκρασίας εισόδου-εξόδου σε συνάρτηση με τον χρόνο γεωεναλλάκτη ελικοειδούς τύπου.



Σχήμα 3.25: Διάγραμμα μέσης θερμοκρασίας σε συνάρτηση με τον χρόνο σε λογαριθμική κλίμακα γεωεναλλάκτη ελικοειδούς τύπου

Πίνακας θερμικών παραμέτρων εδάφους (πραγματικότητας-προσομοίωσης)		
Γεωεναλλάκτης τύπου ελικοειδούς	Θερμική αγωγιμότητα (W/mK)	Συντελεστής θερμικής αντίστασης (mK/W)
KAPIE model with measured values	3.643	0.108
LS model with measured values	3.2989	0.0986
LS model with CARM simulated values	2.9378	0.0901
LS model with OpenGeoSys simulated values	3.2612	0.1016

3.2 Προσομοίωση συστήματος γεωθερμίας σε πραγματικές συνθήκες

Για την προσομοίωση του συστήματος αβαθούς γεωθερμίας του κτιρίου γραφείων του ΚΑΠΕ χρησιμοποιήθηκαν δεδομένα από τις παρακάτω πηγές :

1. Γεωγραφική θέση γήινων εναλλακτών θερμότητας και αποστάσεις μεταξύ των γεωτρήσεων (σχήμα 3.26), [4].

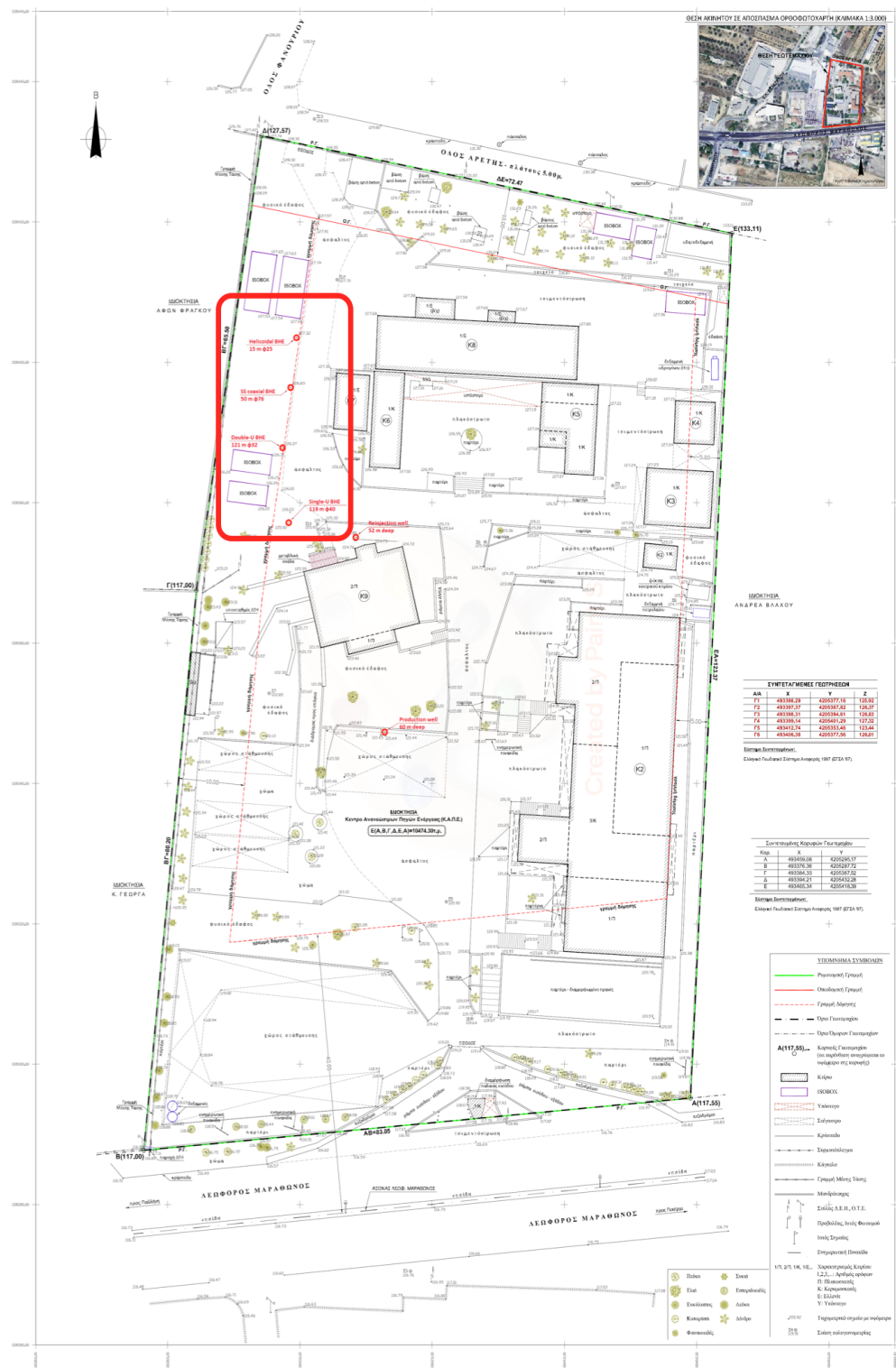
Πίνακας συντεταγμένων γεωτρήσεων στο Ελληνικό γεωδαιτικό σύστημα αναφοράς 1987 (ΕΓΣΑ'87)			
ID	X	Y	Z
Γ1(1U)	493398.291	4205377.16	125.92
Γ2(2U)	493397.37	4205387.82	126.37
Γ3(Ομοαξονικός)	493398.31	4205394.61	126.83
Γ4(Ελικοειδής)	493399.14	4205401.29	127.32

Αποστάσεις μεταξύ των γεωτρήσεων	
Γεωτρήσεις (ID)	Απόσταση (m)
Γ1Γ2	10.6996262
Γ2Γ3	6.85475747
Γ3Γ4	6.73136687

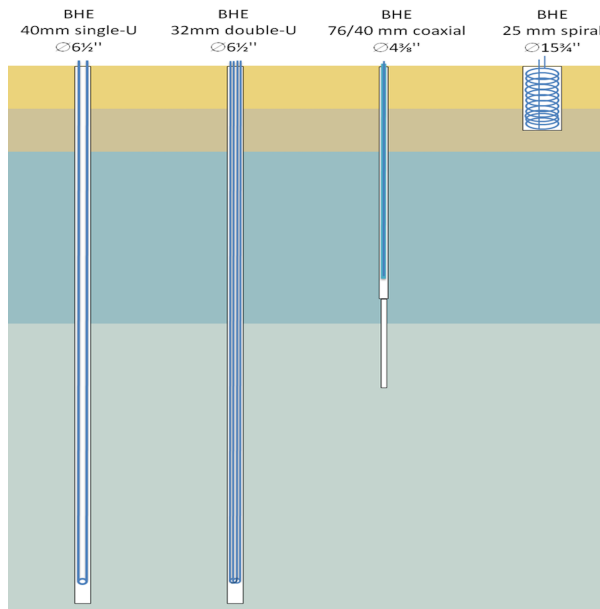
2. Γεωλογικά - εδαφολογικά χαρακτηριστικά [10], τα οποία είναι εισάγονται σε βασικές παραμέτρους του λογισμικού OpenGeoSys (σχήμα 3.27). Ο παρακάτω πίνακας περιλαμβάνει τα εδαφολογικά χαρακτηριστικά του υπεδάφους.

Εδαφολογικά χαρακτηριστικά περιοχής					
Είδος εδάφους	Πάχος στρώματος (m)	Θερμοχωρητικότητα (J/KgK)	Πυκνότητα (Kg/m^3)	Θερμική αγωγιμότητα (W/mK)	Πορώδες (%)
Dry Clay	8	1600	2100	1	40
Wet Clay	12	3400	1200	3.4	20
Grey Clay	40	2500	2700	2.6	17
Sandstone	65	750	2680	2.965	10

3. Οι διαστάσεις των γεωτρήσεων οι οποίες κρίνονται απαραίτητες κατά την διαδικασία δημιουργίας της γεωμετρίας και της διακριτοποίησης των γεωεναλλακτών θερμότητας του συστήματος παρουσιάζονται στον παρακάτω πίνακα.



Σχήμα 3.26: Συστήμα γεωεναλλακτών κάτοψη - σχέδιο ΚΑΠΕ [4].



Σχήμα 3.27: Συστήμα γεωεναλλακτών σχέδιο ΚΑΠΕ [4].

Χαρακτηριστικά γεωτρήσεων		
Τύπος γεωεναλλάκτη	Ακτίνα γεώτρησης (m)	Βάθος γεώτρησης (m)
1U	0.1651	119
2U	0.1651	121
Ομοαξονικός	0.110	50
Ελικοειδής	0.40005	15

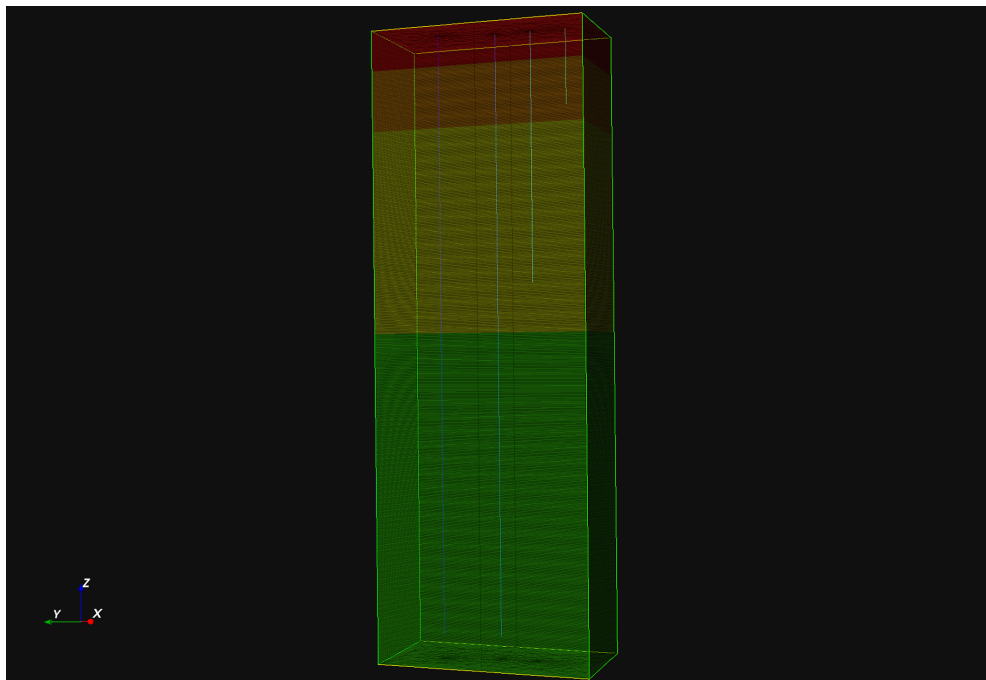
Τα αρχεία γεωμετρίας και διακριτοποίησης τα οποία δημιουργήθηκαν με την χρήση των προγραμμάτων DataExplorer και (BHE SETUP TOOL) παρουσιάζονται στα σχήματα 3.28 – 3.30:

```

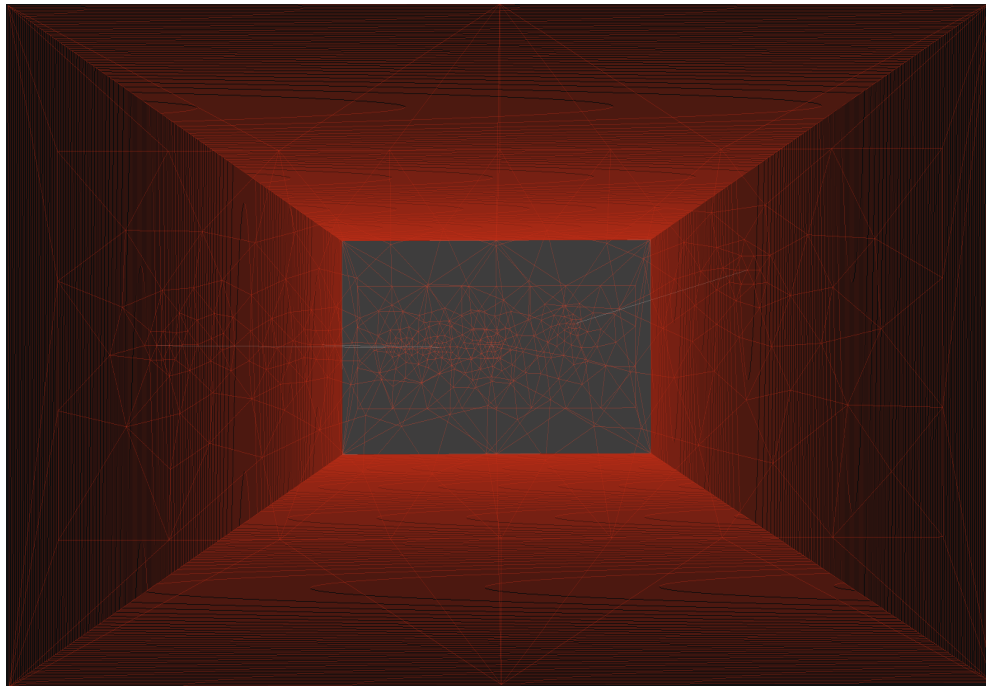
WIDTH 21
LENGTH 40
DEPTH 125.5
BOX 2 36 12
ELEM_SIZE 5 30
// material_group #_of_elements thickness_of_elements
LAYER 0 32 0.25
LAYER 1 48 0.25
LAYER 2 160 0.25
LAYER 3 262 0.25
// BHE# x y z_top z_bottom radius
BHE 0 0 6.023 0 -15 0.200025
BHE 1 0 12.7543 0 -50 0.0555625
BHE 2 0 19.609 0 -121 0.08255
BHE 3 -2.2634 30.0664 0 -121 0.08255

```

Σχήμα 3.28: Αρχείο εισόδου για την δημιουργία των πεπερασμένων στοιχείων στο πρόγραμμα BHE SETUP TOOL.



Σχήμα 3.29: Γεωμετρία συστήματος γεωεναλλακτών (DataExplorer).



Σχήμα 3.30: Διακρητοποίηση συστήματος γεωεναλλακτών (DataExplorer).

4. Τα τεχνικά χαρακτηριστικά των γήινων εναλλακτών Θερμότητας [4] παρουσιάζονται στον παρακάτω πίνακα :

Χαρακτηριστικά γεωεναλλακτών				
Τύπος γεωεναλλάκτη	Διάμετρος σωλήνα (m)	Πάχος τοιχώματος σωλήνα (m)	Θερμική αγωγιμότητα τοιχώματος σωλήνα (W/mK)	Απόσταση μεταξύ των σωλήνων(m)
1U	0.040	0.0037	0.49	0.0948
2U	0.032	0.0029	0.49	0.0756
Ομοαξονικός in	0.032	0.0029	0.43	–
Ομοαξονικός out	0.076	0.0045	1.6	–
Ελικοειδής	0.025	0.0037	0.42	0.29247

5. Χαρακτηριστικά υλικών πλήρωσης της γεώτρησης . Στις γεωτρήσεις αθαθούς γεωθερμίας γίνεται χρήση ενεμάτων για την πλήρωση των γεωτρήσεων [11] ,μετά την εγκατάσταση του γεωεναλλάκτη στο εσωτερικό της γεώτρησης. Όπου ενέματα ορίζονται τα υψηλής ρευστότητας αναμίγματα συνδετικής κονίας. Στα γεωθερμικά

συστήματα η πλήρωση των γεωτρήσεων με χρήση κατάλληλου ενέματος [12] αποτελεί ένα πολύ σημαντικό βήμα για την εξασφάλιση της επιτυχημένης γεωθερμικής εγκατάστασης. Στο σύστημα του ΚΑΠΕ τα ενέματα τα οποία χρησιμοποιήθηκαν για την πλήρωση των τεσσάρων γεωτρήσεων είχαν τα χαρακτηριστικά τα οποία παρουσιάζονται στον παρακάτω πίνακα.

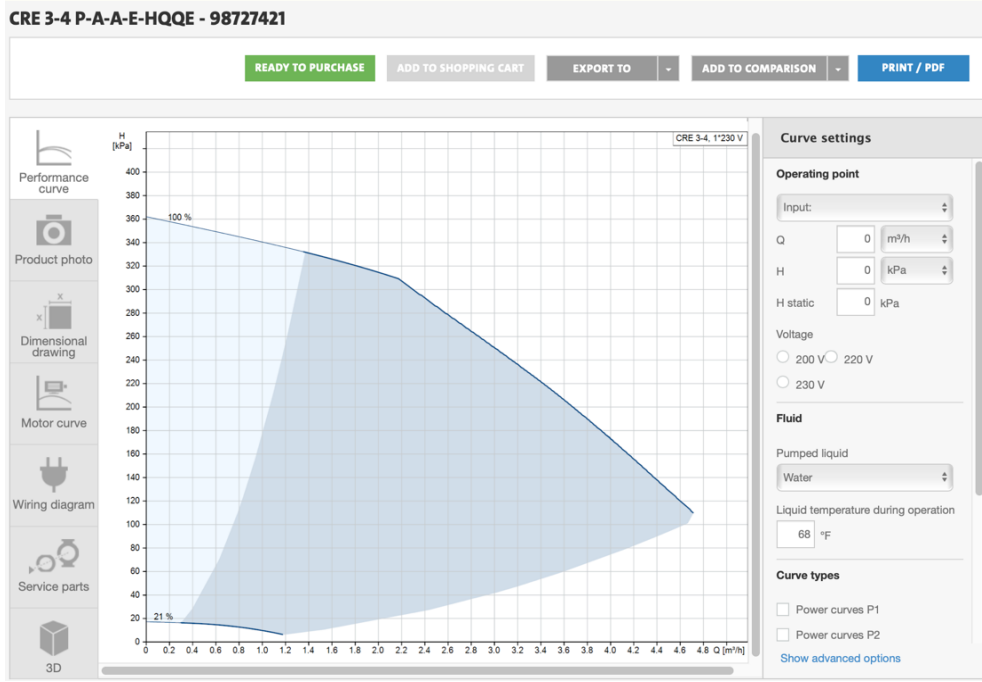
Χαρακτηριστικά ενεμάτων			
Τύπος γεωεναλλάκτη	Πυκνότητα (Kg/m^3)	Θερμοχωρητικότητα (J/KgK)	Θερμική αγωγιμότητα (W/mK)
1U	1655	1460	2
2U	1655	1460	2
Ομοαξονικός	1000	4180	1
Ελικοειδής	1655	920	0.41

6. Χαρακτηριστικά κυκλοφορούντος υγρού στο εσωτερικό του συστήματος .

Χαρακτηριστικά ψυκτικού υγρού					
Είδος	Πυκνότητα (Kg/m^3)	Ιξώδες (C_p)	Θερμοχωρητικότητα (J/KgK)	Θερμική αγωγιμότητα (W/mK)	Θερμοκρασία ($^{\circ}C$)
Νερό	1000	1	4138	0.598	20

7. Χαρακτηριστική καμπύλη της φυγοκεντρικής αντλίας (κυκλοφορητής) (σχήμα 3.31), [13], η οποία αποτελεί βασικό στοιχείο στην δημιουργία μοντέλου δικτύου αγωγών με το λογισμικό TESPy όπως αναφέρεται στην ενότητα (2.2.2). Η χαρακτηριστική καμπύλη μίας αντλίας εκφράζει την αλληλεπίδραση μεταξύ δυο μεταβλητών της οι οποίες περιγράφουν την απόδοση της :

- (Head): Η ενέργεια ανά μονάδα μάζας που παρέχει η αντλία στο ρευστό.
- (Flow rate): Η ποσότητα του υγρού που διέρχεται από μία τομή σε μία συγκριτιμένη χρονική περίοδο.



Σχήμα 3.31: Χαρακτηριστική καμπύλη φυγοκεντρικής αντλίας συστήματος ΚΑΠΕ [13].

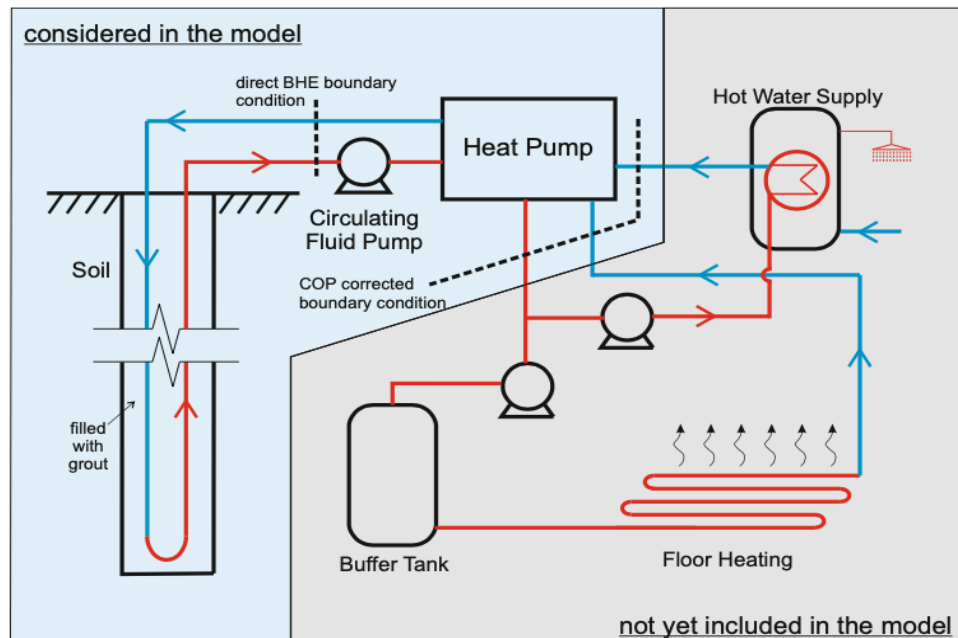
3.2.1 Σύστημα γεωθερμίας σε λειτουργία ψύξης - θέρμανσης

Για την προσομοίωση του συστήματος σε λειτουργία ψύξης -θέρμανσης [Παράρτημα Α'] , [Παράρτημα Β'] χρησιμοποιήθηκαν οι τιμές των παραμέτρων σε πραγματικές μετρήσεις όπως αυτές παρουσιάζονται στον παρακάτω πίνακα :

Τιμές παραμέτρων σε λειτουργία ψύξης		
Τύπος γεωεναλλάκτη	Ισχύς σε ψύξη (W)	ρυθμός ροής (m^3/sec)
1U	7900	0.30
2U	7100	0.28
Ομοαξονικός	5500	0.27
Ελικοειδής	1100	0.13

Τιμές παραμέτρων σε λειτουργία θέρμανσης		
Τύπος γεωεναλλάκτη	Ισχύς σε ψύξη (W)	ρυθμός ροής (m^3/sec)
1U	-7900	0.30
2U	-7100	0.28
Ομοαξονικός	-5500	0.27
Ελικοειδής	-1100	0.13

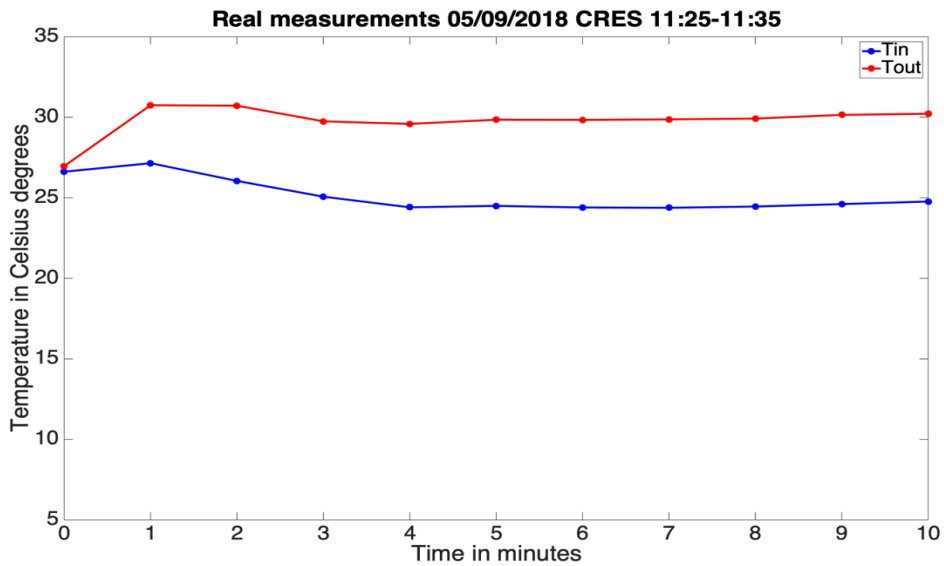
Αξίζει να σημειωθεί ότι το λογισμικό OpenGeoSys προσομοιώνει τη λειτουργία του συστήματος μέχρι και τη γεωθερμική αντλία θερμότητας. Έτσι δεν είναι εφικτό να προσομοιωθεί ο πλήρης κύκλος της αντλίας, επειδή στην παρούσα έκδοση του λογισμικού δεν είναι δυνατή η καταχώρηση πληροφοριών του συστήματος που αφορούν το τμήμα του κτηρίου μετά την αντλία θερμότητας. Οπότε δεν μπορεί να προσομοιωθεί η αλληλεπίδραση του κτηρίου και του συστήματος γεωθερμίας (σχήμα 3.32), [1].



Σχήμα 3.32: Σύστημα γεωθερμικής αντλίας θερμότητας σύμφωνα με το OpenGeoSys [13] .

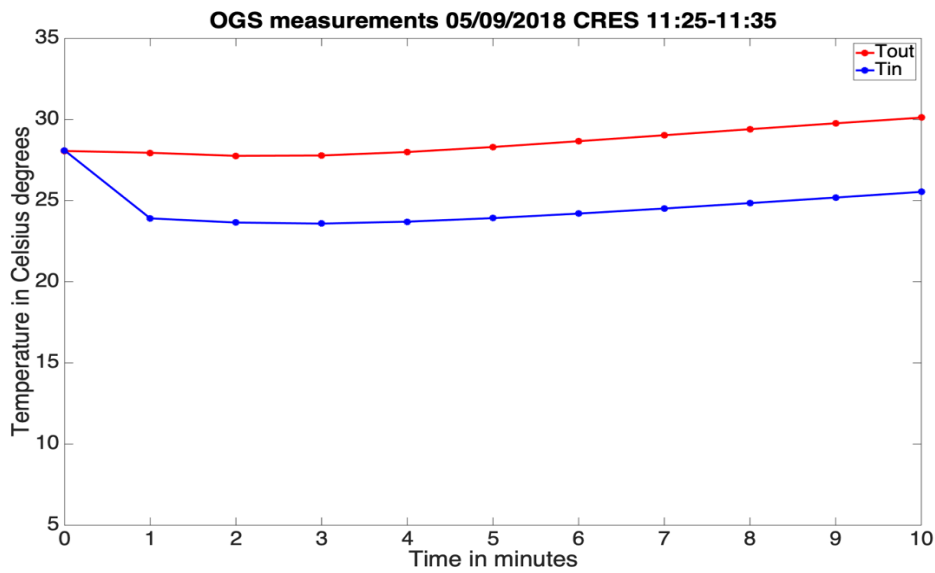
Ο γήινος εναλλάκτης θερμότητας ελικοειδούς τύπου προσομοιώθηκε, όπως αναφέρθηκε σε προηγούμενη ενότητα (3.1.4), σαν γεωεναλλάκτης τύπου 1U. Αυτό είχε σαν αποτέλεσμα απόκλιση από την πραγματική κατάσταση. Έτσι τα παρακάτω αποτελέσματα αφορούν τις θερμοκρασίες εισόδου και εξόδου του βρόγχου γείωσης (Earth Loop system).

Το γράφημα 3.33 εμφανίζει τις πραγματικές τιμές των θερμοκρασιών εισόδου και εξόδου του συστήματος των γήινων εναλλακτών θερμότητας του ΚΑΠΕ κατά την λειτουργία ψύξης σε συνάρτηση με τον χρόνο στις 5 Σεπτεμβρίου 2018 μεταξύ 11 : 25 – 11 : 35 το πρωί.



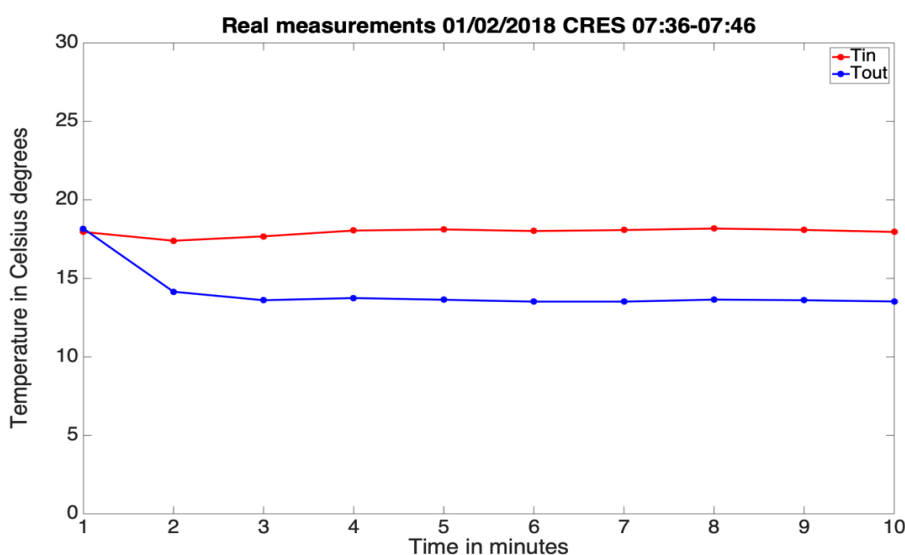
Σχήμα 3.33: Σύστημα σε λειτουργία ψύξης πραγματικές τιμές θερμοκρασιών.

Στο γράφημα 3.34 εμφανίζονται οι αντίστοιχες τιμές των θερμοκρασιών εισόδου και εξόδου του συστήματος των γήινων εναλλακτών θερμότητας με την χρήση του λογισμικού (OpenGeoSys). Όπως προκύπτει από τη σύγκριση των δύο γραφημάτων, τόσο οι τιμές εισόδου, όσο και οι τιμές εξόδου των θερμοκρασιών μετά από τα αρχικά λεπτά λειτουργίας, είναι παραπλήσιες. Επίσης η διαφορά θερμοκρασίας εισόδου και εξόδου είναι μικρότερη του ενός βαθμού.



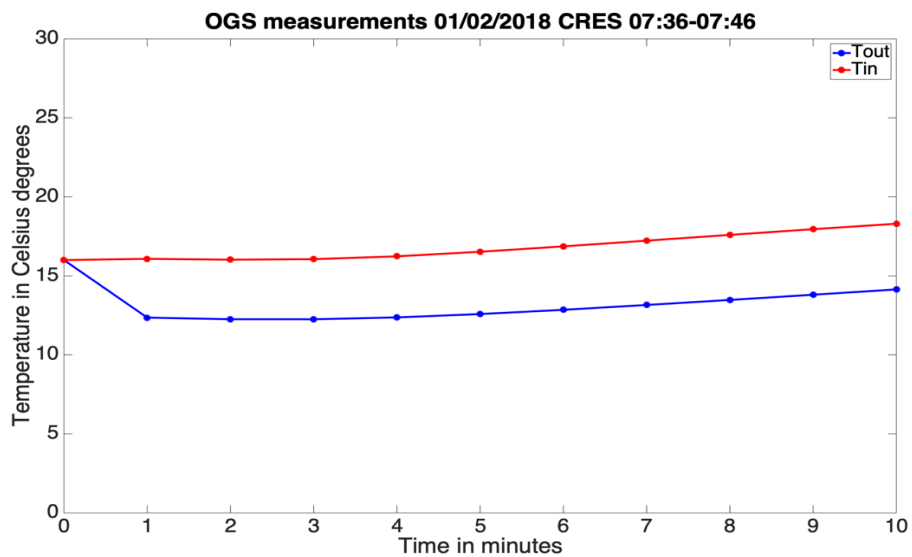
Σχήμα 3.34: Σύστημα σε λειτουργία ψύξης προσομοιωμένες τιμές θερμοκρασιών (OpenGeoSys)

Το γράφημα 3.35 εμφανίζει τις πραγματικές τιμές των θερμοκρασιών εισόδου και εξόδου του συστήματος των γήινων εναλλακτών θερμότητας του ΚΑΠΕ κατά την λειτουργία θέρμανσης σε συνάρτηση με τον χρόνο στις 1 Φεβρουαρίου 2018 μεταξύ 07 : 36 – 07 : 46 το πρωί.



Σχήμα 3.35: Σύστημα σε λειτουργία θέρμανσης πραγματικές τιμές θερμοκρασιών.

Στο γράφημα 3.36 εμφανίζονται οι αντίστοιχες τιμές των θερμοκρασιών εισόδου και εξόδου του συστήματος των γήινων εναλλακτών θερμότητας με την χρήση του λογισμικού (OpenGeoSys). Όπως προκύπτει από τη σύγκριση των δύο γραφημάτων, τόσο οι τιμές εισόδου, όσο και οι τιμές εξόδου των θερμοκρασιών μετά από τα αρχικά λεπτά λειτουργίας, είναι παραπλήσιες. Επίσης η διαφορά θερμοκρασίας εισόδου και εξόδου είναι μικρότερη του μισού βαθμού.



Σχήμα 3.36: Σύστημα σε λειτουργία θέρμανσης προσομοιωμένες τιμές θερμοκρασιών (OpenGeoSys) .

Κεφάλαιο 4

Συμπεράσματα

Σε αυτή τη μεταπτυχιακή εργασία παρουσιάστηκε η διαδικασία μοντελοποίησης, παραμετροποίησης και επεξεργασίας των αποτελεσμάτων από την προσομοίωση ενός συστήματος αβαθούς γεωθερμίας. Ειδικότερα προσομοιώθηκαν οι δοκιμές θερμικής απόκρισης (TRT) για τα τέσσερα βασικά είδη γεωεναλλακτών θερμότητας, τα οποία συνθέτουν το σύστημα αβαθούς γεωθερμίας του ΚΑΠΕ. Επίσης προσομοιώθηκε σε λειτουργία ψύξης και θέρμανσης το ολοκληρωμένο σύστημα του ΚΑΠΕ με την χρήση του ανοικτού κώδικα λογισμικού OpenGeoSys. Τα αποτελέσματα των προσομοιώσεων μας οδήγησαν στα παρακάτω συμπεράσματα:

- Το λογισμικό OpenGeoSys στην παρούσα έκτη έκδοση του δεν παρέχει τη δυνατότητα προσομοίωσης του ελικοειδούς τύπου γήινου εναλλάκτη θερμότητας σε κατακόρυφη τοποθέτηση. Επομένως κατά τη προσομοίωση του θεωρήθηκε ως γεωεναλλάκτης τύπου 1U. Αυτό είχε σαν αποτέλεσμα την εισαγωγή σφαλμάτων από αυτή την παραδοχή τόσο κατά την προσομοίωση της δοκιμής θερμικής απόκρισης, όσο και κατά την διεξαγωγή της προσομοίωση του ολοκληρωμένου συστήματος της λειτουργίας θέρμανσης και ψύξης.
- Από τα αποτελέσματα της προσομοίωσης του γεωθερμικού συστήματος τόσο σε λει-

τουργία ψύξης όσο και θέρμανσης η μέση θερμοκρασία εισόδου και εξόδου του ρευστού υπολογίστηκε ικανοποιητικά. Πιο συγκεκριμένα οι διαφορές θερμοκρασιών κατά τη προσομοίωση είχαν διαφορά μικρότερη του ενός βαθμού σε σχέση με τις πραγματικές μετρήσεις.

- Η μικρή απόκλιση των αποτελεσμάτων των προσομοιώσεων των δοκιμών θερμικής απόκρισης (TRT) μας οδηγεί στο συμπέρασμα ότι η προσομοίωση γήινων εναλλακτών θερμότητας με τη χρήση του λογισμικού OpenGeoSys είναι αξιόπιστες και μπορούν να επαληθεύσουν τις πραγματικές μετρήσεις κατά τη διεξαγωγή των δοκιμών θερμικής απόκρισης.
- Η εξαγωγή προσομοιώσεων με τη χρήση του λογισμικού OpenGeoSys απαιτεί βασικές γνώσεις συστημάτων αβαθούς γεωθερμίας, αριθμητικών μεθόδων επίλυσης προβλημάτων αρχικών τιμών και προγραμματισμού σε γλώσσα python. Οπότε μπορεί να χρησιμοποιηθεί από μηχανικούς οι οποίοι δεν διαθέτουν ιδιαίτερα εξειδικευμένες γνώσεις.

Βιβλιογραφία

- [1] Haibing Shao, Philipp Hein, Agnes Sachse end Olaf Kolditz "Geoenergy Modeling II (Shallow Geothermal Systems), <https://www.opengeosys.org/books/geoenergy-modeling-ii/>, 2016.
- [2] Μιχάλης Βραχόπουλος, Μαρία Κούκου και Κωνσταντίνος Καρύτσας " Κανονική γεωθερμία ; αρχές σχεδιασμού γεωθερμικών συστημάτων και εφαρμογές ", <https://www.ebooks4greeks.gr/kanonikh-gewthermia-arxes-sxediasmou-gewthermikwn-systhmatwn-kai-efarmoges>, 2015.
- [3] Ανδρίτσος, Νικόλαος Β.Φύτικας, Μιχάλης Δ. " Γεωθερμία ", 2004.
- [4] Adriana Bernardi (CNR-ISAC), Doina Cucueteanu (RGS), Giorgia Dalla Santa (UNIPD-DG), " CHEAP AND EFFICIENT APPLICATION OF RELIABLE GROUND SOURCE HEAT EXCHANGERS AND PUMPS", <https://cheap-gshp.eu/wp-content/uploads/2019/05/2019.05.27-Cheap-GSHPs-Training-Manual-ENG-version.pdf>, 2019.
- [5] L.Rybáček "Shallow Systems : Geothermal Heat pumps", https://www.researchgate.net/publication/288164052_shallowsystems, 2012.
- [6] Dr. Burkhard Sanner, "SHALLOW GEOTHERMAL ENERGY ", <https://www.geothermal-energy.org/pdf/IGAstandard/ISS/2003Germany/II/41.san.pdf>, 2003.

- [7] Xuedan Zhang , Tiantian Zhang , Bingxi Li and Yiqiang Jiang "Comparison of Four Methods for Borehole Heat Exchanger Sizing Subject to Thermal Response Test Parameter Estimation", https://res.mdpi.com/d_attachment/energies/energies-12-04067/article_deploy/energies-12-04067.pdf, 2019.
- [8] Jun Zhaoa, Yang Lia, Junyao Wanga "A review on heat transfer enhancement of borehole heat exchanger", <https://cyberleninka.org/article/n/709238.pdf>, 2016.
- [9] Kyoungbin Lim , Sanghoon Lee , Changhee Lee"An experimental study on the thermal performance of ground heat exchanger", <https://www.sciencedirect.com/science/article/abs/pii/S0894177706001610>, 2006.
- [10] The Engineering ToolBox, <https://www.engineeringtoolbox.com/material-properties-t24.html>.
- [11] M.L. Allan and A.J. Philippacopoulos,"THERMALLY CONDUCTIVE CEMENTITIOUS GROUTS FOR GEOTHERMAL HEAT PUMPS", <https://www.osti.gov/servlets/purl/760977>, 1998.
- [12] Roque Borinaga-Trevino , Pablo Pascual-Munoz ,Daniel Castro-Fresno , Juan Jose Del Coz-Diaz "Study of different grouting materials used in vertical geothermal closed-loop heat exchangers", <https://www.sciencedirect.com/science/article/abs/pii/S1359431112004000>, 2012.
- [13] Grundfos for Engineers <https://www.grundfos.com/grundfos-for-engineers/project-assistance-search-page/how-to-get-a-pump-curve-quickly.html>.

- [14] Radovan Hajovsky, Jiri Koziorek, Bohumil Horak "TRT system for Heat Pumps Design", <https://www.sciencedirect.com/science/article/pii/S1474667016324752>, 2009.
- [15] SARAH SIGNORELLI "Geoscientific investigations for the use of shallow low-enthalpy systems", <https://www.sciencedirect.com/science/article/abs/pii/S135943112004000>, Doctoral Thesis, 2004.
- [16] Signhild Gehlin "Thermal Response Test (Method Development and Evaluation)", <https://pdfs.semanticscholar.org/14fe/8cc2a027abb5113d9f61f0000ac5651cc54e.pdf>, Doctoral Thesis, 2002.
- [17] Roland Wagner and Christoph Clauser "Evaluating thermal response tests using parameter estimation for thermal conductivity and thermal capacity", <https://iopscience.iop.org/article/10.1088/1742-2132/2/4/S08>, 2005.
- [18] DAMIEN CASETTA "Implementation and validation of a Ground Source Heat Pump model in Improving landfill monitoring programs MATLAB", <https://www.semanticscholar.org/paper/Implementation-and-validation-of-a-Ground-Source-in-Casetta/7adebd1ab09a7e4b2c846545bfda07bb77a81fb6?p2df>, 2012.
- [19] Al-Khoury, R., Kolbel, T., Schramediei, R.: Efficient numerical modeling of borehole heat exchangers. Comput. Geosci. 36(10), 1301?1315 (2010).
- [20] Diersch, H.-J.G., Bauer, D., Heidemann, W., Ruhaak, W., Schatzl, P.: Finite element modeling of borehole heat exchanger systems: part 1. Fundamentals. Comput. Geosci. 37(8), 1122-1135 (2011a).
- [21] Diersch, H.-J.G., Bauer, D., Heidemann, W., Ruhaak, W., Schatzl, P.: Finite element modeling of borehole heat exchanger systems: part 2. Numerical simulation. Comput. Geosci. 37(8), 1136-1147 (2011b).

- [22] Hein, P., Kolditz, O., Gorke, U.-J., Bucher, A., Shao, H.: A numerical study on the sustainability and efficiency of borehole heat exchanger coupled ground source heat pump systems. *Appl. Therm. Eng.* 100, 421-433 (2016).
- [23] Shao, Haibing, Philipp Hein, Agnes Sachse, and Olaf Kolditz. *Geoenergy modeling II: shallow geothermal systems*. Springer International Publishing, 2016.
- [24] Furnace Compare : <https://www.furnacecompare.com>.
- [25] Ana Vieira, Maria Alberdi-Pagola, Paul Christodoulides."Characterisation of Ground Thermal and Thermo-Mechanical Behaviour for Shallow Geothermal Energy Applications", <https://www.mdpi.com/1996-1073/10/12/2044/htm>,(2017).
- [26] Jevgeni Fadejev, Raimo Simson, Jarek Kurnitski, Fariborz Haghighat."A review on energy piles design, sizing and modelling": ,https://www.researchgate.net/figure/Energy-pile-configurationfig5_312875512 ,(2017).

Παράρτημα Α'

Προσομοίωση σε λειτουργία θέρμανσης

- Κύριο εκτελέσιμο αρχείο OpenGeoSys

```
<?xml version="1.0" encoding="ISO-8859-1"?>
<OpenGeoSysProject>
  <mesh>kape.vtu</mesh>
  <geometry>kape.gml</geometry>
  <python_script>bcs_tespy_closedloop.py</python_script>
  <processes>
    <process>
      <name>HeatTransportBHE</name>
      <type>HEAT_TRANSPORT_BHE</type>
      <integration_order>2</integration_order>
      <process_variables>
        <process_variable>temperature_soil</process_variable>
        <process_variable>temperature_BHE1</process_variable>
        <process_variable>temperature_BHE2</process_variable>
        <process_variable>temperature_BHE3</process_variable>
        <process_variable>temperature_BHE4</process_variable>
      </process_variables>
      <borehole_heat_exchangers>
        <borehole_heat_exchanger>
          <type>1U</type>
          <use_bhe_pipe_network>true</use_bhe_pipe_network>
          <flow_and_temperature_control>
            <type>TemperatureCurveConstantFlow</type>
            <flow_rate>0</flow_rate>
            <temperature_curve>inflow_temperature</temperature_curve>
          </flow_and_temperature_control>
          <borehole>
            <length>15</length>
            <diameter>0.40005</diameter>
          </borehole>
          <grout>
            <density>1655.0</density>
            <porosity>0.0</porosity>
            <heat_capacity>920.0</heat_capacity>
            <thermal_conductivity>0.41</thermal_conductivity>
          </grout>
          <pipes>
            <inlet>
              <diameter> 0.025</diameter>
              <wall_thickness>0.0037</wall_thickness>
              <wall_thermal_conductivity>0.42</wall_thermal_conductivity>
            </inlet>
            <outlet>
              <diameter>0.025</diameter>
              <wall_thickness>0.0037</wall_thickness>
              <wall_thermal_conductivity>0.42</wall_thermal_conductivity>
            </outlet>
            <distance_between_pipes>0.29247</distance_between_pipes>
            <longitudinal_dispersion_length>0.001</longitudinal_dispersion_length>
          </pipes>
          <refrigerant>
            <density>1000</density>
            <viscosity>0.001</viscosity>
            <specific_heat_capacity>4138.0</specific_heat_capacity>
            <thermal_conductivity>0.606</thermal_conductivity>
            <reference_temperature>293</reference_temperature>
          </refrigerant>
        </borehole_heat_exchanger>
      </borehole_heat_exchangers>
    </process>
  </processes>
</OpenGeoSysProject>
```

```

<borehole_heat_exchanger>
  <type>CXa</type>
  <use_bhe_pipe_network>true</use_bhe_pipe_network>
  <flow_and_temperature_control>
    <type>TemperatureCurveConstantFlow</type>
    <flow_rate>0</flow_rate>
    <temperature_curve>inflow_temperature</temperature_curve>
  </flow_and_temperature_control>
  <borehole>
    <length>50.0</length>
    <diameter>0.11</diameter>
  </borehole>
  <grout>
    <density>1000</density>
    <porosity>0.0</porosity>
    <heat_capacity>4180</heat_capacity>
    <thermal_conductivity>1</thermal_conductivity>
  </grout>
  <pipes>
    <outer>
      <diameter> 0.076</diameter>
      <wall_thickness>0.0045</wall_thickness>
      <wall_thermal_conductivity>1.6</wall_thermal_conductivity>
    </outer>
    <inner>
      <diameter>0.032</diameter>
      <wall_thickness>0.0029</wall_thickness>
      <wall_thermal_conductivity>0.43</wall_thermal_conductivity>
    </inner>
    <longitudinal_dispersion_length>0.001</longitudinal_dispersion_length>
  </pipes>
  <refrigerant>
    <density>1000</density>
    <viscosity>0.00114</viscosity>
    <specific_heat_capacity>4138.0</specific_heat_capacity>
    <thermal_conductivity>0.598</thermal_conductivity>
    <reference_temperature>293</reference_temperature>
  </refrigerant>
</borehole_heat_exchanger>
<borehole_heat_exchanger>
  <type>2U</type>
  <use_bhe_pipe_network>true</use_bhe_pipe_network>
  <flow_and_temperature_control>
    <type>TemperatureCurveConstantFlow</type>
    <flow_rate>0</flow_rate>
    <temperature_curve>inflow_temperature</temperature_curve>
  </flow_and_temperature_control>
  <borehole>
    <length>121.0</length>
    <diameter>0.1651</diameter>
  </borehole>
  <grout>
    <density>1655.0</density>
    <porosity>0.0</porosity>
    <heat_capacity>1460.0</heat_capacity>
    <thermal_conductivity>2</thermal_conductivity>
  </grout>
  <pipes>
    <inlet>
      <diameter> 0.032</diameter>
      <wall_thickness>0.0029</wall_thickness>
      <wall_thermal_conductivity>0.49</wall_thermal_conductivity>
    </inlet>
    <outlet>
      <diameter>0.032</diameter>
      <wall_thickness>0.0029</wall_thickness>
      <wall_thermal_conductivity>0.49</wall_thermal_conductivity>
    </outlet>
    <distance_between_pipes>0.0756</distance_between_pipes>
    <longitudinal_dispersion_length>0.001</longitudinal_dispersion_length>
  </pipes>
  <refrigerant>
    <density>1000</density>
    <viscosity>0.001</viscosity>
    <specific_heat_capacity>4138.0</specific_heat_capacity>
    <thermal_conductivity>0.606</thermal_conductivity>
    <reference_temperature>293</reference_temperature>
  </refrigerant>
</borehole_heat_exchanger>
<borehole_heat_exchanger>
  <type>1U</type>
  <use_bhe_pipe_network>true</use_bhe_pipe_network>
  <flow_and_temperature_control>
    <type>TemperatureCurveConstantFlow</type>
    <flow_rate>0</flow_rate>
    <temperature_curve>inflow_temperature</temperature_curve>
  </flow_and_temperature_control>
  <borehole>
    <length>119.0</length>
    <diameter>0.1651</diameter>
  </borehole>
  <grout>

```

```

        <density>1655.0</density>
        <porosity>0.0</porosity>
        <heat_capacity>1460.0</heat_capacity>
        <thermal_conductivity>2</thermal_conductivity>
    </grout>
    <pipes>
        <inlet>
            <diameter> 0.040</diameter>
            <wall_thickness>0.0037</wall_thickness>
            <wall_thermal_conductivity>0.49</wall_thermal_conductivity>
        </inlet>
        <outlet>
            <diameter>0.040</diameter>
            <wall_thickness>0.0037</wall_thickness>
            <wall_thermal_conductivity>0.49</wall_thermal_conductivity>
        </outlet>
        <distance_between_pipes>0.0948</distance_between_pipes>
        <longitudinal_dispersion_length>0.001</longitudinal_dispersion_length>
    </pipes>
    <refrigerant>
        <density>1000</density>
        <viscosity>0.001</viscosity>
        <specific_heat_capacity>4138.0</specific_heat_capacity>
        <thermal_conductivity>0.606</thermal_conductivity>
        <reference_temperature>293</reference_temperature>
    </refrigerant>
</borehole_heat_exchanger>
</borehole_heat_exchangers>
</process>
</processes>
</media>
<medium id="0">
    <phases>
        <phase>
            <type>AqueousLiquid</type>
            <properties>
                <property>
                    <name>phase_velocity</name>
                    <type>Constant</type>
                    <value>0 0 0</value>
                </property>
                <property>
                    <name>specific_heat_capacity</name>
                    <type>Constant</type>
                    <value>0</value>
                </property>
                <property>
                    <name>density</name>
                    <type>Constant</type>
                    <value>0</value>
                </property>
            </properties>
        </phase>
        <phase>
            <type>Solid</type>
            <properties>
                <property>
                    <name>specific_heat_capacity</name>
                    <type>Constant</type>
                    <value>1600</value>
                </property>
                <property>
                    <name>density</name>
                    <type>Constant</type>
                    <value>2100</value>
                </property>
            </properties>
        </phase>
        <phase>
            <type>Gas</type>
            <properties>
                <property>
                    <name>specific_heat_capacity</name>
                    <type>Constant</type>
                    <value>718</value>
                </property>
                <property>
                    <name>density</name>
                    <type>Constant</type>
                    <value>1292</value>
                </property>
            </properties>
        </phase>
    </phases>
    <properties>
        <property>
            <name>porosity</name>
            <type>Constant</type>
            <value>0.4</value>
        </property>
        <property>
            <name>thermal_conductivity</name>

```

```

        <type>Constant</type>
        <value>1</value>
    </property>
    <property>
        <name>thermal_longitudinal_dispersivity</name>
        <type>Constant</type>
        <value>0</value>
    </property>
    <property>
        <name>thermal_transversal_dispersivity</name>
        <type>Constant</type>
        <value>0</value>
    </property>
</properties>
</medium>
<medium id="1">
    <phases>
        <phase>
            <type>AqueousLiquid</type>
            <properties>
                <property>
                    <name>phase_velocity</name>
                    <type>Constant</type>
                    <value>0 0</value>
                </property>
                <property>
                    <name>specific_heat_capacity</name>
                    <type>Constant</type>
                    <value>0</value>
                </property>
                <property>
                    <name>density</name>
                    <type>Constant</type>
                    <value>0</value>
                </property>
            </properties>
        </phase>
        <phase>
            <type>Solid</type>
            <properties>
                <property>
                    <name>specific_heat_capacity</name>
                    <type>Constant</type>
                    <value>3400</value>
                </property>
                <property>
                    <name>density</name>
                    <type>Constant</type>
                    <value>1200</value>
                </property>
            </properties>
        </phase>
        <phase>
            <type>Gas</type>
            <properties>
                <property>
                    <name>specific_heat_capacity</name>
                    <type>Constant</type>
                    <value>718</value>
                </property>
                <property>
                    <name>density</name>
                    <type>Constant</type>
                    <value>1292</value>
                </property>
            </properties>
        </phase>
    </phases>
    <properties>
        <property>
            <name>porosity</name>
            <type>Constant</type>
            <value>0.2</value>
        </property>
        <property>
            <name>thermal_conductivity</name>
            <type>Constant</type>
            <value>3.5</value>
        </property>
        <property>
            <name>thermal_longitudinal_dispersivity</name>
            <type>Constant</type>
            <value>0</value>
        </property>
        <property>
            <name>thermal_transversal_dispersivity</name>
            <type>Constant</type>
            <value>0</value>
        </property>
    </properties>
</medium>
<medium id="2">

```

```

<phases>
  <phase>
    <type>AqueousLiquid</type>
    <properties>
      <property>
        <name>phase_velocity</name>
        <type>Constant</type>
        <value>0 0 0</value>
      </property>
      <property>
        <name>specific_heat_capacity</name>
        <type>Constant</type>
        <value>4200</value>
      </property>
      <property>
        <name>density</name>
        <type>Constant</type>
        <value>1000</value>
      </property>
    </properties>
  </phase>
  <phase>
    <type>Solid</type>
    <properties>
      <property>
        <name>specific_heat_capacity</name>
        <type>Constant</type>
        <value>2500</value>
      </property>
      <property>
        <name>density</name>
        <type>Constant</type>
        <value>2700</value>
      </property>
    </properties>
  </phase>
  <phase>
    <type>Gas</type>
    <properties>
      <property>
        <name>specific_heat_capacity</name>
        <type>Constant</type>
        <value>718</value>
      </property>
      <property>
        <name>density</name>
        <type>Constant</type>
        <value>1292</value>
      </property>
    </properties>
  </phase>
</phases>
<properties>
  <property>
    <name>porosity</name>
    <type>Constant</type>
    <value>0.17</value>
  </property>
  <property>
    <name>thermal_conductivity</name>
    <type>Constant</type>
    <value>2.6</value>
  </property>
  <property>
    <name>thermal_longitudinal_dispersivity</name>
    <type>Constant</type>
    <value>0</value>
  </property>
  <property>
    <name>thermal_transversal_dispersivity</name>
    <type>Constant</type>
    <value>0</value>
  </property>
</properties>
</medium>
<medium id="3">
  <phases>
    <phase>
      <type>AqueousLiquid</type>
      <properties>
        <property>
          <name>phase_velocity</name>
          <type>Constant</type>
          <value>0 0 0</value>
        </property>
        <property>
          <name>specific_heat_capacity</name>
          <type>Constant</type>
          <value>4157</value>
        </property>
        <property>
          <name>density</name>

```

```

        <type>Constant</type>
        <value>1000</value>
    </property>
    </properties>
</phase>
<phase>
    <type>Solid</type>
    <properties>
        <property>
            <name>specific_heat_capacity</name>
            <type>Constant</type>
            <value>750</value>
        </property>
        <property>
            <name>density</name>
            <type>Constant</type>
            <value>2680</value>
        </property>
    </properties>
</phase>
<phase>
    <type>Gas</type>
    <properties>
        <property>
            <name>specific_heat_capacity</name>
            <type>Constant</type>
            <value>1000</value>
        </property>
        <property>
            <name>density</name>
            <type>Constant</type>
            <value>2500</value>
        </property>
    </properties>
</phase>
</phases>
<properties>
    <property>
        <name>porosity</name>
        <type>Constant</type>
        <value>0.1</value>
    </property>
    <property>
        <name>thermal_conductivity</name>
        <type>Constant</type>
        <value>2.965</value>
    </property>
    <property>
        <name>thermal_longitudinal_dispersivity</name>
        <type>Constant</type>
        <value>0</value>
    </property>
    <property>
        <name>thermal_transversal_dispersivity</name>
        <type>Constant</type>
        <value>0</value>
    </property>
</properties>
</medium>
</media>
<time_loop>
    <processes>
        <process ref="HeatTransportBHE">
            <nonlinear_solver>basic_picard</nonlinear_solver>
            <convergence_criterion>
                <type>DeltaX</type>
                <norm_type>NORM2</norm_type>
                <reltol>1.e-5</reltol>
            </convergence_criterion>
            <time_discretization><type>BackwardEuler</type></time_discretization>
            <time_stepping>
                <type>FixedTimeStepping</type>
                <t_initial> 0.0 </t_initial>
                <!-- use the following for full simulation
                <t_end> 15552000 </t_end>
                -->
                <t_end> 4200 </t_end>
            <timesteps>
                <!-- use the following for full simulation
                <pair><repeat>10</repeat><delta_t>720</delta_t></pair>
                <pair><repeat>4</repeat><delta_t>3600</delta_t></pair>
                <pair><repeat>1</repeat><delta_t>10800</delta_t></pair>
                -->
                <pair>
                    <repeat>70</repeat>
                    <delta_t>60</delta_t>
                </pair>
            </timesteps>
        </time_stepping>
    </process>
    </processes>
</output>

```

```

<type>VTK</type>
<prefix>4bhesKAPE</prefix>
<timesteps>
    <!-- use the following for full simulation
    <pair><repeat> 1</repeat><each_steps> 92 </each_steps></pair>
    <pair><repeat> 1</repeat><each_steps> 80 </each_steps></pair>
    -->
    <pair>
        <repeat> 1 </repeat>
        <each_steps> 1 </each_steps>
    </pair>
</timesteps>
<variables>
    <variable>temperature_soil</variable>
    <variable>temperature_BHE1</variable>
    <variable>temperature_BHE2</variable>
    <variable>temperature_BHE3</variable>
    <variable>temperature_BHE4</variable>
</variables>
<suffix>_ts_{:timestep}_t_{:time}</suffix>
</output>
</time_loop>
<parameters>
    <parameter>
        <name>T0</name>
        <type>Constant</type>
        <values>303</values>
    </parameter>
    <parameter>
        <name>T0_BHE1</name>
        <type>Constant</type>
        <values>289 289 289 289</values>
    </parameter>
    <parameter>
        <name>T0_BHE2</name>
        <type>Constant</type>
        <values>289 289 289 289</values>
    </parameter>
    <parameter>
        <name>T0_BHE3</name>
        <type>Constant</type>
        <values>289 289 289 289 289 289 289 289</values>
    </parameter>
    <parameter>
        <name>T0_BHE4</name>
        <type>Constant</type>
        <values>289 289 289 289</values>
    </parameter>
</parameters>
<process_variables>
    <process_variable>
        <name>temperature_soil</name>
        <components>1</components>
        <order>1</order>
        <initial_condition>T0</initial_condition>
        <boundary_conditions>
            <boundary_condition>
                <geometrical_set>adrikos.gli</geometrical_set>
                <geometry>top</geometry>
                <type>Dirichlet</type>
                <parameter>T0</parameter>
            </boundary_condition>
        </boundary_conditions>
    </process_variable>
    <process_variable>
        <name>temperature_BHE1</name>
        <components>4</components>
        <order>1</order>
        <initial_condition>T0_BHE1</initial_condition>
    </process_variable>
    <process_variable>
        <name>temperature_BHE2</name>
        <components>3</components>
        <order>1</order>
        <initial_condition>T0_BHE2</initial_condition>
    </process_variable>
    <process_variable>
        <name>temperature_BHE3</name>
        <components>8</components>
        <order>1</order>
        <initial_condition>T0_BHE3</initial_condition>
    </process_variable>
    <process_variable>
        <name>temperature_BHE4</name>
        <components>4</components>
        <order>1</order>
        <initial_condition>T0_BHE4</initial_condition>
    </process_variable>
</process_variables>
<nonlinear_solvers>
    <nonlinear_solver>
        <name>basic_picard</name>

```

```

<type>Picard</type>
<max_iter>100</max_iter>
<linear_solver>general_linear_solver</linear_solver>
</nonlinear_solver>
</nonlinear_solvers>
<linear_solvers>
<linear_solver>
<name>general_linear_solver</name>
<lis>-i cg -p jacobi -tol 1e-16 -maxiter 10000</lis>
<eigen>
<solver_type>BiCGSTAB</solver_type>
<precon_type>ILUT</precon_type>
<max_iteration_step>1000</max_iteration_step>
<error_tolerance>1e-16</error_tolerance>
</eigen>
<petsc>
<prefix>gw</prefix>
<parameters>-gw_ksp_type cg -gw_pc_type bjacobi -gw_ksp_rtol 1e-16 -gw_ksp_max_it 10000</parameters>
</petsc>
</linear_solver>
</linear_solvers>
<curves>
<curve>
<name>inflow_temperature</name>
<coords>0 4200
</coords>
<values>289 289
</values>
</curve>
</curves>
</OpenGeoSysProject>

```

- Αρχείο συνοριακών συνθηκών Python

```

### 
# Copyright (c) 2012-2020, OpenGeoSys Community (http://www.opengeosys.org)
# Distributed under a Modified BSD License.
# See accompanying file LICENSE.txt or
# http://www.opengeosys.org/project/license
###

import sys
print(sys.version)
import os
import numpy as np
from pandas import read_csv
import OpenGeoSys
from tespy.networks import load_network

# User setting ++++++
# parameters
# refrigerant density
rho_f = 1000 # kg/m3
# switch for special boundary conditions
# switch of the function for manually specified dynamic flowrate
switch_dyn_rate = 'off' # 'on','off'
# switch of the function for manually specified dynamic thermal demand
switch_dyn_demand = 'on' # 'on','off'
if switch_dyn_demand == 'on':
    #give the consumer name defined by user in the network model
    consumer_name = 'consumer'

# network status setting
def network_status(t):
    nw_status = 'on'
    # month for closed network
    timerange_nw_off_month = [] # No month for closed network
    # t-1 to avoid the calculation problem at special time point,
    # e.g. t = 2592000.
    t_trans = int((t - 1) / 86400 / 30) + 1
    t_trans_month = t_trans
    if t_trans_month > 12:
        t_trans_month = t_trans - 12 * (int(t_trans / 12))
    if t_trans_month in timerange_nw_off_month:
        nw_status = 'off'
    return nw_status

# dynamic consumer thermal load
def consumer_demand(t): # dynamic thermal demand from consumer
    # time conversion
    t_trans = int((t - 1) / 86400 / 30) + 1
    if t_trans > 12:
        t_trans = t_trans - 12 * (int(t_trans / 12))
    # thermal demand in each month (assumed specific heat extraction rate*
    # length of BHE* number of BHE)
    month_demand = [
        -63 * 305, -63 * 305, -63 * 305, -63 * 305, -63 * 305,
        -63 * 305, -63 * 305, -63 * 305, -63 * 305, -63 * 305,
        -63 * 305, -63 * 305,

```

```

        ]
        return month_demand[t_trans - 1]

    # dynamic hydraulic flow rate at the network inlet
    def dyn_frate(t):
        # time conversion
        t_trans = int((t - 1) / 86400 / 30) + 1
        if t_trans > 12:
            t_trans = t_trans - 12 * (int(t_trans / 12))
        # flow rate in kg / s time curve in month
        month_frate = []
        return month_frate[t_trans - 1]

    # End User setting+++++++
    # create network dataframe
    def create_dataframe():
        # return dataframe
        df_nw = read_csv('./pre/bhe_network.csv',
                          delimiter=';',
                          index_col=[0],
                          dtype={'data_index': str})
        return (df_nw)

    # TESPy calculation process
    def get_tespy_results(t):
        # bhe network boundary conditions re parametrization
        # if network exist dynamic flowrate
        if switch_dyn_frate == 'on':
            cur_frate = dyn_frate(t)
            localVars['inlet_name'].set_attr(m=cur_frate)
        # if network exist dynamic thermal demand
        if switch_dyn_demand == 'on':
            # consumer thermal load:
            cur_month_demand = consumer_demand(t)
            nw.components[consumer_name].set_attr(Q=cur_month_demand)
        # T_out re parametrization:
        for i in range(n_BHE):
            localVars['outlet_BHE' + str(i + 1)].set_attr(T=df.loc[data_index[i],
                                                               'Tout_val'])

        # solving network
        nw.solve(mode='design')
        # get Tin_val and flow rate
        for i in range(n_BHE):
            # get Tin_val
            df.loc[df.index[i],
                   'Tin_val'] = localVars['inlet_BHE' +
                                         str(i + 1)].get_attr('T').val
            # get flowrate
            df.loc[df.index[i],
                   'flowrate'] = localVars['inlet_BHE' +
                                         str(i + 1)].get_attr('m').val / rho_f
        return df['Tin_val'].tolist(), df['flowrate'].tolist()

    # OGS setting
    # Dirichlet BCs
    class BC(OpenGeoSys.BHENetwork):
        def initializeDataContainer(self):
            # initialize network and get data from the network
            nw.solve(mode='design')
            get_tespy_results(0)
            # convert dataframe to column list
            t = 0 # 'initial time'
            data_col_1 = df['Tin_val'].tolist() # 'Tin_val'
            data_col_2 = df['Tout_val'].tolist() # 'Tout_val'
            data_col_3 = df['Tout_node_id'].astype(int).tolist() # 'Tout_node_id'
            data_col_4 = df['flowrate'].tolist() # 'BHE flow rate'
            return (t, data_col_1, data_col_2, data_col_3, data_col_4)

        def tespySolver(self, t, Tin_val, Tout_val):
            # network status:
            nw_status = network_status(t)
            # if network closed:
            if nw_status == 'off':
                df.loc[:, 'flowrate'] = 0
                cur_flowrate = df['flowrate'].tolist()
                return (True, True, Tout_val, cur_flowrate)
            else:
                # read Tout_val to dataframe
                for i in range(n_BHE):
                    df.loc[df.index[i], 'Tout_val'] = Tout_val[i]
                # TESPy solver
                cur_Tin_val, cur_flowrate = get_tespy_results(t)
                # check norm if network achieves the converge
                if_success = False
                pre_Tin_val = Tin_val
                norm_dx = np.linalg.norm(

```

```

        abs(np.asarray(pre_Tin_val) - np.asarray(cur_Tin_val)))
norm_x = np.linalg.norm(np.asarray(cur_Tin_val))
if norm_dx/norm_x < 1e-6:
    if _success == True
        # return to OGS
    return (True, if_success, cur_Tin_val, cur_flowrate)

# main
# initialize the tespy model of the bhe network
# load path of network model:
# loading the TESPy model
project_dir = os.getcwd()
print("Project dir is: ", project_dir)
nw = load_network('./pre/tespy_nw_closeloop')
# set if print the network iteration info
nw.set_attr(iterinfo=False)

# create bhe dataframe of the network system from bhe_network.csv
df = create_dataframe()
n_BHE = np.size(df.iloc[:, 0])

# create local variables of the components label and connections label in
# network
localVars = locals()
data_index = df.index.tolist()
for i in range(n_BHE):
    for c in nw.conns.index:
        # bhe inlet and outlet conn
        if c.target.label == data_index[i]: # inlet conn of bhe
            localVars['inlet_BHE' + str(i + 1)] = c
        if c.source.label == data_index[i]: # outlet conn of bhe
            localVars['outlet_BHE' + str(i + 1)] = c

# time depended flowrate
if switch_dyn_frate == 'on':
    # import the name of inlet connection from the network csv file
    inlet_name = read_csv('./pre/tespy_nw/connections.csv',
                          delimiter=';',
                          index_col=[0]).iloc[0,0]
    for c in nw.conns.index:
        # bhe inflow conn
        if c.source.label == inlet_name: # inlet conn of bhe
            localVars['inlet_name'] = c

# instantiate BC objects referenced in OpenGeoSys
bc_bhe = BC()

```

• Αρχείο δημιουργίας δικτύου Python

```

####
# Copyright (c) 2012-2020, OpenGeoSys Community (http://www.opengeosys.org)
# Distributed under a Modified BSD License.
# See accompanying file LICENSE.txt or
# http://www.opengeosys.org/project/license
###

# Execute this file to generate TESPy network csv files
from tespy.networks import network
from tespy.connections import connection, ref
from tespy.components import source, sink, pump, splitter, merge, heat_exchanger_simple, cycle_closer
from tespy.tools import char_line, dc_cc
import numpy as np

# % network
btes = network(fluids=['water'], T_unit='K', p_unit='bar', h_unit='kJ / kg')

# %% components
fc = cycle_closer('cycle closer')
pu = pump('pump')
sp = splitter('splitter', num_out=5)

# bhe:
bhe1 = heat_exchanger_simple('BHE1')
bhe2 = heat_exchanger_simple('BHE2')
bhe3 = heat_exchanger_simple('BHE3')
bhe4 = heat_exchanger_simple('BHE4')
bhe5 = heat_exchanger_simple('BHE5')

mg = merge('merge', num_in=5)
cons = heat_exchanger_simple('consumer')

## components parameterization
# pump
# flow_char
# provide volumetric flow in m^3 / s
x = np.array([2.77778E-06,
5.83333E-05,

```

```

0.000113889,
0.000169444,
0.000222222,
0.000283333,
0.000336111,
0.000383333,
0.000422222,
0.000447222,
0.000505556,
0.000558333,
0.000611111,
0.000669444,
0.000725,
0.000780556,
0.000836111,
0.000891667,
0.00095,
0.001002778,
0.001061111,
0.001119445,
0.001169445,
0.001227778,
0.001280556,
0.001308333,
])

# provide head in Pa
y = np.array([3.6081,
3.5672,
3.5058,
3.4854,
3.4445,
3.4036,
3.3628,
3.3014,
3.281,
3.2401,
3.1788,
3.1379,
3.0561,
2.8926,
2.7699,
2.6064,
2.4633,
2.3202,
2.1975,
2.034,
1.8909,
1.6498,
1.5336,
1.3523,
1.1861,
1.0803,
]) * 1e5

char = char_line(x=x, y=y)
pu.set_attr(flow_char=dc_cc(func=char, is_set=True))
pu.set_attr(eta_s=0.9)

# bhes
bhe1.set_attr(D=0.025, L=55, ks=0.00001)
bhe2.set_attr(D=0.032, L=100, ks=0.00001)
bhe3.set_attr(D=0.032, L=242, ks=0.00001)
bhe4.set_attr(D=0.032, L=242, ks=0.00001)
bhe5.set_attr(D=0.040, L=238, ks=0.00001)

# consumer
cons.set_attr(pr=0.32)
# consumer heat demand
cons.set_attr(Q=-19215
) # W

# %% connections
fc_pu = connection(fc, 'out1', pu, 'in1')
pu_sp = connection(pu, 'out1', sp, 'in1')

sp_bhe1 = connection(sp, 'out1', bhe1, 'in1')
sp_bhe2 = connection(sp, 'out2', bhe2, 'in1')
sp_bhe3 = connection(sp, 'out3', bhe3, 'in1')
sp_bhe4 = connection(sp, 'out4', bhe4, 'in1')
sp_bhe5 = connection(sp, 'out5', bhe5, 'in1')

bhe1_mg = connection(bhe1, 'out1', mg, 'in1')
bhe2_mg = connection(bhe2, 'out1', mg, 'in2')
bhe3_mg = connection(bhe3, 'out1', mg, 'in3')
bhe4_mg = connection(bhe4, 'out1', mg, 'in4')
bhe5_mg = connection(bhe5, 'out1', mg, 'in5')

mg_cons = connection(mg, 'out1', cons, 'in1')
cons_fc = connection(cons, 'out1', fc, 'in1')

```

```

bt.es.add_conns(fc_pu, pu_sp, sp_bhe1, sp_bhe2, sp_bhe3, sp_bhe4, sp_bhe5, bhe1_mg, bhe2_mg,
                bhe3_mg, bhe4_mg, bhe5_mg, mg_cons, cons_fc)

## connection parametrization
# system inlet
fc_pu.set_attr(p=1, fluid={'water': 1})

# for BHEs:
# Tout:
bhe1_mg.set_attr(T=289.5)
bhe2_mg.set_attr(T=292)
bhe3_mg.set_attr(T=293)
bhe4_mg.set_attr(T=293)
bhe5_mg.set_attr(T=293)

# %% solve
bt.es.solve('design')
bt.es.print_results()

# %% save to csv:
bt.es.save('tespy_nw_closedloop')

```

Παράρτημα Β'

Προσομοίωση σε λειτουργία ψύξης

- Κύριο εκτελέσιμο αρχείο OpenGeoSys

```
<?xml version="1.0" encoding="ISO-8859-1"?>
<OpenGeoSysProject>
    <mesh>kape.vtu</mesh>
    <geometry>kape.gml</geometry>
    <python_script>bcs_tespy_closedloop.py</python_script>
    <processes>
        <process>
            <name>HeatTransportBHE</name>
            <type>HEAT_TRANSPORT_BHE</type>
            <integration_order>2</integration_order>
            <process_variables>
                <process_variable>temperature_soil</process_variable>
                <process_variable>temperature_BHE1</process_variable>
                <process_variable>temperature_BHE2</process_variable>
                <process_variable>temperature_BHE3</process_variable>
                <process_variable>temperature_BHE4</process_variable>
            </process_variables>
            <borehole_heat_exchangers>
                <borehole_heat_exchanger>
                    <type>1U</type>
                    <use_bhe_pipe_network>true</use_bhe_pipe_network>
                    <flow_and_temperature_control>
                        <type>TemperatureCurveConstantFlow</type>
                        <flow_rate>0</flow_rate>
                        <temperature_curve>inflow_temperature</temperature_curve>
                    </flow_and_temperature_control>
                <borehole>
                    <length>15.0</length>
                    <diameter>0.404</diameter>
                </borehole>
                <grout>
                    <density>1655.0</density>
                    <porosity>0.0</porosity>
                    <heat_capacity>920.0</heat_capacity>
                    <thermal_conductivity>0.41</thermal_conductivity>
                </grout>
            <pipes>
                <inlet>
                    <diameter> 0.025</diameter>
                    <wall_thickness>0.0037</wall_thickness>
                    <wall_thermal_conductivity>0.42</wall_thermal_conductivity>
                </inlet>
                <outlet>
                    <diameter>0.025</diameter>
                    <wall_thickness>0.0037</wall_thickness>
                    <wall_thermal_conductivity>0.42</wall_thermal_conductivity>
                </outlet>
                <distance_between_pipes>0.29247</distance_between_pipes>
                <longitudinal_dispersion_length>0.001</longitudinal_dispersion_length>
            </pipes>
            <refrigerant>
                <density>1000</density>
                <viscosity>0.001</viscosity>
                <specific_heat_capacity>4138.0</specific_heat_capacity>
                <thermal_conductivity>0.606</thermal_conductivity>
                <reference_temperature>293</reference_temperature>
            </refrigerant>
        </borehole_heat_exchanger>
        <borehole_heat_exchanger>
            <type>CXA</type>
            <use_bhe_pipe_network>true</use_bhe_pipe_network>
            <flow_and_temperature_control>
                <type>TemperatureCurveConstantFlow</type>
```

```

<flow_rate>0</flow_rate>
<temperature_curve>inflow_temperature</temperature_curve>
</flow_and_temperature_control>
<borehole>
    <length>50.0</length>
    <diameter>0.11</diameter>
</borehole>
<grout>
    <density>1000</density>
    <porosity>0.0</porosity>
    <heat_capacity>4180</heat_capacity>
    <thermal_conductivity>1</thermal_conductivity>
</grout>
<pipes>
    <outer>
        <diameter> 0.076</diameter>
        <wall_thickness>0.0045</wall_thickness>
        <wall_thermal_conductivity>1.6</wall_thermal_conductivity>
    </outer>
    <inner>
        <diameter>0.032</diameter>
        <wall_thickness>0.0029</wall_thickness>
        <wall_thermal_conductivity>0.43</wall_thermal_conductivity>
    </inner>
    <longitudinal_dispersion_length>0.001</longitudinal_dispersion_length>
</pipes>
<refrigerant>
    <density>1000</density>
    <viscosity>0.00114</viscosity>
    <specific_heat_capacity>4138.0</specific_heat_capacity>
    <thermal_conductivity>0.598</thermal_conductivity>
    <reference_temperature>293</reference_temperature>
</refrigerant>
</borehole_heat_exchanger>
<borehole_heat_exchanger>
    <type>2US</type>
    <use_bhe_pipe_network>true</use_bhe_pipe_network>
<flow_and_temperature_control>
    <type>TemperatureCurveConstantFlow</type>
    <flow_rate>0</flow_rate>
    <temperature_curve>inflow_temperature</temperature_curve>
</flow_and_temperature_control>
<borehole>
    <length>121.0</length>
    <diameter>0.1651</diameter>
</borehole>
<grout>
    <density>1655.0</density>
    <porosity>0.0</porosity>
    <heat_capacity>1460.0</heat_capacity>
    <thermal_conductivity>2</thermal_conductivity>
</grout>
<pipes>
    <inlet>
        <diameter> 0.032</diameter>
        <wall_thickness>0.0029</wall_thickness>
        <wall_thermal_conductivity>0.49</wall_thermal_conductivity>
    </inlet>
    <outlet>
        <diameter>0.032</diameter>
        <wall_thickness>0.0029</wall_thickness>
        <wall_thermal_conductivity>0.49</wall_thermal_conductivity>
    </outlet>
    <distance_between_pipes>0.0756</distance_between_pipes>
    <longitudinal_dispersion_length>0.001</longitudinal_dispersion_length>
</pipes>
<refrigerant>
    <density>1000</density>
    <viscosity>0.001</viscosity>
    <specific_heat_capacity>4138.0</specific_heat_capacity>
    <thermal_conductivity>0.606</thermal_conductivity>
    <reference_temperature>293</reference_temperature>
</refrigerant>
</borehole_heat_exchanger>
<borehole_heat_exchanger>
    <type>1US</type>
    <use_bhe_pipe_network>true</use_bhe_pipe_network>
<flow_and_temperature_control>
    <type>TemperatureCurveConstantFlow</type>
    <flow_rate>0</flow_rate>
    <temperature_curve>inflow_temperature</temperature_curve>
</flow_and_temperature_control>
<borehole>
    <length>119.0</length>
    <diameter>0.1651</diameter>
</borehole>
<grout>
    <density>1655.0</density>
    <porosity>0.0</porosity>
    <heat_capacity>1460.0</heat_capacity>
    <thermal_conductivity>2</thermal_conductivity>
</grout>

```

```

<pipes>
  <inlet>
    <diameter> 0.040</diameter>
    <wall_thickness>0.0037</wall_thickness>
    <wall_thermal_conductivity>0.49</wall_thermal_conductivity>
  </inlet>
  <outlet>
    <diameter>0.040</diameter>
    <wall_thickness>0.0037</wall_thickness>
    <wall_thermal_conductivity>0.49</wall_thermal_conductivity>
  </outlet>
  <distance_between_pipes>0.0948</distance_between_pipes>
  <longitudinal_dispersion_length>0.001</longitudinal_dispersion_length>
</pipes>
<refrigerant>
  <density>1000</density>
  <viscosity>0.001</viscosity>
  <specific_heat_capacity>4138.0</specific_heat_capacity>
  <thermal_conductivity>0.606</thermal_conductivity>
  <reference_temperature>293</reference_temperature>
</refrigerant>
</borehole_heat_exchanger>
</borehole_heat_exchangers>
</process>
</processes>
<media>
  <medium id="0">
    <phases>
      <phase>
        <type>AqueousLiquid</type>
        <properties>
          <property>
            <name>phase_velocity</name>
            <type>Constant</type>
            <value>0 0</value>
          </property>
          <property>
            <name>specific_heat_capacity</name>
            <type>Constant</type>
            <value>0</value>
          </property>
          <property>
            <name>density</name>
            <type>Constant</type>
            <value>0</value>
          </property>
        </properties>
      </phase>
      <phase>
        <type>Solid</type>
        <properties>
          <property>
            <name>specific_heat_capacity</name>
            <type>Constant</type>
            <value>1600</value>
          </property>
          <property>
            <name>density</name>
            <type>Constant</type>
            <value>2100</value>
          </property>
        </properties>
      </phase>
      <phase>
        <type>Gas</type>
        <properties>
          <property>
            <name>specific_heat_capacity</name>
            <type>Constant</type>
            <value>718</value>
          </property>
          <property>
            <name>density</name>
            <type>Constant</type>
            <value>1292</value>
          </property>
        </properties>
      </phase>
    </phases>
    <properties>
      <property>
        <name>porosity</name>
        <type>Constant</type>
        <value>0.4</value>
      </property>
      <property>
        <name>thermal_conductivity</name>
        <type>Constant</type>
        <value>1</value>
      </property>
      <property>
        <name>thermal_longitudinal_dispersivity</name>

```

```

        <type>Constant</type>
        <value>0</value>
    </property>
    <property>
        <name>thermal_transversal_dispersivity</name>
        <type>Constant</type>
        <value>0</value>
    </property>
    </properties>
</medium>
<medium id="1">
    <phases>
        <phase>
            <type>AqueousLiquid</type>
            <properties>
                <property>
                    <name>phase_velocity</name>
                    <type>Constant</type>
                    <value>0 0 0</value>
                </property>
                <property>
                    <name>specific_heat_capacity</name>
                    <type>Constant</type>
                    <value>0</value>
                </property>
                <property>
                    <name>density</name>
                    <type>Constant</type>
                    <value>0</value>
                </property>
            </properties>
        </phase>
        <phase>
            <type>Solid</type>
            <properties>
                <property>
                    <name>specific_heat_capacity</name>
                    <type>Constant</type>
                    <value>3400</value>
                </property>
                <property>
                    <name>density</name>
                    <type>Constant</type>
                    <value>1200</value>
                </property>
            </properties>
        </phase>
        <phase>
            <type>Gas</type>
            <properties>
                <property>
                    <name>specific_heat_capacity</name>
                    <type>Constant</type>
                    <value>718</value>
                </property>
                <property>
                    <name>density</name>
                    <type>Constant</type>
                    <value>1292</value>
                </property>
            </properties>
        </phase>
    </phases>
    <properties>
        <property>
            <name>porosity</name>
            <type>Constant</type>
            <value>0.2</value>
        </property>
        <property>
            <name>thermal_conductivity</name>
            <type>Constant</type>
            <value>3.5</value>
        </property>
        <property>
            <name>thermal_longitudinal_dispersivity</name>
            <type>Constant</type>
            <value>0</value>
        </property>
        <property>
            <name>thermal_transversal_dispersivity</name>
            <type>Constant</type>
            <value>0</value>
        </property>
    </properties>
</medium>
<medium id="2">
    <phases>
        <phase>
            <type>AqueousLiquid</type>
            <properties>
                <property>

```

```

        <name>phase_velocity</name>
        <type>Constant</type>
        <value>0 0</value>
    </property>
    <property>
        <name>specific_heat_capacity</name>
        <type>Constant</type>
        <value>4200</value>
    </property>
    <property>
        <name>density</name>
        <type>Constant</type>
        <value>1000</value>
    </property>
    </properties>
</phase>
<phase>
    <type>Solid</type>
    <properties>
        <property>
            <name>specific_heat_capacity</name>
            <type>Constant</type>
            <value>2500</value>
        </property>
        <property>
            <name>density</name>
            <type>Constant</type>
            <value>2700</value>
        </property>
        </properties>
</phase>
<phase>
    <type>Gas</type>
    <properties>
        <property>
            <name>specific_heat_capacity</name>
            <type>Constant</type>
            <value>718</value>
        </property>
        <property>
            <name>density</name>
            <type>Constant</type>
            <value>1292</value>
        </property>
        </properties>
</phase>
</phases>
<properties>
    <property>
        <name>porosity</name>
        <type>Constant</type>
        <value>0.17</value>
    </property>
    <property>
        <name>thermal_conductivity</name>
        <type>Constant</type>
        <value>2.6</value>
    </property>
    <property>
        <name>thermal_longitudinal_dispersivity</name>
        <type>Constant</type>
        <value>0</value>
    </property>
    <property>
        <name>thermal_transversal_dispersivity</name>
        <type>Constant</type>
        <value>0</value>
    </property>
    </properties>
</medium>
<medium id="3">
    <phases>
        <phase>
            <type>AqueousLiquid</type>
            <properties>
                <property>
                    <name>phase_velocity</name>
                    <type>Constant</type>
                    <value>0 0</value>
                </property>
                <property>
                    <name>specific_heat_capacity</name>
                    <type>Constant</type>
                    <value>4157</value>
                </property>
                <property>
                    <name>density</name>
                    <type>Constant</type>
                    <value>1000</value>
                </property>
            </properties>
        </phase>
    </phases>

```

```

<phase>
  <type>Solid</type>
  <properties>
    <property>
      <name>specific_heat_capacity</name>
      <type>Constant</type>
      <value>750</value>
    </property>
    <property>
      <name>density</name>
      <type>Constant</type>
      <value>2680</value>
    </property>
  </properties>
</phase>
<phase>
  <type>Gas</type>
  <properties>
    <property>
      <name>specific_heat_capacity</name>
      <type>Constant</type>
      <value>1000</value>
    </property>
    <property>
      <name>density</name>
      <type>Constant</type>
      <value>2500</value>
    </property>
  </properties>
</phase>
</phases>
<properties>
  <property>
    <name>porosity</name>
    <type>Constant</type>
    <value>0.1</value>
  </property>
  <property>
    <name>thermal_conductivity</name>
    <type>Constant</type>
    <value>2.965</value>
  </property>
  <property>
    <name>thermal_longitudinal_dispersivity</name>
    <type>Constant</type>
    <value>0</value>
  </property>
  <property>
    <name>thermal_transversal_dispersivity</name>
    <type>Constant</type>
    <value>0</value>
  </property>
</properties>
</medium>
</media>
<time_loop>
  <processes>
    <process ref="HeatTransportBHE">
      <nonlinear_solver>basic_picard</nonlinear_solver>
      <convergence_criterion>
        <type>DeltaX</type>
        <norm_type>NORM2</norm_type>
        <reltol>1.e-5</reltol>
      </convergence_criterion>
      <time_discretization><type>BackwardEuler</type></time_discretization>
      <time_stepping>
        <type>FixedTimeStepping</type>
        <t_initial> 0.0 </t_initial>
        <!-- use the following for full simulation
        <t_end> 15552000 </t_end>
        -->
        <t_end> 4200 </t_end>
      <timesteps>
        <!-- use the following for full simulation
        <pair><repeat>10</repeat><delta_t>720</delta_t></pair>
        <pair><repeat>4</repeat><delta_t>3600</delta_t></pair>
        <pair><repeat>1</repeat><delta_t>10800</delta_t></pair>
        -->
        <pair>
          <repeat>70</repeat>
          <delta_t>60</delta_t>
        </pair>
      </timesteps>
    </time_stepping>
  </process>
</processes>
<output>
  <type>VTK</type>
  <prefix>4bhesKAPE</prefix>
  <timesteps>
    <!-- use the following for full simulation
    <pair><repeat> 1</repeat><each_steps> 92 </each_steps></pair>

```

```

<pair><repeat> 1</repeat><each_steps> 80 </each_steps></pair>
-->
<pair>
    <repeat> 1 </repeat>
    <each_steps> 1 </each_steps>
</pair>
</timesteps>
<variables>
    <variable>temperature_soil</variable>
    <variable>temperature_BHE1</variable>
    <variable>temperature_BHE2</variable>
    <variable>temperature_BHE3</variable>
    <variable>temperature_BHE4</variable>
</variables>
<suffix>_ts_{:timestep}_t_{:time}</suffix>
</output>
</time_loop>
<parameters>
    <parameter>
        <name>T0</name>
        <type>Constant</type>
        <values>303</values>
    </parameter>
    <parameter>
        <name>T0_BHE1</name>
        <type>Constant</type>
        <values>301 301 301 301</values>
    </parameter>
    <parameter>
        <name>T0_BHE2</name>
        <type>Constant</type>
        <values>301 301 301 301</values>
    </parameter>
    <parameter>
        <name>T0_BHE3</name>
        <type>Constant</type>
        <values>301 301 301 301 301 301 301 301</values>
    </parameter>
    <parameter>
        <name>T0_BHE4</name>
        <type>Constant</type>
        <values>301 301 301 301</values>
    </parameter>
</parameters>
<process_variables>
    <process_variable>
        <name>temperature_soil</name>
        <components>1</components>
        <order>1</order>
        <initial_condition>T0</initial_condition>
        <boundary_conditions>
            <boundary_condition>
                <geometrical_set>adrikos.gli</geometrical_set>
                <geometry>top</geometry>
                <type>Dirichlet</type>
                <parameter>T0</parameter>
            </boundary_condition>
        </boundary_conditions>
    </process_variable>
    <process_variable>
        <name>temperature_BHE1</name>
        <components>4</components>
        <order>1</order>
        <initial_condition>T0_BHE1</initial_condition>
    </process_variable>
    <process_variable>
        <name>temperature_BHE2</name>
        <components>3</components>
        <order>1</order>
        <initial_condition>T0_BHE2</initial_condition>
    </process_variable>
    <process_variable>
        <name>temperature_BHE3</name>
        <components>8</components>
        <order>1</order>
        <initial_condition>T0_BHE3</initial_condition>
    </process_variable>
    <process_variable>
        <name>temperature_BHE4</name>
        <components>4</components>
        <order>1</order>
        <initial_condition>T0_BHE4</initial_condition>
    </process_variable>
</process_variables>
<nonlinear_solvers>
    <nonlinear_solver>
        <name>basic_picard</name>
        <type>picard</type>
        <max_iter>100</max_iter>
        <linear_solver>general_linear_solver</linear_solver>
    </nonlinear_solver>
</nonlinear_solvers>

```

```

<linear_solvers>
  <linear_solver>
    <name>general_linear_solver</name>
    <lis>-i cg -p jacobi -tol 1e-16 -maxiter 10000</lis>
    <eigen>
      <solver_type>BiCGSTAB</solver_type>
      <precon_type>ILUT</precon_type>
      <max_iteration_step>1000</max_iteration_step>
      <error_tolerance>1e-16</error_tolerance>
    </eigen>
    <petsc>
      <prefix>gw</prefix>
      <parameters>-gw_ksp_type cg -gw_pc_type bjacobi -gw_ksp_rtol 1e-16 -gw_ksp_max_it 10000</parameters>
    </petsc>
  </linear_solver>
</linear_solvers>
<curves>
  <curve>
    <name>inflow_temperature</name>
    <coords>0      4200
    </coords>
    <values>301     301
    </values>
  </curve>
</curves>
</OpenGeoSysProject>

```

- Αρχείο συνοριακών συνθηκών Python

```

#####
# Copyright (c) 2012-2020, OpenGeoSys Community (http://www.opengeosys.org)
# Distributed under a Modified BSD License.
# See accompanying file LICENSE.txt or
# http://www.opengeosys.org/project/license
#####

import sys
print(sys.version)
import os
import numpy as np
from pandas import read_csv
import OpenGeoSys
from tespy.networks import load_network

# User setting ++++++
# parameters
# refrigerant density
rho_f = 1000 # kg/m3
# switch for special boundary conditions
# switch of the function for manually specified dynamic flowrate
switch_dyn_rate = 'off' # 'on','off'
# switch of the function for manually specified dynamic thermal demand
switch_dyn_demand = 'on' # 'on','off'
if switch_dyn_demand == 'on':
    #give the consumer name defined by user in the network model
    consumer_name = 'consumer'

# network status setting
def network_status(t):
    nw_status = 'on'
    # month for closed network
    timerange_nw_off_month = [] # No month for closed network
    # t-1 to avoid the calculation problem at special time point,
    # e.g. t = 2592000.
    t_trans = int((t - 1) / 86400 / 30) + 1
    t_trans_month = t_trans
    if t_trans_month > 12:
        t_trans_month = t_trans - 12 * (int(t_trans / 12))
    if t_trans_month in timerange_nw_off_month:
        nw_status = 'off'
    return nw_status

# dynamic consumer thermal load
def consumer_demand(t): # dynamic thermal demand from consumer
    # time conversion
    t_trans = int((t - 1) / 86400 / 30) + 1
    if t_trans > 12:
        t_trans = t_trans - 12 * (int(t_trans / 12))
    # thermal demand in each month (assumed specific heat extraction rate*
    # length of BHE* number of BHE)
    month_demand = [
        68 * 305, 68 * 305, 68 * 305, 68 * 305,
        68 * 305, 68 * 305, 68 * 305, 68 * 305,
        68 * 305, 68 * 305,
    ]
    return month_demand[t_trans - 1]

# dynamic hydraulic flow rate at the network inlet

```

```

def dyn_frate(t):
    # time conversion
    t_trans = int((t - 1) / 86400 / 30) + 1
    if t_trans > 12:
        t_trans = t_trans - 12 * (int(t_trans / 12))
    # flow rate in kg / s time curve in month
    month_frate = []
    return month_frate[t_trans - 1]

# End User setting+++++++
# create network dataframe
def create_dataframe():
    # return dataframe
    df_nw = read_csv('./pre/bhe_network.csv',
                      delimiter=';',
                      index_col=[0],
                      dtype={'data_index': str})
    return (df_nw)

# TESPy calculation process
def get_tespy_results(t):
    # bhe network boundary conditions re parametrization
    # if network exist dynamic flowrate
    if switch_dyn_frate == 'on':
        cur_frate = dyn_frate(t)
        localVars['inlet_name'].set_attr(m=cur_frate)
    # if network exist dynamic thermal demand
    if switch_dyn_demand == 'on':
        # consumer thermal load:
        cur_month_demand = consumer_demand(t)
        nw.components[consumer_name].set_attr(Q=cur_month_demand)
    # T_out re parametrization:
    for i in range(n_BHE):
        localVars['outlet_BHE' + str(i + 1)].set_attr(T=df.loc[data_index[i],
                                                               'Tout_val'])

    # solving network
    nw.solve(mode='design')
    # get Tin_val and flow rate
    for i in range(n_BHE):
        # get Tin_val
        df.loc[df.index[i],
               'Tin_val'] = localVars['inlet_BHE' +
                                         str(i + 1)].get_attr('T').val
        # get flowrate
        df.loc[df.index[i],
               'flowrate'] = localVars['inlet_BHE' +
                                         str(i + 1)].get_attr('m').val / rho_f
    return df['Tin_val'].tolist(), df['flowrate'].tolist()

# OGS setting
# Dirichlet BCs
class BC(OpenGeoSys.BHENetwork):
    def initializeDataContainer(self):
        # initialize network and get data from the network
        nw.solve(mode='design')
        get_tespy_results()
        # convert dataframe to column list
        t = 0 # 'initial time'
        data_col_1 = df['Tin_val'].tolist() # 'Tin_val'
        data_col_2 = df['Tout_val'].tolist() # 'Tout_val'
        data_col_3 = df['Tout_node_id'].astype(int).tolist() # 'Tout_node_id'
        data_col_4 = df['flowrate'].tolist() # 'BHE flow rate'
        return (t, data_col_1, data_col_2, data_col_3, data_col_4)

    def tespySolver(self, t, Tin_val, Tout_val):
        # network status:
        nw_status = network_status(t)
        # if network closed:
        if nw_status == 'off':
            df.loc[:, 'flowrate'] = 0
            cur_flowrate = df['flowrate'].tolist()
            return (True, True, Tout_val, cur_flowrate)
        else:
            # read Tout_val to dataframe
            for i in range(n_BHE):
                df.loc[df.index[i], 'Tout_val'] = Tout_val[i]
            # TESPy solver
            cur_Tin_val, cur_flowrate = get_tespy_results(t)
            # check norm if network achieves the converge
            if_success = False
            pre_Tin_val = Tin_val
            norm_dx = np.linalg.norm(
                abs(np.asarray(pre_Tin_val) - np.asarray(cur_Tin_val)))
            norm_x = np.linalg.norm(np.asarray(cur_Tin_val))
            if norm_dx/norm_x < 1e-6:
                if_success = True
            # return to OGS

```

```

        return (True, if_success, cur_Tin_val, cur_flowrate)

# main
# initialize the tespy model of the bhe network
# load path of network model:
# loading the TESPy model
project_dir = os.getcwd()
print("Project dir is: ", project_dir)
nw = load_network('./pre/tespy_nw_closedloop')
# set if print the network iteration info
nw.set_attr(iteratorinfo=False)

# create bhe dataframe of the network system from bhe_network.csv
df = create_dataframe()
n_BHE = np.size(df.iloc[:, 0])

# create local variables of the components label and connections label in
# network
localVars = locals()
data_index = df.index.tolist()
for i in range(n_BHE):
    for c in nw.conns.index:
        # bhe inlet and outlet conn
        if c.target.label == data_index[i]: # inlet conn of bhe
            localVars['inlet_BHE' + str(i + 1)] = c
        if c.source.label == data_index[i]: # outlet conn of bhe
            localVars['outlet_BHE' + str(i + 1)] = c

# time depended flowrate
if switch_dyn_frate == 'on':
    # import the name of inlet connection from the network csv file
    inlet_name = read_csv('./pre/tespy_nw/connections.csv',
                          delimiter=';',
                          index_col=[0]).iloc[0,0]
    for c in nw.conns.index:
        # bhe inflow conn
        if c.source.label == inlet_name: # inlet conn of bhe
            localVars['inlet_name'] = c

# instantiate BC objects referenced in OpenGeoSys
bc_bhe = BC()

```

• Αρχείο δημιουργίας δικτύου Python

```

## Copyright (c) 2012-2020, OpenGeoSys Community (http://www.opengeosys.org)
# Distributed under a Modified BSD License.
# See accompanying file LICENSE.txt or
# http://www.opengeosys.org/project/license
##

# Execute this file to generate TESPy network csv files
from tespy.networks import network
from tespy.connections import connection, ref
from tespy.components import source, sink, pump, splitter, merge, heat_exchanger_simple, cycle_closer
from tespy.tools import char_line, dc_cc
import numpy as np

# %% network
btes = network(fluids=['water'], T_unit='K', p_unit='bar', h_unit='kJ / kg')

# %% components
fc = cycle_closer('cycle closer')
pu = pump('pump')
sp = splitter('splitter', num_out=5)

# bhe:
bhe1 = heat_exchanger_simple('BHE1')
bhe2 = heat_exchanger_simple('BHE2')
bhe3 = heat_exchanger_simple('BHE3')
bhe4 = heat_exchanger_simple('BHE4')
bhe5 = heat_exchanger_simple('BHE5')

mg = merge('merge', num_in=5)
cons = heat_exchanger_simple('consumer')

## components parameterization
# pump
# flow_char
# provide volumetric flow in m^3 / s
x = np.array([2.77778E-06,
5.83333E-05,
0.000113889,
0.000169444,
0.000222222,
0.000283333,
0.000336111,

```

```

0.000383333,
0.000422222,
0.000447222,
0.000505556,
0.000558333,
0.000611111,
0.000669444,
0.000725,
0.000780556,
0.000836111,
0.000891667,
0.00095,
0.001002778,
0.001061111,
0.001119445,
0.001169445,
0.001227778,
0.001280556,
0.001308333,
])

# provide head in Pa
y = np.array([3.6081,
3.5672,
3.5058,
3.4854,
3.4445,
3.4036,
3.3628,
3.3014,
3.281,
3.2401,
3.1788,
3.1379,
3.0561,
2.8926,
2.7699,
2.6064,
2.4633,
2.3202,
2.1975,
2.034,
1.8909,
1.6498,
1.5336,
1.3523,
1.1861,
1.0803,
]) * 1e5

char = char_line(x=x, y=y)
pu.set_attr(flow_char=dc_cc(func=char, is_set=True))
pu.set_attr(eta_s=0.9)

# bhes
bhe1.set_attr(D=0.025, L=55, ks=0.00001)
bhe2.set_attr(D=0.032, L=100, ks=0.00001)
bhe3.set_attr(D=0.032, L=242, ks=0.00001)
bhe4.set_attr(D=0.032, L=242, ks=0.00001)
bhe5.set_attr(D=0.040, L=238, ks=0.00001)

# consumer
cons.set_attr(pr=0.32)
# consumer heat demand
cons.set_attr(Q=21800) # W

# %% connections
fc_pu = connection(fc, 'out1', pu, 'in1')
pu_sp = connection(pu, 'out1', sp, 'in1')

sp_bhe1 = connection(sp, 'out1', bhe1, 'in1')
sp_bhe2 = connection(sp, 'out2', bhe2, 'in1')
sp_bhe3 = connection(sp, 'out3', bhe3, 'in1')
sp_bhe4 = connection(sp, 'out4', bhe4, 'in1')
sp_bhe5 = connection(sp, 'out5', bhe5, 'in1')

bhe1_mg = connection(bhe1, 'out1', mg, 'in1')
bhe2_mg = connection(bhe2, 'out1', mg, 'in2')
bhe3_mg = connection(bhe3, 'out1', mg, 'in3')
bhe4_mg = connection(bhe4, 'out1', mg, 'in4')
bhe5_mg = connection(bhe5, 'out1', mg, 'in5')

mg_cons = connection(mg, 'out1', cons, 'in1')
cons_fc = connection(cons, 'out1', fc, 'in1')

btes.add_conns(fc_pu, pu_sp, sp_bhe1, sp_bhe2, sp_bhe3, sp_bhe4, sp_bhe5, bhe1_mg, bhe2_mg,
                bhe3_mg, bhe4_mg, bhe5_mg, mg_cons, cons_fc)

## connection parametrization
# system inlet
fc_pu.set_attr(p=1, fluid={'water': 1})

```

```
# for BHEs:  
# Tout:  
bhe1_mg.set_attr(T=299)  
bhe2_mg.set_attr(T=299)  
bhe3_mg.set_attr(T=299)  
bhe4_mg.set_attr(T=299)  
bhe5_mg.set_attr(T=299)  
  
# %% solve  
btes.solve('design')  
#btes.print_results()  
  
# %% save to csv:  
btes.save('tespy_nw_closedloop')
```

Παράρτημα Γ'

Προσομοίωση δοκιμής θερμικής απόκρισης γεωεναλλάκτη τύπου 1U

- Κύριο εκτελέσιμο αρχείο OpenGeoSys

```
<?xml version="1.0" encoding="ISO-8859-1"?>
<OpenGeoSysProject>
  <mesh>TRT1.vtu</mesh>
  <geometry>TRT1.gml</geometry>
  <processes>
    <process>
      <name>HeatTransportBHE</name>
      <type>HEAT_TRANSPORT_BHE</type>
      <integration_order>2</integration_order>
      <process_variables>
        <process_variable>temperature_soil</process_variable>
        <process_variable>temperature_BHE0</process_variable>
      </process_variables>
      <borehole_heat_exchangers>
        <borehole_heat_exchanger>
          <type>1U</type>
          <flow_and_temperature_control>
            <type>TemperatureCurveConstantFlow</type>
            <flow_rate>4.933e-4</flow_rate>
            <temperature_curve>inflow_temperature</temperature_curve>
          </flow_and_temperature_control>
        <borehole>
          <length>119.0</length>
          <diameter>0.1651</diameter>
        </borehole>
        <grout>
          <density>1655.0</density>
          <porosity>0.0</porosity>
          <heat_capacity>1460.0</heat_capacity>
          <thermal_conductivity>2</thermal_conductivity>
        </grout>
      <pipes>
        <inlet>
          <diameter> 0.040</diameter>
          <wall_thickness>0.0037</wall_thickness>
          <wall_thermal_conductivity>0.49</wall_thermal_conductivity>
        </inlet>
        <outlet>
          <diameter>0.040</diameter>
          <wall_thickness>0.0037</wall_thickness>
          <wall_thermal_conductivity>0.49</wall_thermal_conductivity>
        </outlet>
        <distance_between_pipes>0.0948</distance_between_pipes>
        <longitudinal_dispersion_length>0.001</longitudinal_dispersion_length>
      </pipes>
      <refrigerant>
        <density>1000</density>
        <viscosity>0.001</viscosity>
        <specific_heat_capacity>4138.0</specific_heat_capacity>
        <thermal_conductivity>0.606</thermal_conductivity>
        <reference_temperature>20</reference_temperature>
      </refrigerant>
    </borehole_heat_exchanger>
  </borehole_heat_exchangers>
</process>
</processes>
<media>
  <medium id="0">
```

```

<phases>
  <phase>
    <type>AqueousLiquid</type>
    <properties>
      <property>
        <name>phase_velocity</name>
        <type>Constant</type>
        <value>0 0 0</value>
      </property>
      <property>
        <name>specific_heat_capacity</name>
        <type>Constant</type>
        <value>0</value>
      </property>
      <property>
        <name>density</name>
        <type>Constant</type>
        <value>0</value>
      </property>
    </properties>
  </phase>
  <phase>
    <type>Solid</type>
    <properties>
      <property>
        <name>specific_heat_capacity</name>
        <type>Constant</type>
        <value>1600</value>
      </property>
      <property>
        <name>density</name>
        <type>Constant</type>
        <value>2100</value>
      </property>
    </properties>
  </phase>
  <phase>
    <type>Gas</type>
    <properties>
      <property>
        <name>specific_heat_capacity</name>
        <type>Constant</type>
        <value>718</value>
      </property>
      <property>
        <name>density</name>
        <type>Constant</type>
        <value>1292</value>
      </property>
    </properties>
  </phase>
</phases>
<properties>
  <property>
    <name>porosity</name>
    <type>Constant</type>
    <value>0.4</value>
  </property>
  <property>
    <name>thermal_conductivity</name>
    <type>Constant</type>
    <value>1</value>
  </property>
  <property>
    <name>thermal_longitudinal_dispersivity</name>
    <type>Constant</type>
    <value>0</value>
  </property>
  <property>
    <name>thermal_transversal_dispersivity</name>
    <type>Constant</type>
    <value>0</value>
  </property>
</properties>
</medium>
<medium id="1">
  <phases>
    <phase>
      <type>AqueousLiquid</type>
      <properties>
        <property>
          <name>phase_velocity</name>
          <type>Constant</type>
          <value>0 0 0</value>
        </property>
        <property>
          <name>specific_heat_capacity</name>
          <type>Constant</type>
          <value>0</value>
        </property>
        <property>
          <name>density</name>
        </property>
      </properties>
    </phase>
  </phases>
</medium>

```

```

        <type>Constant</type>
        <value>0</value>
    </property>
</properties>
</phase>
<phase>
    <type>Solid</type>
    <properties>
        <property>
            <name>specific_heat_capacity</name>
            <type>Constant</type>
            <value>3400</value>
        </property>
        <property>
            <name>density</name>
            <type>Constant</type>
            <value>1200</value>
        </property>
    </properties>
</phase>
<phase>
    <type>Gas</type>
    <properties>
        <property>
            <name>specific_heat_capacity</name>
            <type>Constant</type>
            <value>718</value>
        </property>
        <property>
            <name>density</name>
            <type>Constant</type>
            <value>1292</value>
        </property>
    </properties>
</phase>
</phases>
<properties>
    <property>
        <name>porosity</name>
        <type>Constant</type>
        <value>0.2</value>
    </property>
    <property>
        <name>thermal_conductivity</name>
        <type>Constant</type>
        <value>3.5</value>
    </property>
    <property>
        <name>thermal_longitudinal_dispersivity</name>
        <type>Constant</type>
        <value>0</value>
    </property>
    <property>
        <name>thermal_transversal_dispersivity</name>
        <type>Constant</type>
        <value>0</value>
    </property>
</properties>
</medium>
<medium id="2">
    <phases>
        <phase>
            <type>AqueousLiquid</type>
            <properties>
                <property>
                    <name>phase_velocity</name>
                    <type>Constant</type>
                    <value>0 0</value>
                </property>
                <property>
                    <name>specific_heat_capacity</name>
                    <type>Constant</type>
                    <value>4200</value>
                </property>
                <property>
                    <name>density</name>
                    <type>Constant</type>
                    <value>1000</value>
                </property>
            </properties>
        </phase>
        <phase>
            <type>Solid</type>
            <properties>
                <property>
                    <name>specific_heat_capacity</name>
                    <type>Constant</type>
                    <value>2500</value>
                </property>
                <property>
                    <name>density</name>
                    <type>Constant</type>

```

```

                <value>2700</value>
            </property>
        </properties>
    </phase>
    <phase>
        <type>Gas</type>
        <properties>
            <property>
                <name>specific_heat_capacity</name>
                <type>Constant</type>
                <value>718</value>
            </property>
            <property>
                <name>density</name>
                <type>Constant</type>
                <value>1292</value>
            </property>
        </properties>
    </phase>
</phases>
<properties>
    <property>
        <name>porosity</name>
        <type>Constant</type>
        <value>0.17</value>
    </property>
    <property>
        <name>thermal_conductivity</name>
        <type>Constant</type>
        <value>2.6</value>
    </property>
    <property>
        <name>thermal_longitudinal_dispersivity</name>
        <type>Constant</type>
        <value>0</value>
    </property>
    <property>
        <name>thermal_transversal_dispersivity</name>
        <type>Constant</type>
        <value>0</value>
    </property>
</properties>
</medium>
<medium id="3">
    <phases>
        <phase>
            <type>AqueousLiquid</type>
            <properties>
                <property>
                    <name>phase_velocity</name>
                    <type>Constant</type>
                    <value>0 0 0</value>
                </property>
                <property>
                    <name>specific_heat_capacity</name>
                    <type>Constant</type>
                    <value>4157</value>
                </property>
                <property>
                    <name>density</name>
                    <type>Constant</type>
                    <value>1000</value>
                </property>
            </properties>
        </phase>
        <phase>
            <type>Solid</type>
            <properties>
                <property>
                    <name>specific_heat_capacity</name>
                    <type>Constant</type>
                    <value>750</value>
                </property>
                <property>
                    <name>density</name>
                    <type>Constant</type>
                    <value>2680</value>
                </property>
            </properties>
        </phase>
        <phase>
            <type>Gas</type>
            <properties>
                <property>
                    <name>specific_heat_capacity</name>
                    <type>Constant</type>
                    <value>1000</value>
                </property>
                <property>
                    <name>density</name>
                    <type>Constant</type>
                    <value>2500</value>
                </property>
            </properties>
        </phase>
    </phases>
</medium>

```

```

        </property>
    </properties>
</phase>
</phases>
<properties>
    <property>
        <name>porosity</name>
        <type>Constant</type>
        <value>0.1</value>
    </property>
    <property>
        <name>thermal_conductivity</name>
        <type>Constant</type>
        <value>2.965</value>
    </property>
    <property>
        <name>thermal_longitudinal_dispersivity</name>
        <type>Constant</type>
        <value>0</value>
    </property>
    <property>
        <name>thermal_transversal_dispersivity</name>
        <type>Constant</type>
        <value>0</value>
    </property>
</properties>
</medium>
</media>
<time_loop>
    <processes>
        <process ref="HeatTransportBHE">
            <nonlinear_solver>basic_picard</nonlinear_solver>
            <convergence_criterion>
                <type>DeltaX</type>
                <norm_type>NORM2</norm_type>
                <reltol>1e-10</reltol>
            </convergence_criterion>
            <time_discretization>
                <type>BackwardEuler</type>
            </time_discretization>
            <time_stepping>
                <type>FixedTimeStepping</type>
                <t_initial> 0.0 </t_initial>
                <t_end> 322800</t_end>
                <timesteps>
                    <pair>
                        <repeat>538</repeat>
                        <delta_t>600</delta_t>
                    </pair>
                </timesteps>
            </time_stepping>
        </process>
    </processes>
    <output>
        <type>VTK</type>
        <prefix>beier1U</prefix>
        <timesteps>
            <pair>
                <repeat> 1</repeat>
                <each_steps> 1 </each_steps>
            </pair>
        </timesteps>
        <variables>
            <variable>temperature_soil</variable>
            <variable>temperature_BHE0</variable>
        </variables>
    </output>
    </time_loop>
<parameters>
    <parameter>
        <name>T0</name>
        <type>Constant</type>
        <value>24.65</value>
    </parameter>
    <parameter>
        <name>T0_BHE0</name>
        <type>Constant</type>
        <values>27.06 23.6 25.33 25.33</values>
    </parameter>
</parameters>
<process_variables>
    <process_variable>
        <name>temperature_soil</name>
        <components>1</components>
        <order>1</order>
        <initial_condition>T0</initial_condition>
        <boundary_conditions>
        </boundary_conditions>
    </process_variable>
    <process_variable>
        <name>temperature_BHE0</name>
        <components>4</components>

```

```

<order>1</order>
  <initial_condition>T0_BHE0</initial_condition>
</process_variables>
<nonlinear_solvers>
  <nonlinear_solver>
    <name>basic_picard</name>
    <type>picard</type>
    <max_iter>100</max_iter>
    <linear_solver>general_linear_solver</linear_solver>
  </nonlinear_solver>
</nonlinear_solvers>
<linear_solvers>
  <linear_solver>
    <name>general_linear_solver</name>
    <lis>-i cg -p jacobi -tol 1e-16 -maxiter 10000</lis>
    <eigen>
      <solver_type>BiCGSTAB</solver_type>
      <precon_type>ILUT</precon_type>
      <max_iteration_step>1000</max_iteration_step>
      <error_tolerance>1e-16</error_tolerance>
    </eigen>
    <petsc>
      <prefix>gw</prefix>
      <parameters>-gw_ksp_type cg -gw_pc_type bjacobi -gw_ksp_rtol 1e-16 -gw_ksp_max_it 10000</parameters>
    </petsc>
  </linear_solver>
</linear_solvers>
<curves>
  <curve>
    <name>inflow_temperature</name>
    <coords>600
1200
1800
2400
3000
3600
4200
4800
5400
6000
6600
7200
7800
8400
9000
9600
10200
10800
11400
12000
12600
13200
13800
14400
15000
15600
16200
16800
17400
18000
18600
19200
19800
20400
21000
21600
22200
22800
23400
24000
24600
25200
25800
26400
27000
27600
28200
28800
29400
30000
30600
31200
31800
32400
33000
33600
34200
34800
35400
36000
36600

```

37200
37800
38400
39000
39600
40200
40800
41400
42000
42600
43200
43800
44400
45000
45600
46200
46800
47400
48000
48600
49200
49800
50400
51000
51600
52200
52800
53400
54000
54600
55200
55800
56400
57000
57600
58200
58800
59400
60000
60600
61200
61800
62400
63000
63600
64200
64800
65400
66000
66600
67200
67800
68400
69000
69600
70200
70800
71400
72000
72600
73200
73800
74400
75000
75600
76200
76800
77400
78000
78600
79200
79800
80400
81000
81600
82200
82800
83400
84000
84600
85200
85800
86400
87000
87600
88200
88800
89400
90000
90600
91200
91800

92400
93000
93600
94200
94800
95400
96000
96600
97200
97800
98400
99000
99600
100200
100800
101400
102000
102600
103200
103800
104400
105000
105600
106200
106800
107400
108000
108600
109200
109800
110400
111000
111600
112200
112800
113400
114000
114600
115200
115800
116400
117000
117600
118200
118800
119400
120000
120600
121200
121800
122400
123000
123600
124200
124800
125400
126000
126600
127200
127800
128400
129000
129600
130200
130800
131400
132000
132600
133200
133800
134400
135000
135600
136200
136800
137400
138000
138600
139200
139800
140400
141000
141600
142200
142800
143400
144000
144600
145200
145800
146400
147000

147600
148200
148800
149400
150000
150600
151200
151800
152400
153000
153600
154200
154800
155400
156000
156600
157200
157800
158400
159000
159600
160200
160800
161400
162000
162600
163200
163800
164400
165000
165600
166200
166800
167400
168000
168600
169200
169800
170400
171000
171600
172200
172800
173400
174000
174600
175200
175800
176400
177000
177600
178200
178800
179400
180000
180600
181200
181800
182400
183000
183600
184200
184800
185400
186000
186600
187200
187800
188400
189000
189600
190200
190800
191400
192000
192600
193200
193800
194400
195000
195600
196200
196800
197400
198000
198600
199200
199800
200400
201000
201600
202200

202800
203400
204000
204600
205200
205800
206400
207000
207600
208200
208800
209400
210000
210600
211200
211800
212400
213000
213600
214200
214800
215400
216000
216600
217200
217800
218400
219000
219600
220200
220800
221400
222000
222600
223200
223800
224400
225000
225600
226200
226800
227400
228000
228600
229200
229800
230400
231000
231600
232200
232800
233400
234000
234600
235200
235800
236400
237000
237600
238200
238800
239400
240000
240600
241200
241800
242400
243000
243600
244200
244800
245400
246000
246600
247200
247800
248400
249000
249600
250200
250800
251400
252000
252600
253200
253800
254400
255000
255600
256200
256800
257400

258000
258600
259200
259800
260400
261000
261600
262200
262800
263400
264000
264600
265200
265800
266400
267000
267600
268200
268800
269400
270000
270600
271200
271800
272400
273000
273600
274200
274800
275400
276000
276600
277200
277800
278400
279000
279600
280200
280800
281400
282000
282600
283200
283800
284400
285000
285600
286200
286800
287400
288000
288600
289200
289800
290400
291000
291600
292200
292800
293400
294000
294600
295200
295800
296400
297000
297600
298200
298800
299400
300000
300600
301200
301800
302400
303000
303600
304200
304800
305400
306000
306600
307200
307800
308400
309000
309600
310200
310800
311400
312000
312600

```
313200
313800
314400
315000
315600
316200
316800
317400
318000
318600
319200
319800
320400
321000
321600
322200
322800</coords>
          <values>19.84
22.95
24.54
25.15
26.41
27.06
27.48
27.92
28.14
28.56
28.82
29.09
28.93
29.35
29.68
29.91
30.1
30.33
30.49
30.64
30.63
30.74
30.82
31.03
31.14
31.24
31.32
31.38
31.45
31.55
31.61
31.65
31.78
31.94
31.99
32.07
32.19
32.23
32.27
32.34
32.42
32.44
32.53
32.61
32.6
32.63
32.61
32.61
32.73
32.83
32.89
32.95
32.99
33.06
33.05
33.1
33.15
33.19
33.19
33.21
33.27
33.28
33.33
33.36
33.4
33.42
33.47
33.51
33.48
33.48
33.49
33.52
33.53
33.55
33.58
```

33.6
33.59
33.61
33.64
33.64
33.65
33.65
33.66
33.65
33.66
33.66
33.68
33.72
33.71
33.75
33.76
33.77
33.8
33.79
33.78
33.8
33.82
33.84
33.85
33.87
33.89
33.95
34
33.98
33.98
33.95
33.95
34
34.05
34.07
34.12
34.12
34.13
34.12
34.12
34.11
34.2
34.24
34.26
34.27
34.3
34.28
34.26
34.28
34.29
34.32
34.3
34.25
34.28
34.25
34.31
34.36
34.36
34.39
34.41
34.45
34.43
34.42
34.43
34.43
34.48
34.5
34.52
34.55
34.55
34.56
34.62
34.65
34.66
34.62
34.63
34.62
34.6
34.59
34.61
34.59
34.61
34.61
34.62
34.64
34.66
34.66
34.66
34.68
34.68
34.69

34.69
34.72
34.69
34.68
34.73
34.7
34.7
34.68
34.68
34.75
34.81
34.87
34.85
34.91
34.93
34.93
34.98
34.95
34.94
34.96
34.91
34.9
34.9
34.9
34.9
34.93
34.95
34.97
34.98
34.98
35.01
35.03
35.05
35.05
35.08
35.08
35.11
35.11
35.13
35.15
35.21
35.15
35.13
35.14
35.16
35.17
35.17
35.19
35.22
35.26
35.28
35.27
35.3
35.3
35.33
35.27
35.24
35.23
35.2
35.22
35.22
35.18
35.19
35.27
35.29
35.35
35.33
35.35
35.36
35.35
35.33
35.3
35.26
35.31
35.29
35.3
35.27
35.31
35.31
35.29
35.34
35.27
35.27
35.31
35.39
35.39
35.41
35.42
35.41
35.4
35.39

35.34
35.46
35.46
35.45
35.48
35.5
35.48
35.51
35.47
35.47
35.55
35.58
35.58
35.61
35.59
35.6
35.6
35.64
35.66
35.67
35.7
35.68
35.74
35.68
35.68
35.65
35.66
35.61
35.63
35.63
35.66
35.67
35.66
35.65
35.66
35.66
35.69
35.71
35.74
35.73
35.71
35.7
35.72
35.71
35.71
35.68
35.73
35.76
35.69
35.67
35.66
35.64
35.64
35.65
35.69
35.64
35.63
35.61
35.59
35.56
35.49
35.57
35.61
35.65
35.6
35.67
35.66
35.71
35.65
35.64
35.63
35.61
35.63
35.67
35.67
35.63
35.55
35.6
35.62
35.64
35.65
35.67
35.62
35.6
35.61
35.64
35.65
35.61
35.63
35.67
35.69
35.72

35.67
35.68
35.7
35.7
35.68
35.69
35.65
35.65
35.66
35.66
35.67
35.69
35.7
35.72
35.74
35.75
35.72
35.68
35.65
35.66
35.65
35.61
35.62
35.69
35.73
35.76
35.85
35.78
35.79
35.76
35.71
35.73
35.77
35.8
35.78
35.81
35.83
35.75
35.76
35.74
35.7
35.71
35.69
35.67
35.73
35.71
35.71
35.8
35.78
35.79
35.77
35.77
35.76
35.72
35.75
35.76
35.71
35.78
35.77
35.77
35.76
35.75
35.75
35.72
35.77
35.8
35.78
35.78
35.82
35.85
35.88
35.9
35.94
35.95
35.94
35.98
35.95
35.99
35.9
35.91
35.93
35.94
35.94
35.99
35.99
36.03
36.03
36.02
36.02
36.02
36.06
36.06

36.04
36.04
36.01
35.99
35.99
35.97
35.96
35.9
35.94
36.05
36.07
36.1
36.1
36.11
36.12
36.13
36.11
36.07
36.04
36.01
36.02
36.05
36.09
36.1
36.11
36.15
36.14
36.16
36.14
36.15
36.14
36.16
36.09
36.13
36.07
36.07
36.02
36.11
36.12
36.13
36.15
36.18
36.22
36.26
36.3
36.31
36.31
36.36
36.38
36.38
36.42
36.36
36.28
36.31
36.3
36.31
36.33
36.34
36.35
36.35
36.37
36.35
36.37
36.42
36.43
36.45
36.45
36.47
36.47
36.48
36.48
36.45
36.46
36.46
36.45
36.45
36.48
36.46
36.46
36.42
36.4
36.42
36.41
36.42
36.35
36.41
36.42
36.4
36.35
36.4
36.38
36.31

```
36.36
36.4
36.43</values>
    </curve>
</curves>
</OpenGeoSysProject>
```

Παράρτημα Δ'

Προσομοίωση δοκιμής θερμικής απόκρισης γεωεναλλάκτη τύπου 2U

- Κύριο εκτελέσιμο αρχείο OpenGeoSys

```
<?xml version="1.0" encoding="ISO-8859-1"?>
<OpenGeoSysProject>
  <mesh>TRT.vtu</mesh>
  <geometry>TRT.gml</geometry>
  <processes>
    <process>
      <name>HeatTransportBHE</name>
      <type>HEAT_TRANSPORT_BHE</type>
      <integration_order>2</integration_order>
      <process_variables>
        <process_variable>temperature_soil</process_variable>
        <process_variable>temperature_BHE0</process_variable>
      </process_variables>
      <borehole_heat_exchangers>
        <borehole_heat_exchanger>
          <type>2U</type>
          <flow_and_temperature_control>
            <type>TemperatureCurveConstantFlow</type>
            <flow_rate>2.375e-4</flow_rate>
            <temperature_curve>inflow_temperature</temperature_curve>
          </flow_and_temperature_control>
        <borehole>
          <length>121.0</length>
          <diameter>0.1651</diameter>
        </borehole>
        <grout>
          <density>1655.0</density>
          <porosity>0.0</porosity>
          <heat_capacity>1460.0</heat_capacity>
          <thermal_conductivity>2</thermal_conductivity>
        </grout>
      <pipes>
        <inlet>
          <diameter> 0.032</diameter>
          <wall_thickness>0.0029</wall_thickness>
          <wall_thermal_conductivity>0.49</wall_thermal_conductivity>
        </inlet>
        <outlet>
          <diameter>0.032</diameter>
          <wall_thickness>0.0029</wall_thickness>
          <wall_thermal_conductivity>0.49</wall_thermal_conductivity>
        </outlet>
        <distance_between_pipes>0.0756</distance_between_pipes>
        <longitudinal_dispersion_length>0.001</longitudinal_dispersion_length>
      </pipes>
      <refrigerant>
        <density>1000</density>
        <viscosity>0.001</viscosity>
        <specific_heat_capacity>4138.0</specific_heat_capacity>
        <thermal_conductivity>0.606</thermal_conductivity>
        <reference_temperature>20</reference_temperature>
      </refrigerant>
    </borehole_heat_exchanger>
  </borehole_heat_exchangers>
</process>
</processes>
<media>
  <medium id="0">
```

```

<phases>
  <phase>
    <type>AqueousLiquid</type>
    <properties>
      <property>
        <name>phase_velocity</name>
        <type>Constant</type>
        <value>0 0 0</value>
      </property>
      <property>
        <name>specific_heat_capacity</name>
        <type>Constant</type>
        <value>0</value>
      </property>
      <property>
        <name>density</name>
        <type>Constant</type>
        <value>0</value>
      </property>
    </properties>
  </phase>
  <phase>
    <type>Solid</type>
    <properties>
      <property>
        <name>specific_heat_capacity</name>
        <type>Constant</type>
        <value>1600</value>
      </property>
      <property>
        <name>density</name>
        <type>Constant</type>
        <value>2100</value>
      </property>
    </properties>
  </phase>
  <phase>
    <type>Gas</type>
    <properties>
      <property>
        <name>specific_heat_capacity</name>
        <type>Constant</type>
        <value>718</value>
      </property>
      <property>
        <name>density</name>
        <type>Constant</type>
        <value>1292</value>
      </property>
    </properties>
  </phase>
</phases>
<properties>
  <property>
    <name>porosity</name>
    <type>Constant</type>
    <value>0.4</value>
  </property>
  <property>
    <name>thermal_conductivity</name>
    <type>Constant</type>
    <value>1</value>
  </property>
  <property>
    <name>thermal_longitudinal_dispersivity</name>
    <type>Constant</type>
    <value>0</value>
  </property>
  <property>
    <name>thermal_transversal_dispersivity</name>
    <type>Constant</type>
    <value>0</value>
  </property>
</properties>
</medium>
<medium id="1">
  <phases>
    <phase>
      <type>AqueousLiquid</type>
      <properties>
        <property>
          <name>phase_velocity</name>
          <type>Constant</type>
          <value>0 0 0</value>
        </property>
        <property>
          <name>specific_heat_capacity</name>
          <type>Constant</type>
          <value>0</value>
        </property>
        <property>
          <name>density</name>
        </property>
      </properties>
    </phase>
  </phases>
</medium>

```

```

        <type>Constant</type>
        <value>0</value>
    </property>
</properties>
</phase>
<phase>
    <type>Solid</type>
    <properties>
        <property>
            <name>specific_heat_capacity</name>
            <type>Constant</type>
            <value>3400</value>
        </property>
        <property>
            <name>density</name>
            <type>Constant</type>
            <value>1200</value>
        </property>
    </properties>
</phase>
<phase>
    <type>Gas</type>
    <properties>
        <property>
            <name>specific_heat_capacity</name>
            <type>Constant</type>
            <value>718</value>
        </property>
        <property>
            <name>density</name>
            <type>Constant</type>
            <value>1292</value>
        </property>
    </properties>
</phase>
</phases>
<properties>
    <property>
        <name>porosity</name>
        <type>Constant</type>
        <value>0.2</value>
    </property>
    <property>
        <name>thermal_conductivity</name>
        <type>Constant</type>
        <value>3.5</value>
    </property>
    <property>
        <name>thermal_longitudinal_dispersivity</name>
        <type>Constant</type>
        <value>0</value>
    </property>
    <property>
        <name>thermal_transversal_dispersivity</name>
        <type>Constant</type>
        <value>0</value>
    </property>
</properties>
</medium>
<medium id="2">
    <phases>
        <phase>
            <type>AqueousLiquid</type>
            <properties>
                <property>
                    <name>phase_velocity</name>
                    <type>Constant</type>
                    <value>0 0</value>
                </property>
                <property>
                    <name>specific_heat_capacity</name>
                    <type>Constant</type>
                    <value>4200</value>
                </property>
                <property>
                    <name>density</name>
                    <type>Constant</type>
                    <value>1000</value>
                </property>
            </properties>
        </phase>
        <phase>
            <type>Solid</type>
            <properties>
                <property>
                    <name>specific_heat_capacity</name>
                    <type>Constant</type>
                    <value>2500</value>
                </property>
                <property>
                    <name>density</name>
                    <type>Constant</type>

```

```

                <value>2700</value>
            </property>
        </properties>
    </phase>
    <phase>
        <type>Gas</type>
        <properties>
            <property>
                <name>specific_heat_capacity</name>
                <type>Constant</type>
                <value>718</value>
            </property>
            <property>
                <name>density</name>
                <type>Constant</type>
                <value>1292</value>
            </property>
        </properties>
    </phase>
</phases>
<properties>
    <property>
        <name>porosity</name>
        <type>Constant</type>
        <value>0.17</value>
    </property>
    <property>
        <name>thermal_conductivity</name>
        <type>Constant</type>
        <value>2.6</value>
    </property>
    <property>
        <name>thermal_longitudinal_dispersivity</name>
        <type>Constant</type>
        <value>0</value>
    </property>
    <property>
        <name>thermal_transversal_dispersivity</name>
        <type>Constant</type>
        <value>0</value>
    </property>
</properties>
</medium>
<medium id="3">
    <phases>
        <phase>
            <type>AqueousLiquid</type>
            <properties>
                <property>
                    <name>phase_velocity</name>
                    <type>Constant</type>
                    <value>0 0 0</value>
                </property>
                <property>
                    <name>specific_heat_capacity</name>
                    <type>Constant</type>
                    <value>4157</value>
                </property>
                <property>
                    <name>density</name>
                    <type>Constant</type>
                    <value>1000</value>
                </property>
            </properties>
        </phase>
        <phase>
            <type>Solid</type>
            <properties>
                <property>
                    <name>specific_heat_capacity</name>
                    <type>Constant</type>
                    <value>750</value>
                </property>
                <property>
                    <name>density</name>
                    <type>Constant</type>
                    <value>2680</value>
                </property>
            </properties>
        </phase>
        <phase>
            <type>Gas</type>
            <properties>
                <property>
                    <name>specific_heat_capacity</name>
                    <type>Constant</type>
                    <value>1000</value>
                </property>
                <property>
                    <name>density</name>
                    <type>Constant</type>
                    <value>2500</value>
                </property>
            </properties>
        </phase>
    </phases>
</medium>

```

```

        </property>
    </properties>
</phase>
</phases>
<properties>
    <property>
        <name>porosity</name>
        <type>Constant</type>
        <value>0.1</value>
    </property>
    <property>
        <name>thermal_conductivity</name>
        <type>Constant</type>
        <value>2.965</value>
    </property>
    <property>
        <name>thermal_longitudinal_dispersivity</name>
        <type>Constant</type>
        <value>0</value>
    </property>
    <property>
        <name>thermal_transversal_dispersivity</name>
        <type>Constant</type>
        <value>0</value>
    </property>
</properties>
</medium>
</media>
</time_loop>
<processes>
    <process ref="HeatTransportBHE">
        <nonlinear_solver>basic_picard</nonlinear_solver>
        <convergence_criterion>
            <type>DeltaX</type>
            <norm_type>NORM2</norm_type>
            <reltol>1e-10</reltol>
        </convergence_criterion>
        <time_discretization>
            <type>BackwardEuler</type>
        </time_discretization>
        <time_stepping>
            <type>FixedTimeStepping</type>
            <t_initial> 0.0 </t_initial>
            <!-- use the following for full simulation
            <t_end> 186420 </t_end>
            -->
            <t_end> 259800</t_end>
            <timesteps>
                <!-- use the following for full simulation
                <pair><repeat>3107</repeat><delta_t>60</delta_t></pair>
                -->
                <pair>
                    <repeat>433</repeat>
                    <delta_t>600</delta_t>
                </pair>
            </timesteps>
        </time_stepping>
    </process>
</processes>
<output>
    <type>VTK</type>
    <prefix>beier2u</prefix>
    <timesteps>
        <pair>
            <repeat> 1</repeat>
            <each_steps> 1 </each_steps>
        </pair>
    </timesteps>
    <variables>
        <variable>temperature_soil</variable>
        <variable>temperature_BHE0</variable>
    </variables>
</output>
</time_loop>
<parameters>
    <parameter>
        <name>T0</name>
        <type>Constant</type>
        <value>21.63</value>
    </parameter>
    <parameter>
        <name>T0_BHE0</name>
        <type>Constant</type>
        <values> 24.12 24.12 20.49 20.49 22.3 22.3 22.3 22.3</values>
    </parameter>
</parameters>
<process_variables>
    <process_variable>
        <name>temperature_soil</name>
        <components>1</components>
        <order>1</order>
        <initial_condition>T0</initial_condition>

```

```

<boundary_conditions>
  </boundary_conditions>
</process_variable>
<process_variable>
  <name>temperature_BHE0</name>
  <components>8</components>
  <order>1</order>
  <initial_condition>T0_BHE0</initial_condition>
</process_variable>
</process_variables>
<nonlinear_solvers>
  <nonlinear_solver>
    <name>basic_picard</name>
    <type>picard</type>
    <max_iter>100</max_iter>
    <linear_solver>general_linear_solver</linear_solver>
  </nonlinear_solver>
</nonlinear_solvers>
<linear_solvers>
  <linear_solver>
    <name>general_linear_solver</name>
    <lis>-i cg -p jacobi -tol 1e-16 -maxiter 10000</lis>
    <eigen>
      <solver_type>BiCGSTAB</solver_type>
      <precon_type>ILUT</precon_type>
      <max_iteration_step>1000</max_iteration_step>
      <error_tolerance>1e-16</error_tolerance>
    </eigen>
    <petsc>
      <prefix>gw</prefix>
      <parameters>-gw_ksp_type cg -gw_pc_type bjacobi -gw_ksp_rtol 1e-16 -gw_ksp_max_it 10000</parameters>
    </petsc>
  </linear_solver>
</linear_solvers>
<curves>
  <curve>
    <name>inflow_temperature</name>
    <coords>600
1200
1800
2400
3000
3600
4200
4800
5400
6000
6600
7200
7800
8400
9000
9600
10200
10800
11400
12000
12600
13200
13800
14400
15000
15600
16200
16800
17400
18000
18600
19200
19800
20400
21000
21600
22200
22800
23400
24000
24600
25200
25800
26400
27000
27600
28200
28800
29400
30000
30600
31200
31800
32400
33000

```

33600
34200
34800
35400
36000
36600
37200
37800
38400
39000
39600
40200
40800
41400
42000
42600
43200
43800
44400
45000
45600
46200
46800
47400
48000
48600
49200
49800
50400
51000
51600
52200
52800
53400
54000
54600
55200
55800
56400
57000
57600
58200
58800
59400
60000
60600
61200
61800
62400
63000
63600
64200
64800
65400
66000
66600
67200
67800
68400
69000
69600
70200
70800
71400
72000
72600
73200
73800
74400
75000
75600
76200
76800
77400
78000
78600
79200
79800
80400
81000
81600
82200
82800
83400
84000
84600
85200
85800
86400
87000
87600
88200

88800
89400
90000
90600
91200
91800
92400
93000
93600
94200
94800
95400
96000
96600
97200
97800
98400
99000
99600
100200
100800
101400
102000
102600
103200
103800
104400
105000
105600
106200
106800
107400
108000
108600
109200
109800
110400
111000
111600
112200
112800
113400
114000
114600
115200
115800
116400
117000
117600
118200
118800
119400
120000
120600
121200
121800
122400
123000
123600
124200
124800
125400
126000
126600
127200
127800
128400
129000
129600
130200
130800
131400
132000
132600
133200
133800
134400
135000
135600
136200
136800
137400
138000
138600
139200
139800
140400
141000
141600
142200
142800
143400

144000
144600
145200
145800
146400
147000
147600
148200
148800
149400
150000
150600
151200
151800
152400
153000
153600
154200
154800
155400
156000
156600
157200
157800
158400
159000
159600
160200
160800
161400
162000
162600
163200
163800
164400
165000
165600
166200
166800
167400
168000
168600
169200
169800
170400
171000
171600
172200
172800
173400
174000
174600
175200
175800
176400
177000
177600
178200
178800
179400
180000
180600
181200
181800
182400
183000
183600
184200
184800
185400
186000
186600
187200
187800
188400
189000
189600
190200
190800
191400
192000
192600
193200
193800
194400
195000
195600
196200
196800
197400
198000
198600

199200
199800
200400
201000
201600
202200
202800
203400
204000
204600
205200
205800
206400
207000
207600
208200
208800
209400
210000
210600
211200
211800
212400
213000
213600
214200
214800
215400
216000
216600
217200
217800
218400
219000
219600
220200
220800
221400
222000
222600
223200
223800
224400
225000
225600
226200
226800
227400
228000
228600
229200
229800
230400
231000
231600
232200
232800
233400
234000
234600
235200
235800
236400
237000
237600
238200
238800
239400
240000
240600
241200
241800
242400
243000
243600
244200
244800
245400
246000
246600
247200
247800
248400
249000
249600
250200
250800
251400
252000
252600
253200
253800

```
254400  
255000  
255600  
256200  
256800  
257400  
258000  
258600  
259200  
259800</coords>  
<values>19.63  
20  
19.92  
19.88  
19.89  
23.46  
24.12  
24.7  
25.25  
25.67  
26.02  
26.3  
26.57  
26.83  
27.01  
27.25  
27.44  
27.59  
27.76  
27.91  
28.05  
28.17  
28.3  
28.43  
28.55  
28.64  
28.68  
28.77  
28.83  
28.91  
29  
29.07  
29.13  
29.2  
29.25  
29.3  
29.34  
29.4  
29.45  
29.48  
29.55  
29.65  
29.69  
29.71  
29.74  
29.84  
29.85  
29.93  
29.99  
30.04  
30.12  
30.21  
30.23  
30.3  
30.34  
30.33  
30.33  
30.37  
30.44  
30.42  
30.46  
30.48  
30.54  
30.62  
30.61  
30.64  
30.72  
30.79  
30.78  
30.82  
30.82  
30.83  
30.86  
30.91  
30.96  
30.99  
30.98  
30.98  
31  
31.02  
31.05  
31.08
```

31.11
31.08
31.12
31.16
31.18
31.21
31.25
31.23
31.26
31.29
31.29
31.32
31.35
31.36
31.38
31.38
31.4
31.41
31.41
31.43
31.45
31.47
31.45
31.46
31.53
31.57
31.55
31.52
31.61
31.61
31.62
31.58
31.56
31.62
31.64
31.62
31.63
31.67
31.65
31.66
31.69
31.69
31.69
31.75
31.75
31.74
31.8
31.82
31.83
31.83
31.87
31.86
31.87
31.9
31.88
31.89
31.91
31.92
31.92
31.92
31.95
31.97
31.99
32.01
32.05
32.07
32.11
32.12
32.13
32.13
32.17
32.2
32.24
32.24
32.28
32.32
32.28
32.27
32.31
32.31
32.33
32.34
32.37
32.4
32.4
32.41
32.42
32.42
32.43
32.45
32.46
32.47

32.46
32.5
32.48
32.5
32.49
32.49
32.47
32.47
32.44
32.45
32.46
32.46
32.47
32.47
32.47
32.47
32.57
32.59
32.6
32.67
32.65
32.67
32.7
32.7
32.69
32.69
32.67
32.7
32.72
32.72
32.71
32.71
32.71
32.71
32.7
32.72
32.73
32.76
32.79
32.83
32.79
32.83
32.86
32.87
32.9
32.87
32.89
32.87
32.86
32.87
32.88
32.91
32.94
32.91
32.89
32.9
32.89
32.95
32.94
32.96
32.95
32.95
32.95
32.95
32.95
32.94
32.95
32.95
32.95
32.97
32.96
32.95
32.93
32.96
33.01
33
33
33
32.96
32.94
32.97
32.93
32.97
32.95
33
32.96
33.06
33.05
33.05
33.01
33
32.95
32.97
33.06
33.06

33.08
33.03
33.04
33.04
33
33
32.99
33.05
33.05
33.05
33.06
33.06
33.08
33.08
33.06
33.07
33.08
33.09
33.11
33.11
33.11
33.12
33.14
33.13
33.15
33.15
33.18
33.2
33.27
33.27
33.24
33.27
33.22
33.25
33.26
33.29
33.31
33.3
33.35
33.33
33.34
33.32
33.33
33.35
33.34
33.36
33.38
33.38
33.39
33.39
33.38
33.39
33.41
33.41
33.41
33.42
33.41
33.43
33.34
33.41
33.37
33.37
33.39
33.38
33.39
33.46
33.46
33.45
33.47
33.5
33.53
33.5
33.54
33.56
33.56
33.62
33.55
33.55
33.56
33.57
33.6
33.63
33.58
33.58
33.58
33.6
33.64
33.68
33.65
33.64
33.66
33.7
33.66

```
33.68
33.7
33.65
33.65
33.65
33.64
33.64
33.65
33.64
33.65
33.67
33.68
33.71
33.69
33.72
33.72
33.74
33.73
33.75
33.77
33.75
33.78
33.79
33.76
33.78
33.78
33.75
33.8
33.74
33.71
33.73
33.72
33.72
33.7
33.69
33.65
33.67
33.72
33.65
33.69
33.62
33.62
33.66
33.67
33.66
33.66
33.63
33.64
33.62
33.65
33.66
33.73
33.64
33.64
33.64
33.61
33.63
33.59
33.58
33.61
33.59
33.57
33.59
33.63
33.65
33.64
33.66
33.67
33.68
33.66
33.68
33.68
33.65
33.66
33.67
33.68
33.68
33.67</values>
      </curve>
    </curves>
</OpenGeoSysProject>
```


Παράρτημα Ε'

Προσομοίωση δοκιμής θερμικής απόκρισης γεωεναλλάκτη ομοαξονικού τύπου

- Κύριο εκτελέσιμο αρχείο OpenGeoSys

```
<?xml version="1.0" encoding="ISO-8859-1"?>
<OpenGeoSysProject>
    <mesh>TRI2.vtu</mesh>
    <geometry>TRI2.gml</geometry>
    <processes>
        <process>
            <name>HeatTransportBHE</name>
            <type>HEAT_TRANSPORT_BHE</type>
            <integration_order>2</integration_order>
            <process_variables>
                <process_variable>temperature_soil</process_variable>
                <process_variable>temperature_BHE0</process_variable>
            </process_variables>
            <borehole_heat_exchangers>
                <borehole_heat_exchanger>
                    <type>CXA</type>
                    <flow_and_temperature_control>
                        <type>TemperatureCurveConstantFlow</type>
                        <flow_rate>5.7778e-4</flow_rate>
                        <temperature_curve>inflow_temperature</temperature_curve>
                    </flow_and_temperature_control>
                    <borehole>
                        <length>50.0</length>
                        <diameter>0.11</diameter>
                    </borehole>
                    <grout>
                        <density>1000</density>
                        <porosity>0.0</porosity>
                        <heat_capacity>4180</heat_capacity>
                        <thermal_conductivity>1</thermal_conductivity>
                    </grout>
                    <pipes>
                        <outer>
                            <diameter> 0.076</diameter>
                            <wall_thickness>0.0045</wall_thickness>
                            <wall_thermal_conductivity>1.6</wall_thermal_conductivity>
                        </outer>
                        <inner>
                            <diameter>0.032</diameter>
                            <wall_thickness>0.0029</wall_thickness>
                            <wall_thermal_conductivity>0.43</wall_thermal_conductivity>
                        </inner>
                        <longitudinal_dispersion_length>0.001</longitudinal_dispersion_length>
                    </pipes>
                    <refrigerant>
                        <density>1000</density>
                        <viscosity>0.00114</viscosity>
                        <specific_heat_capacity>4138.0</specific_heat_capacity>
                        <thermal_conductivity>0.598</thermal_conductivity>
                        <reference_temperature>20</reference_temperature>
                    </refrigerant>
                </borehole_heat_exchanger>
            </borehole_heat_exchangers>
        </process>
    </processes>
</OpenGeoSysProject>
```

```

</processes>
<media>
  <medium id="0">
    <phases>
      <phase>
        <type>AqueousLiquid</type>
        <properties>
          <property>
            <name>phase_velocity</name>
            <type>Constant</type>
            <value>0 0 0</value>
          </property>
          <property>
            <name>specific_heat_capacity</name>
            <type>Constant</type>
            <value>0</value>
          </property>
          <property>
            <name>density</name>
            <type>Constant</type>
            <value>0</value>
          </property>
        </properties>
      </phase>
      <phase>
        <type>Solid</type>
        <properties>
          <property>
            <name>specific_heat_capacity</name>
            <type>Constant</type>
            <value>1600</value>
          </property>
          <property>
            <name>density</name>
            <type>Constant</type>
            <value>2100</value>
          </property>
        </properties>
      </phase>
      <phase>
        <type>Gas</type>
        <properties>
          <property>
            <name>specific_heat_capacity</name>
            <type>Constant</type>
            <value>718</value>
          </property>
          <property>
            <name>density</name>
            <type>Constant</type>
            <value>1292</value>
          </property>
        </properties>
      </phase>
    </phases>
    <properties>
      <property>
        <name>porosity</name>
        <type>Constant</type>
        <value>0.4</value>
      </property>
      <property>
        <name>thermal_conductivity</name>
        <type>Constant</type>
        <value>1</value>
      </property>
      <property>
        <name>thermal_longitudinal_dispersivity</name>
        <type>Constant</type>
        <value>0</value>
      </property>
      <property>
        <name>thermal_transversal_dispersivity</name>
        <type>Constant</type>
        <value>0</value>
      </property>
    </properties>
  </medium>
  <medium id="1">
    <phases>
      <phase>
        <type>AqueousLiquid</type>
        <properties>
          <property>
            <name>phase_velocity</name>
            <type>Constant</type>
            <value>0 0 0</value>
          </property>
          <property>
            <name>specific_heat_capacity</name>
            <type>Constant</type>
            <value>0</value>
          </property>
        </properties>
      </phase>
    </phases>
  </medium>

```

```

        </property>
    <property>
        <name>density</name>
        <type>Constant</type>
        <value>0</value>
    </property>
</properties>
</phase>
<phase>
    <type>Solid</type>
    <properties>
        <property>
            <name>specific_heat_capacity</name>
            <type>Constant</type>
            <value>3400</value>
        </property>
        <property>
            <name>density</name>
            <type>Constant</type>
            <value>1200</value>
        </property>
    </properties>
</phase>
<phase>
    <type>Gas</type>
    <properties>
        <property>
            <name>specific_heat_capacity</name>
            <type>Constant</type>
            <value>718</value>
        </property>
        <property>
            <name>density</name>
            <type>Constant</type>
            <value>1292</value>
        </property>
    </properties>
</phase>
</phases>
<properties>
    <property>
        <name>porosity</name>
        <type>Constant</type>
        <value>0.2</value>
    </property>
    <property>
        <name>thermal_conductivity</name>
        <type>Constant</type>
        <value>3.5</value>
    </property>
    <property>
        <name>thermal_longitudinal_dispersivity</name>
        <type>Constant</type>
        <value>0</value>
    </property>
    <property>
        <name>thermal_transversal_dispersivity</name>
        <type>Constant</type>
        <value>0</value>
    </property>
</properties>
</medium>
<medium id="2">
    <phases>
        <phase>
            <type>AqueousLiquid</type>
            <properties>
                <property>
                    <name>phase_velocity</name>
                    <type>Constant</type>
                    <value>0 0</value>
                </property>
                <property>
                    <name>specific_heat_capacity</name>
                    <type>Constant</type>
                    <value>4200</value>
                </property>
                <property>
                    <name>density</name>
                    <type>Constant</type>
                    <value>1000</value>
                </property>
            </properties>
        </phase>
        <phase>
            <type>Solid</type>
            <properties>
                <property>
                    <name>specific_heat_capacity</name>
                    <type>Constant</type>
                    <value>2500</value>
                </property>

```

```

<property>
    <name>density</name>
    <type>Constant</type>
    <value>2700</value>
</property>
</properties>
</phase>
<phase>
    <type>Gas</type>
    <properties>
        <property>
            <name>specific_heat_capacity</name>
            <type>Constant</type>
            <value>718</value>
        </property>
        <property>
            <name>density</name>
            <type>Constant</type>
            <value>1292</value>
        </property>
    </properties>
</phase>
</phases>
<properties>
    <property>
        <name>porosity</name>
        <type>Constant</type>
        <value>0.17</value>
    </property>
    <property>
        <name>thermal_conductivity</name>
        <type>Constant</type>
        <value>2.6</value>
    </property>
    <property>
        <name>thermal_longitudinal_dispersivity</name>
        <type>Constant</type>
        <value>0</value>
    </property>
    <property>
        <name>thermal_transversal_dispersivity</name>
        <type>Constant</type>
        <value>0</value>
    </property>
</properties>
</medium>
</media>
</time_loop>
<processes>
    <process ref="HeatTransportBHE">
        <nonlinear_solver>basic_picard</nonlinear_solver>
        <convergence_criterion>
            <type>DeltaX</type>
            <norm_type>NORM2</norm_type>
            <reltol>1e-10</reltol>
        </convergence_criterion>
        <time_discretization>
            <type>BackwardEuler</type>
        </time_discretization>
        <time_stepping>
            <type>FixedTimeStepping</type>
            <t_initial> 0.0 </t_initial>
            <!-- use the following for full simulation
            <t_end> 186420 </t_end>
            -->
            <t_end> 258600</t_end>
            <timesteps>
                <!-- use the following for full simulation
                <pair><repeat>3107</repeat><delta_t>60</delta_t></pair>
                -->
                <pair>
                    <repeat>431</repeat>
                    <delta_t>600</delta_t>
                </pair>
            </timesteps>
        </time_stepping>
    </process>
</processes>
<output>
    <type>VTK</type>
    <prefix>beierCXA</prefix>
    <timesteps>
        <pair>
            <repeat> 1</repeat>
            <each_steps> 1 </each_steps>
        </pair>
    </timesteps>
    <variables>
        <variable>temperature_soil</variable>
        <variable>temperature_BHE0</variable>
    </variables>
</output>

```

```

</time_loop>
<parameters>
  <parameter>
    <name>T0</name>
    <type>Constant</type>
    <value>22.91</value>
  </parameter>
  <parameter>
    <name>T0_BHE0</name>
    <type>Constant</type>
    <values>23.78 22.04 22.91</values>
  </parameter>
</parameters>
<process_variables>
  <process_variable>
    <name>temperature_soil</name>
    <components>1</components>
    <order>1</order>
    <initial_condition>T0</initial_condition>
    <boundary_conditions>
      </boundary_conditions>
  </process_variable>
  <process_variable>
    <name>temperature_BHE0</name>
    <components>3</components>
    <order>1</order>
    <initial_condition>T0_BHE0</initial_condition>
  </process_variable>
</process_variables>
<nonlinear_solvers>
  <nonlinear_solver>
    <name>basic_picard</name>
    <type>picard</type>
    <max_iter>100</max_iter>
    <linear_solver>general_linear_solver</linear_solver>
  </nonlinear_solver>
</nonlinear_solvers>
<linear_solvers>
  <linear_solver>
    <name>general_linear_solver</name>
    <lis>-i cg -p jacobi -tol 1e-16 -maxiter 10000</lis>
    <eigen>
      <solver_type>BiCGSTAB</solver_type>
      <precon_type>ILUT</precon_type>
      <max_iteration_step>1000</max_iteration_step>
      <error_tolerance>1e-16</error_tolerance>
    </eigen>
    <petsc>
      <prefix>gw</prefix>
      <parameters>-gw_ksp_type cg -gw_pc_type bjacobi -gw_ksp_rtol 1e-16 -gw_ksp_max_it 10000</parameters>
    </petsc>
  </linear_solver>
</linear_solvers>
<curves>
  <curve>
    <name>inflow_temperature</name>
    <coords>600
1200
1800
2400
3000
3600
4200
4800
5400
6000
6600
7200
7800
8400
9000
9600
10200
10800
11400
12000
12600
13200
13800
14400
15000
15600
16200
16800
17400
18000
18600
19200
19800
20400
21000
21600

```

22200
22800
23400
24000
24600
25200
25800
26400
27000
27600
28200
28800
29400
30000
30600
31200
31800
32400
33000
33600
34200
34800
35400
36000
36600
37200
37800
38400
39000
39600
40200
40800
41400
42000
42600
43200
43800
44400
45000
45600
46200
46800
47400
48000
48600
49200
49800
50400
51000
51600
52200
52800
53400
54000
54600
55200
55800
56400
57000
57600
58200
58800
59400
60000
60600
61200
61800
62400
63000
63600
64200
64800
65400
66000
66600
67200
67800
68400
69000
69600
70200
70800
71400
72000
72600
73200
73800
74400
75000
75600
76200
76800

77400
78000
78600
79200
79800
80400
81000
81600
82200
82800
83400
84000
84600
85200
85800
86400
87000
87600
88200
88800
89400
90000
90600
91200
91800
92400
93000
93600
94200
94800
95400
96000
96600
97200
97800
98400
99000
99600
100200
100800
101400
102000
102600
103200
103800
104400
105000
105600
106200
106800
107400
108000
108600
109200
109800
110400
111000
111600
112200
112800
113400
114000
114600
115200
115800
116400
117000
117600
118200
118800
119400
120000
120600
121200
121800
122400
123000
123600
124200
124800
125400
126000
126600
127200
127800
128400
129000
129600
130200
130800
131400
132000

132600
133200
133800
134400
135000
135600
136200
136800
137400
138000
138600
139200
139800
140400
141000
141600
142200
142800
143400
144000
144600
145200
145800
146400
147000
147600
148200
148800
149400
150000
150600
151200
151800
152400
153000
153600
154200
154800
155400
156000
156600
157200
157800
158400
159000
159600
160200
160800
161400
162000
162600
163200
163800
164400
165000
165600
166200
166800
167400
168000
168600
169200
169800
170400
171000
171600
172200
172800
173400
174000
174600
175200
175800
176400
177000
177600
178200
178800
179400
180000
180600
181200
181800
182400
183000
183600
184200
184800
185400
186000
186600
187200

187800
188400
189000
189600
190200
190800
191400
192000
192600
193200
193800
194400
195000
195600
196200
196800
197400
198000
198600
199200
199800
200400
201000
201600
202200
202800
203400
204000
204600
205200
205800
206400
207000
207600
208200
208800
209400
210000
210600
211200
211800
212400
213000
213600
214200
214800
215400
216000
216600
217200
217800
218400
219000
219600
220200
220800
221400
222000
222600
223200
223800
224400
225000
225600
226200
226800
227400
228000
228600
229200
229800
230400
231000
231600
232200
232800
233400
234000
234600
235200
235800
236400
237000
237600
238200
238800
239400
240000
240600
241200
241800
242400

243000
243600
244200
244800
245400
246000
246600
247200
247800
248400
249000
249600
250200
250800
251400
252000
252600
253200
253800
254400
255000
255600
256200
256800
257400
258600</coords>
<values>22.62
23.78
24.57
25.22
25.77
26.21
26.57
26.91
27.23
27.52
27.78
28.04
28.29
28.47
28.65
28.82
29.01
29.2
29.16
29.45
29.5
29.68
29.79
29.91
30.02
30.16
30.28
30.39
30.45
30.55
30.66
30.76
30.84
30.92
30.97
31.07
31.13
31.17
31.23
31.3
31.35
31.29
31.15
31.32
31.47
31.54
31.62
31.69
31.76
31.79
31.84
31.9
31.93
31.97
31.97
31.99
32.05
32.08
32.06
32.1
32.15
32.18
32.02
32.13
32.11
32.24

32.12
32.28
32.29
32.34
32.38
32.33
32.26
32.46
32.51
32.5
32.52
32.57
32.61
32.6
32.68
32.76
32.8
32.86
32.9
32.94
32.99
33.01
33.04
33.03
33.06
33.1
33.13
33.15
33.18
33.01
33.14
33.17
33.21
33.26
33.27
33.31
33.3
33.35
33.38
33.29
33.35
33.38
33.41
33.44
33.45
33.48
33.49
33.51
33.52
33.55
33.55
33.58
33.61
33.63
33.64
33.64
33.64
33.64
33.67
33.71
33.72
33.75
33.7
33.75
33.74
33.75
33.75
33.78
33.8
33.83
33.87
33.89
33.9
33.91
33.92
33.93
33.94
33.97
34.01
34.01
34.03
34.04
34.05
34.09
34.1
33.85
34.02
34.07
34.1
34.15
34.17
34.21

34.22
34.24
34.27
34.29
34.32
34.31
34.32
34.32
34.31
34.34
34.33
34.33
34.35
34.36
34.37
34.38
34.39
34.39
34.4
34.41
34.41
34.41
34.41
34.41
34.39
34.39
34.43
34.42
34.42
34.44
34.43
34.43
34.44
34.46
34.48
34.48
34.52
34.54
34.56
34.58
34.61
34.62
34.62
34.6
34.64
34.64
34.65
34.67
34.71
34.71
34.76
34.77
34.77
34.79
34.79
34.78
34.76
34.79
34.81
34.79
34.82
34.83
34.84
34.85
34.86
34.87
34.9
34.91
34.94
34.97
34.98
34.99
34.98
34.98
35
35.01
35.01
35.05
35.08
35.06
35.07
35.05
35.09
35.09
35.11
35.12
35.15
35.13
35.16
35.17
35.19

35.2
35.21
35.21
35.21
35.22
35.24
35.25
35.25
35.25
35.28
35.31
35.3
35.33
35.33
35.35
35.31
35.31
35.3
35.29
35.28
35.27
35.28
35.31
35.35
35.38
35.38
35.41
35.39
35.39
35.38
35.4
35.42
35.41
35.43
35.43
35.4
35.4
35.4
35.39
35.43
35.42
35.42
35.47
35.51
35.53
35.56
35.58
35.59
35.61
35.61
35.65
35.65
35.6
35.58
35.59
35.62
35.64
35.63
35.66
35.66
35.7
35.7
35.73
35.71
35.76
35.76
35.78
35.8
35.78
35.8
35.79
35.77
35.77
35.76
35.74
35.74
35.71
35.72
35.7
35.71
35.7
35.74
35.75
35.78
35.79
35.8
35.8
35.82
35.83
35.83
35.83

```
35.83
35.84
35.85
35.88
35.9
35.87
35.88
35.9
35.9
35.92
35.91
35.92
35.88
35.86
35.85
35.86
35.85
35.85
35.86
35.87
35.86
35.87
35.88
37.09213187
37.11013573
37.1281396
37.14614346
37.16414733
37.18215119
37.20015506
37.21815892
37.23616278
37.25416665
37.27217051
37.29017438
37.30817824
37.32618211
37.34418597
37.36218984
37.3801937
37.39819757
37.41620143
37.43420529
37.45220916
37.47021302
37.48821689
37.50622075
37.52422462
37.54222848
37.56023235
37.57823621
37.59624008
37.61424394
37.6322478
37.65025167
37.66825553
37.6862594
37.70426326
37.72226713
37.74027099
37.75827486
37.77627872
37.79428259
37.81228645
37.83029031
37.84829418
37.86629804
37.88430191
37.90230577
37.92030964
37.9383135
37.95631737
37.97432123
37.9923251
38.01032896
38.02833282
38.04633669
38.06434055
38.08234442
38.10034828
38.11835215
38.13635601
38.15435988
38.17236374
38.1903676
38.20837147
38.22637533
38.2443792</values>
</curve>
</curves>
</OpenGeoSysProject>
```

Παράρτημα '

Προσομοίωση δοκιμής θερμικής απόκρισης γεωεναλλάκτη ελικοειδούς τύπου

- Κύριο εκτελέσιμο αρχείο OpenGeoSys

```
<?xml version="1.0" encoding="ISO-8859-1"?>
<OpenGeoSysProject>
  <mesh>TRT3.vtu</mesh>
  <geometry>TRT3.gml</geometry>
  <processes>
    <process>
      <name>HeatTransportBHE</name>
      <type>HEAT_TRANSPORT_BHE</type>
      <integration_order>2</integration_order>
      <process_variables>
        <process_variable>temperature_soil</process_variable>
        <process_variable>temperature_BHE0</process_variable>
      </process_variables>
      <borehole_heat_exchangers>
        <borehole_heat_exchanger>
          <type>1U</type>
          <flow_and_temperature_control>
            <type>TemperatureCurveConstantFlow</type>
            <flow_rate>2.797e-4</flow_rate>
            <temperature_curve>inflow_temperature</temperature_curve>
          </flow_and_temperature_control>
        <borehole>
          <length>15</length>
          <diameter>0.40005</diameter>
        </borehole>
        <grout>
          <density>1655.0</density>
          <porosity>0.0</porosity>
          <heat_capacity>920.0</heat_capacity>
          <thermal_conductivity>0.41</thermal_conductivity>
        </grout>
        <pipes>
          <inlet>
            <diameter> 0.025</diameter>
            <wall_thickness>0.0037</wall_thickness>
            <wall_thermal_conductivity>0.42</wall_thermal_conductivity>
          </inlet>
          <outlet>
            <diameter>0.025</diameter>
            <wall_thickness>0.0037</wall_thickness>
            <wall_thermal_conductivity>0.42</wall_thermal_conductivity>
          </outlet>
          <distance_between_pipes>0.29247</distance_between_pipes>
          <longitudinal_dispersion_length>0.001</longitudinal_dispersion_length>
        </pipes>
        <refrigerant>
          <density>1000</density>
          <viscosity>0.001</viscosity>
          <specific_heat_capacity>4138.0</specific_heat_capacity>
          <thermal_conductivity>0.606</thermal_conductivity>
          <reference_temperature>20</reference_temperature>
        </refrigerant>
      </borehole_heat_exchanger>
    </borehole_heat_exchangers>
  </process>
</processes>
</OpenGeoSysProject>
```

```

</processes>
<media>
  <medium id="0">
    <phases>
      <phase>
        <type>AqueousLiquid</type>
        <properties>
          <property>
            <name>phase_velocity</name>
            <type>Constant</type>
            <value>0 0 0</value>
          </property>
          <property>
            <name>specific_heat_capacity</name>
            <type>Constant</type>
            <value>0</value>
          </property>
          <property>
            <name>density</name>
            <type>Constant</type>
            <value>0</value>
          </property>
        </properties>
      </phase>
      <phase>
        <type>Solid</type>
        <properties>
          <property>
            <name>specific_heat_capacity</name>
            <type>Constant</type>
            <value>1600</value>
          </property>
          <property>
            <name>density</name>
            <type>Constant</type>
            <value>2100</value>
          </property>
        </properties>
      </phase>
      <phase>
        <type>Gas</type>
        <properties>
          <property>
            <name>specific_heat_capacity</name>
            <type>Constant</type>
            <value>718</value>
          </property>
          <property>
            <name>density</name>
            <type>Constant</type>
            <value>1292</value>
          </property>
        </properties>
      </phase>
    </phases>
    <properties>
      <property>
        <name>porosity</name>
        <type>Constant</type>
        <value>0.4</value>
      </property>
      <property>
        <name>thermal_conductivity</name>
        <type>Constant</type>
        <value>1</value>
      </property>
      <property>
        <name>thermal_longitudinal_dispersivity</name>
        <type>Constant</type>
        <value>0</value>
      </property>
      <property>
        <name>thermal_transversal_dispersivity</name>
        <type>Constant</type>
        <value>0</value>
      </property>
    </properties>
  </medium>
  <medium id="1">
    <phases>
      <phase>
        <type>AqueousLiquid</type>
        <properties>
          <property>
            <name>phase_velocity</name>
            <type>Constant</type>
            <value>0 0 0</value>
          </property>
          <property>
            <name>specific_heat_capacity</name>
            <type>Constant</type>
            <value>0</value>
          </property>
        </properties>
      </phase>
    </phases>
  </medium>

```

```

        </property>
    <property>
        <name>density</name>
        <type>Constant</type>
        <value>0</value>
    </property>
</properties>
</phase>
<phase>
    <type>Solid</type>
    <properties>
        <property>
            <name>specific_heat_capacity</name>
            <type>Constant</type>
            <value>3400</value>
        </property>
        <property>
            <name>density</name>
            <type>Constant</type>
            <value>1200</value>
        </property>
    </properties>
</phase>
<phase>
    <type>Gas</type>
    <properties>
        <property>
            <name>specific_heat_capacity</name>
            <type>Constant</type>
            <value>718</value>
        </property>
        <property>
            <name>density</name>
            <type>Constant</type>
            <value>1292</value>
        </property>
    </properties>
</phase>
</phases>
<properties>
    <property>
        <name>porosity</name>
        <type>Constant</type>
        <value>0.2</value>
    </property>
    <property>
        <name>thermal_conductivity</name>
        <type>Constant</type>
        <value>3.5</value>
    </property>
    <property>
        <name>thermal_longitudinal_dispersivity</name>
        <type>Constant</type>
        <value>0</value>
    </property>
    <property>
        <name>thermal_transversal_dispersivity</name>
        <type>Constant</type>
        <value>0</value>
    </property>
</properties>
</medium>
</media>
<time_loop>
    <processes>
        <process ref="HeatTransportBHE">
            <nonlinear_solver>basic_picard</nonlinear_solver>
            <convergence_criterion>
                <type>DeltaX</type>
                <norm_type>NORM2</norm_type>
                <reltol>1e-10</reltol>
            </convergence_criterion>
            <time_discretization>
                <type>BackwardEuler</type>
            </time_discretization>
            <time_stepping>
                <type>FixedtimeStepping</type>
                <t_initial> 0.0 </t_initial>
                <!-- use the following for full simulation
                <t_end> 186420 </t_end>
                -->
                <t_end> 608400</t_end>
            <timesteps>
                <!-- use the following for full simulation
                <repeat><repeat>3107</repeat><delta_t>60</delta_t></pair>
                -->
                <pair>
                    <repeat>169</repeat>
                    <delta_t>3600</delta_t>
                </pair>
            </timesteps>
        </time_stepping>
    </processes>
</time_loop>

```

```

        </process>
    </processes>
<output>
    <type>VTK</type>
    <prefix>beier_sandHeliCoidal</prefix>
    <timesteps>
        <pair>
            <repeat> 1</repeat>
            <each_steps> 1</each_steps>
        </pair>
    </timesteps>
    <variables>
        <variable>temperature_soil</variable>
        <variable>temperature_BHE0</variable>
    </variables>
</output>
</time_loop>
<parameters>
    <parameter>
        <name>T0</name>
        <type>Constant</type>
        <value>22.18</value>
    </parameter>
    <parameter>
        <name>T0_BHE0</name>
        <type>Constant</type>
        <values>22.18 22.18 22.18 22.18 </values>
    </parameter>
</parameters>
<process_variables>
    <process_variable>
        <name>temperature_soil</name>
        <components>1</components>
        <order>1</order>
        <initial_condition>T0</initial_condition>
        <boundary_conditions>
        </boundary_conditions>
    </process_variable>
    <process_variable>
        <name>temperature_BHE0</name>
        <components>4</components>
        <order>1</order>
        <initial_condition>T0_BHE0</initial_condition>
    </process_variable>
</process_variables>
<nonlinear_solvers>
    <nonlinear_solver>
        <name>basic_picard</name>
        <type>picard</type>
        <max_iter>100</max_iter>
        <linear_solver>general_linear_solver</linear_solver>
    </nonlinear_solver>
</nonlinear_solvers>
<linear_solvers>
    <linear_solver>
        <name>general_linear_solver</name>
        <lis>-i cg -p jacobi -tol 1e-16 -maxiter 10000</lis>
        <eigen>
            <solver_type>BiCGSTAB</solver_type>
            <precon_type>ILUT</precon_type>
            <max_iteration_step>1000</max_iteration_step>
            <error_tolerance>1e-16</error_tolerance>
        </eigen>
        <petsc>
            <prefix>gw</prefix>
            <parameters>-gw_ksp_type cg -gw_pc_type bjacobi -gw_ksp_rtol 1e-16 -gw_ksp_max_it 10000</parameters>
        </petsc>
    </linear_solver>
</linear_solvers>
<curves>
    <curve>
        <name>inflow_temperature</name>
        <coords>3600
7200
10800
14400
18000
21600
25200
28800
32400
36000
39600
43200
46800
50400
54000
57600
61200
64800
68400
72000

```

75600
79200
82800
86400
90000
93600
97200
100800
104400
108000
111600
115200
118800
122400
126000
129600
133200
136800
140400
144000
147600
151200
154800
158400
162000
165600
169200
172800
176400
180000
183600
187200
190800
194400
198000
201600
205200
208800
212400
216000
219600
223200
226800
230400
234000
237600
241200
244800
248400
252000
255600
259200
262800
266400
270000
273600
277200
280800
284400
288000
291600
295200
298800
302400
306000
309600
313200
316800
320400
324000
327600
331200
334800
338400
342000
345600
349200
352800
356400
360000
363600
367200
370800
374400
378000
381600
385200
388800
392400
396000
399600
403200

```
406800
410400
414000
417600
421200
424800
428400
432000
435600
439200
442800
446400
450000
453600
457200
460800
464400
468000
471600
475200
478800
482400
486000
489600
493200
496800
500400
504000
507600
511200
514800
518400
522000
525600
529200
532800
536400
540000
543600
547200
550800
554400
558000
561600
565200
568800
572400
576000
579600
583200
586800
590400
594000
597600
601200
604800
608400</coords>
<values>25.49
36.8
40.44
41.85
42.97
43.83
44.55
45.09
45.3
46.04
46.36
46.6
46.85
47.14
47.68
48.11
48.19
48.11
48.01
48.33
49.13
48.67
48.54
49.23
50.08
50.01
49.16
48.75
48.78
49.29
49.4
49.18
49.08
49.05
49.27
```

49.3
49.19
49.45
49.63
49.65
49.67
49.76
49.75
49.75
49.62
50.97
51.64
52.08
52.22
52.27
52.27
52.39
52.79
53.04
53.07
53.25
53.39
53.26
53.39
53.5
53.55
53.3
53.47
53.67
53.87
53.77
53.65
53.52
53.62
53.67
53.51
53.69
53.59
53.69
53.98
54.07
54.03
54.17
54.33
54.44
54.48
54.4
54.59
54.68
54.63
54.69
54.9
54.82
54.9
54.93
54.91
54.87
54.59
54.65
54.82
54.68
54.74
54.69
54.55
54.17
54.52
54.89
55.01
55.07
55.08
54.94
55.15
55.19
55.26
55.37
55.42
55.32
55.43
55.1
55.08
55.28
55.18
54.85
54.63
54.48
54.38
54.61
55.12
55.37
55.45
55.5
55.45

```
55.39
55.52
55.71
55.65
55.78
55.73
55.79
55.89
55.92
55.89
55.98
56.14
56.19
56.22
56
55.87
55.89
56
55.93
56.13
56.34
56.33
56.49
56.34
56.17
56.26
56.25
56.21
56.4
56.38
56.46
56.59
56.59
56.55
56.57
56.47
56.33
56.36
56.13
56.24
56.34
56.27</values>
      </curve>
    </curves>
</OpenGeoSysProject>
```